

MÉTODOS DE REGIÃO DE CONFIANÇA EM CONJUNTOS

ARBITRÁRIOS E MINIMIZAÇÃO EM BOLAS

Este exemplar corresponde a redação final da tese devi- damente corrigida e defendida pela Sra. Sandra Augusta Santos e aprovada pela Comissão Julgadora.

Campinas, 28 de agosto de 1991

  
Prof. Dr. José Mario Martinez

Dissertação apresentada ao Instituto de Matemática, Estatística e Ciência da Computação, UNICAMP, como requisito parcial para obtenção do Título de Mestre em Matemática Aplicada.

Sa59m

14757/BC

MÉTODOS DE REGIÃO DE CONFIANÇA  
EM CONJUNTOS ARBITRÁRIOS  
E MINIMIZAÇÃO EM BOLAS

SANDRA AUGUSTA SANTOS

ORIENTADOR: PROF. DR. JOSÉ MARIO MARTÍNEZ  
DMA - IMECC - UNICAMP

CAMPINAS, AGOSTO DE 1991.

Alayde,  
Elmer e  
Lúcio :  
é pra vocês !

**AGRADECIMENTOS**

Ao prof. Martinez,  
pela excelente orientação.

Aos professores do IMECC,  
pelo apoio e incentivo.

A FAPESP,  
pelo custeio de meus estudos.

## RESUMO

Neste trabalho, definimos dois algoritmos gerais de região de confiança para o problema de minimização restrita a um conjunto fechado arbitrário. Provamos convergência a pontos que satisfazem condições necessárias de primeira ordem e quando usamos a Hessiana da função objetivo no modelo, provamos que condições de segunda ordem são satisfeitas. Considerando-se a implementabilidade destes algoritmos, analisamos o caso em que a restrição é uma bola euclidiana. Desenvolvemos uma implementação computacional e fizemos um conjunto de experimentos numéricos.

ÍNDICE

CAPÍTULO 1.	INTRODUÇÃO .....	1
CAPÍTULO 2.	MÉTODOS DE REGIÃO DE CONFIANÇA PARA MINIMIZAÇÃO EM CONJUNTOS ARBITRÁRIOS .....	6
2.1	O PROBLEMA .....	6
2.2	OS ALGORITMOS I E II .....	8
2.3	DEFINIÇÕES, HIPÓTESES E LEMAS BÁSICOS .....	10
2.4	RESULTADOS DE CONVERGÊNCIA .....	12
CAPÍTULO 3.	MÉTODOS DE REGIÃO DE CONFIANÇA PARA MINIMIZAÇÃO EM BOLAS EUCLIDIANAS .....	38
3.1	O SUBPROBLEMA .....	38
3.2	O ALGORITMO III .....	40
3.3	ANALISE DO ALGORITMO III .....	41
3.3.1	MINIMIZADORES GLOBAIS DE QUADRÁTICAS EM ESFERAS	41
3.3.2	MINIMIZADORES LOCAIS DE QUADRÁTICAS EM ESFERAS	46
3.3.2.1	O ALGORITMO IV .....	47
3.3.3	MINIMIZADORES DE QUADRÁTICAS EM ESFERAS CN-2D DIMENSIONAIS .....	50
3.4	O "HARD-CASE" .....	55
3.4.1	O "HARD-CASE" NA ESFERA DE CONFIANÇA .....	57
3.4.2	O "HARD-CASE" NA ESFERA DO PROBLEMA .....	59
3.4.3	O "HARD-CASE" NA CN-2D ESFERA .....	61

CAPÍTULO 4.	EXPERIMENTOS NUMÉRICOS .....	63
4.1	CARACTERÍSTICAS DO PROGRAMA .....	63
4.2	ANÁLISE DO DESEMPENHO COMPUTACIONAL .....	66
4.2.1	TESTES REALIZADOS .....	65
4.2.2	RESULTADOS NUMÉRICOS .....	73
4.3	CONCLUSÕES E TRABALHOS FUTUROS .....	75
APÊNDICE .....		82
REFERÊNCIAS .....		142

## CAPÍTULO 1

### INTRODUÇÃO

Problemas das mais diversas áreas podem ser resolvidos via otimização não-linear. Para problemas de minimização restrita com função objetivo de várias variáveis, são necessárias técnicas apropriadas para se lidar com as restrições. Em última análise, no entanto, as técnicas escolhidas baseiam-se em soluções eficientes para o problema de minimização irrestrita. Uma opção clássica, com convergência local  $q$ -quadrática, é o método de Newton, cuja obtenção é natural quando se considera a aproximação quadrática para a função objetivo. Uma opção alternativa é utilizar variantes do método de Newton, obtidas por aproximações, em algum sentido, para a matriz Hessiana (ex: métodos quase Newton). Para pontos que não estejam suficientemente próximos da solução e nos quais a Hessiana (ou uma aproximação) não é positiva definida, ou quando existem infinitos minimizadores, o método não está bem definido. Surge assim a necessidade de modificar o método escolhido, tornando-o globalmente convergente. A estratégia que analisamos neste trabalho baseia-se em regiões de confiança. Uma outra opção globalizadora é utilizar buscas lineares, modificando-se a Hessiana quando esta não é "suficientemente positiva definida". Tal modificação para o modelo quadrático, apesar de assegurar a convergência, parece ignorar o papel que este modelo tem de ser uma aproximação local para a função

objetivo. Na estratégia de regiões de confiança, ao invés de se modificar o modelo quadrático, a idéia básica consiste em aceitar a direção que minimiza este modelo somente quando ele reflete adequadamente o comportamento da função objetivo original. Desta forma, o passo fica restrito pela região em que a série de Taylor para a função é confiável (região de confiança).

A formulação matemática mais comum desta idéia define  $x_{k+1} = x_k + s_k$ , onde  $s_k$  é a solução do subproblema :

$$\boxed{\begin{aligned} & \text{minimizar } \epsilon_k^t s + \frac{1}{2} s^t B_k s \\ & \text{s/a } \|s\|_2 \leq \Delta_k \\ & \quad s \in \mathbb{R}^n \end{aligned}} \quad (1.1)$$

para certo  $\Delta_k > 0$ . Se  $f$  é a função objetivo,  $\epsilon_k = \nabla f(x_k)$  e  $B_k$  é uma matriz simétrica (p.ex.,  $B_k = \nabla^2 f(x_k)$  ou  $B_k \approx \nabla^2 f(x_k)$ ).

Pode-se mostrar que, se  $\lambda$  é um escalar tal que a matriz  $B_k + \lambda I$  é semi positiva definida, a solução das equações

$$\boxed{(B_k + \lambda I) s = -\epsilon_k} \quad (1.2)$$

também é solução para o subproblema (1.1) se  $\lambda = 0$  e  $\|s\|_2 \leq \Delta_k$  ou  $\lambda \geq 0$  e  $\|s\|_2 = \Delta_k$ . Assim, se  $\Delta_k$  é suficientemente grande ( $\epsilon_k^t \epsilon_k > 0$ ), a solução de (1.1) é simplesmente a direção de Newton (i.e., a solução de (1.2) com  $\lambda = 0$ ). Caso contrário, a restrição sobre a norma torna-se ativa e  $\|s\|_2 = \Delta_k$ .

A direção  $s_k$  é encontrada resolvendo-se (1.1) com valores tentativos para  $\Delta_k$  e avaliando-se a função objetivo nos pontos resultantes. Conforme apresenta [4], p. 114, para  $\Delta_k$  suficientemente

pequeno, existe um vetor  $s$  tal que  $f(x_k + s)$  é suficientemente menor que  $f(x_k)$ .

Em outras palavras, a idéia de uma iteração em um algoritmo de região de confiança para minimização irrestrita é:

Dado um ponto  $x_k$  e uma aproximação quadrática para a função objetivo em torno deste ponto:

1) Define-se uma bola centrada em  $x_k$  na qual acredita-se que a aproximação represente bem a função (região de confiança).

2) Estabelece-se um passo  $s_k$  de tal forma que haja decréscimo suficiente da aproximação na região de confiança.

3) Avalia-se a função objetivo em  $x_k + s_k$ . Se houve um decréscimo suficiente para o valor obtido, adota-se  $x_{k+1} = x_k + s_k$  e aumenta-se o raio da região de confiança. Caso contrário,  $x_k + s_k$  é rejeitado e o raio da região de confiança é diminuído.

Referências para o estudo dos métodos de região de confiança para problemas de minimização sem restrições, com ênfase na teoria de convergência, são: [ 1, 2, 4, 13, 14, 21, 22, 24 ].

Fazendo um breve histórico, os métodos de região de confiança têm como origem os trabalhos de Levenberg (1944) [ 8 ] e Marquardt (1963) [ 10 ] para problemas de quadrados mínimos não lineares. A primeira abordagem do método para o problema geral de minimização foi feita por Goldfeld, Quandt e Trotter em 1963 [ 5 ]. Powell (1970 e 1975) [ 18, 19 ] e Thomas (1975) [ 23 ] aplicaram a estratégia de convergência global com regiões de confiança a situações mais gerais

de iterações quase Newton. Reinsch (1971) [ 20 ] e Hebden (1973) [ 7 ] contribuíram com observações computacionais importantes para a implementação do método. Em 1978, Moré [ 12 ] voltou a trabalhar com o problema de quadrados mínimos não lineares. Fletcher (1980) [ 2 ] e Sorensen (1982) [ 22 ] provaram propriedades de convergência global para algoritmos de região de confiança usando informações de segunda ordem. Gay (1981) [ 3 ] acrescentou caracterizações teóricas e observações computacionais para o problema de minimização irrestrita quando a Hessiana é indefinida. Shultz, Schnabel e Byrd (1985) [ 21 ] apresentaram uma generalização para o trabalho de Sorensen [ 22 ]. Em 1988, Toint [ 24 ] provou propriedades de convergência global para uma classe de métodos de região de confiança para minimização não convexa em espaços de Hilbert.

No capítulo 2 deste trabalho, definimos dois algoritmos gerais de região de confiança para o problema de minimização restrita a um conjunto fechado "arbitrário". Provamos convergência a pontos que satisfazem condições necessárias de primeira ordem e quando usamos a Hessiana da função objetivo no modelo, provamos que condições de segunda ordem são satisfeitas . Tendo em vista a implementabilidade destes algoritmos, no capítulo 3 analisamos o caso em que a restrição do problema é uma bola euclidiana (ou, de maneira mais geral, um elipsóide sólido, que com uma mudança de variáveis adequada se reduz a uma bola euclidiana). Tal problema pode ser encarado como uma alternativa para a resolução de problemas irrestritos mal

condicionados (princípio de regularização). Independentemente deste argumento, a freqüência do domínio elipsoidal na natureza bastaria para justificar a relevância deste problema. No capítulo 4 desenvolvemos um conjunto de experimentos numéricos para comprovar a robustez dos algoritmos propostos. No apêndice, apresentamos a documentação do programa e das rotinas implementadas.

## CAPÍTULO 2

### MÉTODOS DE REGIÃO DE CONFIANÇA PARA MINIMIZAÇÃO EM CONJUNTOS ARBITRÁRIOS

Neste capítulo, definimos dois algoritmos gerais de região de confiança para o problema de minimização com restrições. Provamos convergência a pontos que satisfazem condições necessárias de primeira ordem e quando usamos a Hessiana da função objetivo no modelo, provamos que condições de segunda ordem são satisfeitas.

#### 2.1 O PROBLEMA

Consideremos o problema:

$$\text{minimizar } f(x)$$

$$\text{s/a } x \in B$$

(2.1)

onde  $f \in C^2(A)$ ,  $A$  é um conjunto aberto contendo  $B$  e  $B$  é fechado.

Para resolver (2.1) via métodos de região de confiança, definimos dois algoritmos, que em cada iteração resolvem problemas do tipo:

$$\text{minimizar } \Psi_k(w) = w^t g_k + \frac{1}{2} w^t B_k w$$

$$\text{s/a } x_k + w \in B$$

$$\|w\| \leq \Delta_k$$

(2.2)

onde  $s_k = \nabla f(x_k)$ ,  $x_k$  é a aproximação atual da solução e  $B_k$  é uma matriz simétrica.

Cabe observar que, como  $\Psi_k$  é contínua e o conjunto  $\{ w \in \mathbb{R}^n \mid x_k + w \in B \text{ e } \|w\| \leq \Delta_k \}$  é compacto, a solução do problema (2.2) está bem definida.

Os dois algoritmos gerais apresentados a seguir são baseados no subproblema (2.2). O primeiro é a generalização direta de uma formulação clássica de algoritmos de região de confiança sem restrições [ 14 ]. O segundo é uma pequena variação do anterior para a qual é possível obter um teorema de convergência mais forte.

## 2.2 OS ALGORITMOS

### ALGORITMO I

0)  $k = 0 \quad \Delta_0 < \infty$

1) dados  $x_k$  e  $\Delta_k$ , calcular  $\epsilon_k = \nabla f(x_k)$  e escolher  $B_k$

2) resolver

$$\boxed{\begin{aligned} \text{minimizar } \Psi_k(w) &= w^t \epsilon_k + \frac{1}{2} w^t B_k w \\ \text{s/a } x_k + w &\in \mathbb{B} \\ \|w\| &\leq \Delta_k \end{aligned}} \quad (2.2)$$

obtendo  $s_k$ . Se  $s_k = 0$ , parar.

3) se  $f(x_k + s_k) < f(x_k) + 10^{-4} \Psi_k(s_k)$

então definir  $x_{k+1} = x_k + s_k$

se  $f(x_{k+1}) < f(x_k) + 0.75 \Psi_k(s_k)$

escolher  $\Delta_{k+1} \geq \Delta_k$

se  $f(x_{k+1}) \geq f(x_k) + 0.75 \Psi_k(s_k)$

escolher  $\Delta_{k+1} \geq 0.1 \|s_k\|$

$k = k+1$ , ir para (1)

se  $f(x_k + s_k) \geq f(x_k) + 10^{-4} \Psi_k(s_k)$

escolher  $\Delta_k \in [0.1 \|s_k\|, 0.9 \|s_k\|]$  e ir para (2)

Este algoritmo é uma generalização do algoritmo tradicional de região de confiança tal como descrito por Moré [ 14 ], no caso  $\mathbb{B} = \mathbb{R}^n$ .

## ALGORITMO II

Seja  $0 < \Delta_{\min} < \infty$

0)  $k = 0$        $\Delta_0 \geq \Delta_{\min}$

1) dados  $x_k$  e  $\Delta_k$ , calcular  $\epsilon_k = \nabla f(x_k)$  e escolher  $B_k$

2) resolver

$$\begin{aligned} \text{minimizar } \Psi_k(w) &= w^T \epsilon_k + \frac{1}{2} w^T B_k w \\ \text{s/a } x_k + w &\in \mathbb{B} \\ \|w\| &\leq \Delta_k \end{aligned}$$

(2.2)

obtendo  $s_k$ .      Se  $s_k = 0$ , parar.

3) se  $f(x_k + s_k) < f(x_k) + 10^{-4} \Psi_k(s_k)$

então      definir  $x_{k+1} = x_k + s_k$

se  $f(x_{k+1}) < f(x_k) + 0.75 \Psi_k(s_k)$

escolher  $\Delta_{k+1} \geq \max(\Delta_{\min}, \Delta_k)$

se  $f(x_{k+1}) \geq f(x_k) + 0.75 \Psi_k(s_k)$

escolher  $\Delta_{k+1} \geq \max(\Delta_{\min}, 0.1 \|s_k\|)$

$k = k+1$ , ir para (1)

se  $f(x_k + s_k) \geq f(x_k) + 10^{-4} \Psi_k(s_k)$

escolher  $\Delta_k \in [0.1 \|s_k\|, 0.9 \|s_k\|]$  e ir para (2)

O objetivo da modificação proposta no algoritmo II é que, ao começar cada iteração, a tentativa inicial seja suficientemente "arrojada", não se permitindo (inicialmente) tamanhos de região menores que  $\Delta_{\min}$ . Esta restrição, além de ser algorítmicamente razoável, tem influência nos resultados teóricos, como pode ser visto na seção 2.4 deste capítulo.

## 2.3 DEFINIÇÕES, HIPÓTESES E LEMAS BÁSICOS

### Definição 2.1

Dados um conjunto  $B$  e um ponto factível  $x^* \in B$ , dizemos que a função  $\alpha : [0,1] \rightarrow \mathbb{R}^n$ ,  $\alpha \in C^2[0,1]$ , é um arco factível partindo de  $x^*$  se  $\alpha(0) = x^*$  e  $\alpha(t) \in B$ ,  $\forall t \in [0,1]$ .

### Definição 2.2

Dados um conjunto  $B$  e um ponto factível  $x^* \in B$ , dizemos que  $x^*$  é fracamente regular se para todo arco factível  $\alpha$  partindo de  $x^*$  e para toda sequência  $\{x_k\}_{k \in \mathbb{N}} \subset B$  que converge a  $x^*$ , existir uma sequência de arcos factíveis partindo de  $x_k$   $\{\alpha_k\}_{k \in \mathbb{N}}$  tal que:

- (i)  $\alpha_k(0) = x_k$ ,  $\forall k \in \mathbb{N}$
- (ii)  $\alpha_k(t) \in B$ ,  $\forall t \in [0,1]$ ,  $\forall k \in \mathbb{N}$
- (iii)  $\lim_{k \in \mathbb{N}} \alpha_k(t) = \alpha(t)$ ,  $\forall t \in [0,1]$
- (iv)  $\lim_{k \in \mathbb{N}} \alpha'_k(0) = \alpha'(0)$
- (v)  $\lim_{k \in \mathbb{N}} \alpha''_k(0) = \alpha''(0)$ .

### Hipótese 2.3

Os pontos de  $B$  são fracamente regulares.

### Lema 2.4 - (CNI - Condição Necessária de Primeira Ordem)

Se  $x^*$  é solução de (2.1),

então para todo arco factível  $\alpha$  partindo de  $x^*$  tem-se

$$\left. \frac{df}{dt}(\alpha(t)) \right|_{t=0} = \nabla f^t(x^*) \frac{d\alpha}{dt}(0) \geq 0.$$

Prova: Ver [ 9 ], p.169. ■

Lema 2.5 - (CN2 - Condição Necessária de Segunda Ordem )

Se  $x^*$  é solução de (2.1), então para todo arco factível  $\alpha$  partindo de  $x^*$  tem-se a CN1 satisfeita e sempre que

$$\frac{df}{dt}(\alpha(t)) \Big|_{t=0} = 0 \text{ tem-se } \frac{d^2f}{dt^2}(\alpha(t)) \Big|_{t=0} \geq 0.$$

Prova: Ver [ 9 ], p.174. ■

Lema 2.6

Se  $s_k = 0$  é minimizador do subproblema (2.2)

então  $x_k$  satisfaz a CN1 para (2.1).

Prova:

Se  $s_k$  é minimizador de (2.2) então para todo arco factível  $\omega$  partindo de  $s_k$  tem-se  $\nabla \Psi_k^t(s_k) \frac{d\omega}{dt}(0) \geq 0$ . Mas  $\nabla \Psi_k(0) = g_k$  e sendo  $\omega$  arco factível para (2.2), temos  $\omega(0) = s_k = 0$  e existe  $\delta > 0$  tal que  $\omega(t) + x_k \in B$ ,  $\|\omega(t)\| \leq \Delta_k$ ,  $\forall t \in [0, \delta]$ .

Chamando  $\alpha(t) = \omega(t) + x_k$ , temos  $\omega(t) = \alpha(t) - x_k$ , logo  $\frac{d\omega}{dt}(t) = \frac{d\alpha}{dt}(t)$  e  $\omega(0) = \alpha(0) - x_k = 0$ . Então  $\alpha(0) = x_k$  e portanto, a todo  $\omega$  corresponde  $\alpha$ , arco factível para (2.1) partindo de  $x_k$ , pois  $\alpha(t) \in B$ ,  $\forall t \in [0, \delta]$  com o mesmo  $\delta$  dado acima. Além disso,  $\nabla \Psi_k^t(0) \frac{d\omega}{dt}(0) = \varepsilon_k^t \frac{d\alpha}{dt}(0) \geq 0$ .

Assim,  $x_k$  satisfaz a CN1 para (2.1). ■

Lema 2.7

Se  $s_k = 0$  é minimizador do subproblema (2.2),  $f \in C^2(A)$  e

$B_k \equiv \nabla^2 f(x_k)$ ,  $\forall k \in \mathbb{N}$ , então  $x_k$  satisfaz a CN2 para (2.1).

Prova:

Se  $s_k$  é minimizador de (2.2) então para todo arco factível  $\omega$  partindo de  $s_k$  tem-se  $\nabla \Psi_k^t(s_k) \frac{d\omega}{dt}(0) \geq 0$  e para  $\omega$  tal que  $\nabla \Psi_k^t(s_k) \frac{d\omega}{dt}(0) = 0$  tem-se  $\frac{d^2 \Psi_k^t}{dt^2}(s_k) \geq 0$ . Sendo  $\omega$  arco factível para (2.2), temos  $\omega(0) = s_k = 0$  e existe  $\delta > 0$  tal que  $\omega(t) + x_k \in B$ ,  $\|\omega(t)\| \leq \Delta_k$ ,  $\forall t \in [0, \delta]$ .

Chamando  $\alpha(t) = \omega(t) + x_k$ , temos  $\omega(t) = \alpha(t) - x_k$ , logo  $\frac{d\omega}{dt}(t) = \frac{d\alpha}{dt}(t)$  e como  $s_k = 0$ , temos  $\omega(0) = \alpha(0) - x_k = 0$  e então  $\alpha(0) = x_k$ . Além disso,  $\nabla \Psi_k^t(0) = \xi_k$  e  $\frac{d^2 \Psi_k^t}{dt^2}(0) = \nabla^2 f(x_k) = \frac{d^2 f}{dt^2}(\alpha(0))$ , seguindo que a todo  $\omega$  corresponde  $\alpha$ , arco factível para (2.1) partindo de  $x_k$ , pois  $\alpha(t) \in B$ ,  $\forall t \in [0, \delta]$ , com o mesmo  $\delta$  dado acima. Desta forma,  $\xi_k^t \frac{d\alpha}{dt}(0) \geq 0$  e para  $\alpha$  tal que  $\xi_k^t \frac{d\alpha}{dt}(0) = 0$  tem-se  $\frac{d^2 f}{dt^2}(\alpha(0)) \geq 0$ . Ou seja,  $x_k$  satisfaz a CN2 para (2.1) ■

## 2.4 RESULTADOS DE CONVERGÊNCIA

### Teorema 2.8 (BOA DEFINIÇÃO – algoritmo I – CN1)

Seja  $\{x_k\}_{k \in \mathbb{N}}$  a sequência gerada pelo algoritmo I.

Se  $x_k$  não satisfaz a CN1, então é possível obter  $x_{k+1}$ .

Em outras palavras, após um número finito de reduções no raio de confiança, ocorridas durante a  $k$ -ésima iteração, quando  $x_k$  não satisfaz a CN1, consegue-se definir um novo ponto  $x_{k+1}$ .

Prova:

Queremos ver que para  $\Delta_k^{(i)}$  suficientemente pequeno (onde  $\{\Delta_k^{(i)}\}_{i \in \mathbb{N}}$  é a sequência de raios gerada na  $k$ -ésima iteração), o

minimizador  $s_k^{(i)}$  do subproblema (2.2) é tal que

$$f(x_k + s_k^{(i)}) < f(x_k) + 10^{-4} \Psi_k(s_k^{(i)}), \text{ e portanto é possível obter o novo ponto } x_{k+1} = x_k + s_k^{(i)}.$$

Chamando  $\rho_k^{(i)} = \frac{f(x_k + s_k^{(i)}) - f(x_k)}{\Psi_k(s_k^{(i)})}$ , vamos mostrar que

$$\lim_{i \in \mathbb{N}} \rho_k^{(i)} = 1.$$

Como por hipótese  $x_k$  não satisfaz a CN1, então existe o arco factível para (2.1) tal que  $\nabla f^t(x_k) \frac{d\alpha}{dt}(0) < 0$ . Daqui em diante usamos a notação:  $\alpha' = \frac{d\alpha}{dt}$ . Logo,  $\epsilon_k^t \alpha'(0) < 0$  ( $\alpha'(0) \neq 0$ ). Como  $\alpha$  é arco factível,  $\alpha(0) = x_k$  e  $\alpha(t) \in B$ ,  $\forall t \in [0,1]$ .

Para  $\Delta_k^{(i)}$  suficientemente pequeno, seja  $t_i$  tal que  $\|\alpha(t_i) - x_k\| = \Delta_k^{(i)}$ .

Pela definição do subproblema,  $\Psi_k(s_k^{(i)}) \leq \Psi_k(\alpha(t_i) - x_k)$ , onde  $t_i > 0$  é tal que  $\|\alpha(t_i) - x_k\| = \Delta_k^{(i)}$ . Mas,

$$\Psi_k(\alpha(t_i) - x_k) = \frac{1}{2} (\alpha(t_i) - x_k)^t B_k (\alpha(t_i) - x_k) + \epsilon_k^t (\alpha(t_i) - x_k).$$

$$\text{Agora } (\alpha(t_i) - x_k)^t B_k (\alpha(t_i) - x_k) \leq$$

$$\leq |(\alpha(t_i) - x_k)^t B_k (\alpha(t_i) - x_k)| \leq \|\alpha(t_i) - x_k\|^2 \|B_k\|.$$

$$\text{Logo, } \Psi_k(s_k^{(i)}) \leq \Psi_k(\alpha(t_i) - x_k) \leq \epsilon_k^t (\alpha(t_i) - x_k) + \frac{1}{2} \|B_k\| \|\alpha(t_i) - x_k\|^2.$$

Dividindo por  $t_i$ , obtemos:

$$\frac{\Psi_k(s_k^{(i)})}{t_i} \leq \frac{\epsilon_k^t (\alpha(t_i) - x_k)}{t_i} + \frac{\|B_k\|}{2} \frac{(\alpha(t_i) - x_k)^t (\alpha(t_i) - x_k)}{t_i}.$$

Como  $\lim_{t_i \rightarrow 0} \frac{\epsilon_k^t (\alpha(t_i) - x_k)}{t_i} = \epsilon_k^t \alpha'(0)$  e

$$\lim_{t_i \rightarrow 0} \frac{(\alpha(t_i) - x_k)^t (\alpha(t_i) - x_k)}{t_i} = \alpha'(0)t_0 = 0, \text{ segue que para } t$$

suficientemente grande,  $\frac{\Psi_k(s_k^{(i)})}{t_i} \leq \frac{\varepsilon_k^t \alpha'(0)}{2} = a < 0$ .

$$\text{Logo, } \left| \frac{\Psi_k(s_k^{(i)})}{t_i} \right| \geq |a| \text{ e então } \frac{1}{\left| \frac{\Psi_k(s_k^{(i)})}{t_i} \right|} \leq \frac{1}{|a|}.$$

$$\begin{aligned} \text{Agora, } |\rho_k^{(i)} - 1| &= \left| \frac{f(x_k + s_k^{(i)}) - f(x_k) - \Psi_k(s_k^{(i)})}{\Psi_k(s_k^{(i)})} \right| \leq \\ &\leq \left| \frac{f(x_k + s_k^{(i)}) - f(x_k) - \varepsilon_k^t s_k^{(i)} - \frac{1}{2} (s_k^{(i)})^t B_k s_k^{(i)}}{\Psi_k(s_k^{(i)})} \right| \leq \\ &\leq \left| \frac{f(x_k + s_k^{(i)}) - f(x_k) - \varepsilon_k^t s_k^{(i)}}{\Psi_k(s_k^{(i)})} \right| + \frac{1}{2} \left| (s_k^{(i)})^t B_k s_k^{(i)} \right| \leq \\ &\leq \frac{L \|s_k^{(i)}\|^2 + \frac{\|B_k\|}{2} \|s_k^{(i)}\|^2}{\left| \frac{\Psi_k(s_k^{(i)})}{t_i} \right|} = \frac{\left( L + \frac{\|B_k\|}{2} \right) \frac{\|s_k^{(i)}\|^2}{t_i}}{\left| \frac{\Psi_k(s_k^{(i)})}{t_i} \right|} \leq \\ &\leq \frac{2L + \|B_k\|}{2|a|} \frac{\|s_k^{(i)}\|^2}{t_i} \leq \frac{2L + \|B_k\|}{2|a|} \frac{\langle \Delta_k^{(i)} \rangle^2}{t_i} = \\ &= \frac{2L + \|B_k\|}{2|a|} \frac{\|\alpha(t_i) - x_k\|^2}{t_i} \xrightarrow[t_i \rightarrow 0]{} 0. \end{aligned}$$

Portanto,  $\lim_{i \in \mathbb{N}} \rho_k^{(i)} = 1$ . Isto significa que para i

suficientemente grande,  $\rho_k^{(i)} > 10^{-4}$ .

Logo,  $f(x_k + s_k^{(i)}) < f(x_k) + 10^{-4} \Psi_k(s_k^{(i)})$ , como

queríamos provar . ■

### Teorema 2.9 ( CONVERGÊNCIA GLOBAL -algoritmo I - CNI)

Se  $\|B_k\|$  é uniformemente limitada e a sequência gerada pelo algoritmo I está contida em um conjunto compacto, então existe uma subsequência cujo limite satisfaz a CNI para (2.1).

Prova:

Existem duas possibilidades para  $\{\Delta_k\}_{k \in \mathbb{N}}$ :

i)  $\inf_{k \in \mathbb{N}} \Delta_k = 0$

ii)  $\inf_{k \in \mathbb{N}} \Delta_k > 0$ .

Consideremos inicialmente o caso i):  $\inf_{k \in \mathbb{N}} \Delta_k = 0$ .

Seja  $k_1 \in \mathbb{N}$  o primeiro número natural tal que  $\Delta_{(k_1+1)} < \frac{\Delta_0}{2}$ . Claramente  $\Delta_{(k_1+1)} < \Delta_{k_1}$  (senão  $\Delta_{(k_1+1)}$  seria o primeiro número).

Seja  $k_2 \in \mathbb{N}$  o primeiro número natural tal que  $\Delta_{(k_2+1)} < \frac{\Delta_{(k_1+1)}}{2}$  (claramente  $\Delta_{(k_2+1)} < \Delta_{k_2}$ ).

E assim por diante, seja  $k_j \in \mathbb{N}$  o primeiro número tal que  $\Delta_{(k_j+1)} < \frac{\Delta_{(k_{j-1}+1)}}{2}$  (claramente  $\Delta_{(k_j+1)} < \Delta_{k_j}$ ).

Seja  $K_1 = \{k_1, k_2, \dots\}$ . A sequência  $\{\Delta_k\}_{k \in K_1}$  é tal que  $\lim_{k \in K_1} \Delta_{k+1} = 0$ . Como  $\Delta_{k+1} < \Delta_k$ ,  $\forall k \in K_1$ , temos  $f(x_k + s_k) \geq f(x_k) + 0.75 \Psi_k(s_k)$ . Logo,  $\rho_k = \frac{f(x_k + s_k) - f(x_k)}{\Psi_k(s_k)} \leq 0.75$ ,  $\forall k \in K_1$ .

Assim, para  $k \in K_1$  temos  $\Delta_{k+1} \geq 0.1 \|s_k\|$  e portanto,

$$\lim_{k \in K_1} \|s_k\| = 0.$$

Como  $\{x_k\}_{k \in \mathbb{N}}$  está contida em um compacto, tomemos  $K_2 \subseteq K_1$  tal que  $\lim_{k \in K_2} x_k$  existe e chamemos  $x^* = \lim_{k \in K_2} x_k$ . Naturalmente,

$$\lim_{k \in K_2} \|s_k\| = 0.$$

Suponhamos que  $x^*$  não satisfaça a CNI para (2.1). Daí em diante usaremos a notação  $\xi_* = \nabla f(x^*)$ .

Então existe  $\alpha$  arco factível para (2.1) partindo de  $x^*$ , tal que  $\xi_*^\top \alpha'(0) < 0$ . Pela regularidade de  $B$  (Hipótese 2.3), existe a seqüência de arcos factíveis  $\{\alpha_k\}_{k \in K_2}$  satisfazendo:

- i)  $\alpha_k(0) = x_k, \forall k \in K_2$
- ii)  $\alpha_k(t) \in B, \forall t \in [0,1], \forall k \in K_2$
- iii)  $\lim_{k \in K_2} \alpha_k(t) = \alpha(t), \forall t \in [0,1]$
- iv)  $\lim_{k \in K_2} \alpha'_k(0) = \alpha'(0)$ .

Agora, existe  $k_1$  tal que para todo  $k \in K_2, k \geq k_1$ , o arco  $\alpha_k$  atravessa a bola de centro em  $x_k$  e raio  $\|s_k\|$ .

De fato, suponhamos que  $\|\alpha_k(t) - \alpha_k(0)\| \leq \|s_k\|, \forall k \in K_2 \subseteq K_1$ , para todo  $t \in [0,1]$ . Então  $\lim_{k \in K_2} \|\alpha_k(t) - \alpha_k(0)\| \leq \lim_{k \in K_2} \|s_k\|, \forall t \in [0,1] \Rightarrow \|\alpha(t) - \alpha(0)\| \leq 0, \forall t \in [0,1] \Rightarrow \alpha(t) = \alpha(0), \forall t \in [0,1]$ , o que é absurdo pois  $\alpha'(0) \neq 0$ .

Assim, existe  $k_1$  tal que para  $k \in K_2, k \geq k_1$ , podemos tomar

$$t_k = \min \left\{ t \in [0,1] : \|\alpha_k(t) - \alpha_k(0)\| = \|s_k\| \right\}.$$

Vejamos agora que  $\lim_{k \in K_2} t_k = 0$ .

$$\text{Temos } \|s_k\| = \|\alpha_k(t_k) - x_k\| = \|\alpha_k(t_k) - \alpha_k(0)\| =$$

$$\left\| \begin{bmatrix} \int_0^{t_k} (\alpha_k^1)'(t) dt \\ \vdots \\ \int_0^{t_k} (\alpha_k^n)'(t) dt \end{bmatrix} \right\|.$$

Pela regularidade de  $B$ , como  $\lim_{k \in K_2} \alpha_k'(0) = \alpha'(0) \neq 0$ , existe

$i \in \{1, \dots, n\}$  tal que  $(\alpha_k^i)'(t) \geq \eta > 0$  para todo  $t \in [0, 1]$ .

$$\text{Então, } \left\| \begin{bmatrix} \int_0^{t_k} (\alpha_k^1)'(t) dt \\ \vdots \\ \int_0^{t_k} (\alpha_k^n)'(t) dt \end{bmatrix} \right\| \geq \xi \left\| \begin{bmatrix} \int_0^{t_k} (\alpha_k^i)'(t) dt \\ \vdots \\ \int_0^{t_k} (\alpha_k^n)'(t) dt \end{bmatrix} \right\| =$$

$$= \xi \int_0^{t_k} (\alpha_k^i)'(t) dt \geq \xi \int_0^{t_k} \eta dt = \xi \eta t_k, \text{ onde } \xi \text{ é uma constante não negativa.}$$

Portanto  $\|s_k\| \geq \xi \eta t_k \geq 0$  e como  $\lim_{k \in K_2} \|s_k\| = 0$ , segue que

$$\lim_{k \in K_2} t_k = 0.$$

Pela definição do subproblema,  $\Psi_k(s_k) \leq \Psi_k(\alpha_k(t_k) - x_k)$ . Mas

$$\Psi_k(\alpha_k(t_k) - x_k) = s_k^T (\alpha_k(t_k) - x_k) + \frac{1}{2} (\alpha_k(t_k) - x_k)^T B_k (\alpha_k(t_k) - x_k).$$

Como  $\|B_k\| \leq M$ ,  $\forall k \in \mathbb{N}$ , segue que

$$\Psi_k(s_k) \leq \Psi_k(\alpha_k(t_k) - x_k) \leq s_k^T (\alpha_k(t_k) - x_k) + \frac{M}{2} \|\alpha_k(t_k) - x_k\|^2 \text{ e}$$

$$\text{então } \frac{\Psi_k(s_k)}{t_k} \leq s_k^T \frac{[\alpha_k(t_k) - \alpha_k(0)]}{t_k} + \frac{M}{2t_k} \|\alpha_k(t_k) - \alpha_k(0)\|^2.$$

Aplicando o teorema do valor médio a cada componente de

$$\alpha_k(t_k) - \alpha_k(0) \text{ temos que } \frac{\Psi_k(s_k)}{t_k} \leq s_k^T v_k + M \|v_k\|^2 t_k, \text{ onde}$$

$$v_k = \begin{bmatrix} (\alpha_k^1)'(\xi_k^1) \\ \vdots \\ (\alpha_k^n)'(\xi_k^n) \end{bmatrix}, \quad 0 \leq \xi_k^i \leq t_k, \quad i = 1, \dots, n.$$

Portanto,  $\lim_{k \in K_2} \frac{\Psi_k(s_k)}{t_k} \leq s_*^t \alpha'(0) < 0$

Logo,  $\frac{\Psi_k(s_k)}{t_k} \leq \frac{s_*^t \alpha'(0)}{2} = a < 0$  para todo  $k \in K_2$ ,  $k \geq k_2 \geq k_1$ .

Então,  $\left| \frac{\Psi_k(s_k)}{t_k} \right| \geq |a| \quad \text{e} \quad \frac{1}{\left| \frac{\Psi_k(s_k)}{t_k} \right|} \leq \frac{1}{|a|}, \forall k \in K_2, k \geq k_2$ .

Agora,

$$\rho_k = \frac{f(x_k + s_k) - f(x_k)}{\Psi_k(s_k)} = 1 + \frac{f(x_k + s_k) - f(x_k) - \Psi_k(s_k)}{\Psi_k(s_k)}$$

$$\text{Mas } |f(x_k + s_k) - f(x_k) - \Psi_k(s_k)| =$$

$$= |f(x_k + s_k) - f(x_k) - s_k^t s_k - \frac{1}{2} s_k^t B_k s_k| \leq$$

$$\leq |f(x_k + s_k) - f(x_k) - s_k^t s_k| + \frac{1}{2} |s_k^t B_k s_k| \leq L \|s_k\|^2 + \frac{1}{2} \|B_k\| \|s_k\|^2 \leq$$

$\leq (L + \frac{M}{2}) \|s_k\|^2$ , onde  $L$  é a constante de Lipschitz para  $f$  e usamos o fato de que  $\|B_k\| \leq M$ ,  $\forall k \in \mathbb{N}$ .

Dessa forma, temos:

$$|f(x_k + s_k) - f(x_k) - \Psi_k(s_k)| \leq \left( \frac{2L + M}{2} \right) \|s_k\|^2.$$

Assim, para  $k \in K_2$ ,  $k \geq k_2$  temos:

$$|\rho_k - 1| = \left| \frac{f(x_k + s_k) - f(x_k) - \Psi_k(s_k)}{\Psi_k(s_k)} \right| \leq \frac{\left( \frac{2L + M}{2} \right) \|s_k\|^2}{\left| \frac{\Psi_k(s_k)}{t_k} \right|} \leq$$

$$\leq \left( \frac{2L + M}{2|a|} \right) \frac{\|s_k\|^2}{t_k} = \frac{2L + M}{2|a|} \frac{\|\alpha_k(t_k) - x_k\|^2}{t_k} =$$

$$= \frac{2L + M}{2|a|} \|v_k\|^2 t_k \xrightarrow{k \in K_2} 0 \text{ e portanto } \lim_{k \in K_2} \rho_k = 1,$$

o que contradiz o fato de que  $\rho_k \leq 0.75$  para  $\forall k \in K_2 \subset K_1$ .

Consideremos agora o caso (ii):  $\inf_{k \in N} \Delta_k > 0$

Seja  $K_1 \subset N$  tal que  $\lim_{k \in K_1} B_k$  existe. Chamemos  $B = \lim_{k \in K_1} B_k$ .

Seja  $K_2 \subset K_1$  tal que  $\lim_{k \in K_2} x_k$  existe. Chamemos  $x^* = \lim_{k \in K_2} x_k$ .

Temos  $f(x_{k+1}) < f(x_k) + 10^{-4} \Psi_k(s_k)$ ,  $\forall k \in K_2$ .

Logo,  $\Psi_k(s_k) > 10^{-4} (f(x_k) - f(x_{k+1}))$ ,  $\forall k \in K_2$

e  $|\Psi_k(s_k)| < 10^{-4} (f(x_k) - f(x_{k+1}))$ ,  $\forall k \in K_2$

Agora,  $f(x_k) - f(x_{k+1}) \rightarrow 0$  (pois caso contrário,

$f(x_k) \rightarrow -\infty$ , portanto  $\lim_{k \in K_2} \Psi_k(s_k) = 0$ .

Vamos agora definir  $\Psi_*(s) = s^t g_* + \frac{1}{2} s^t B s$ .

Como  $\inf_{k \in N} \Delta_k > 0$ , temos  $\Delta_k \geq \Delta > 0$ ,  $\forall k \in K_2$ .

Seja  $\bar{s}$  solução do problema

minimizar  $\Psi_*(s)$

s/a  $x^* + s \in B$

$\|s\| \leq \Delta/2$

(2.3)

Existe  $\tilde{k}$  tal que para  $k \geq \tilde{k}$ ,  $k \in K_2$ , temos  $\|x^* - x_k\| \leq \Delta/2$

Definindo  $\bar{x} = x^* + \bar{s}$ , temos:

$$\|\bar{x} - x_k\| = \|x^* + \bar{s} - x_k\| \leq \|x^* - x_k\| + \|\bar{s}\| \leq \Delta \leq \Delta_k, \quad k \in K_2, \quad k \geq \tilde{k},$$

ou seja,  $\|\tilde{x} - x_k\| \leq \Delta_k$  e como  $\tilde{x} = x^* + \tilde{s} \in B$ , então  $\tilde{x} - x_k$  é factível para o subproblema (2.2) e  $\Psi_k(\tilde{x} - x_k) \geq \Psi_k(s_k)$ .

Agora, no limite para  $k \in \mathbb{K}_2$  temos  $s_k \rightarrow s_*$ ,  $B_k \rightarrow B$ ,  $\Psi_k(s_k) \rightarrow 0$  e  $\tilde{x} - x_k \rightarrow \tilde{s}$ . Logo  $\Psi_*(\tilde{s}) \geq \Psi_*(0) = 0$  e  $s = 0$  minimiza (2.3). Portanto, vale a CN1 para (2.3). Assim, para todo arco factível  $\omega$  ( $\omega(0) = 0$ ) tem-se  $\nabla \Psi_*^t(0) \frac{d\omega}{dt}(0) \geq 0$ . Chamando  $\omega(t) = \alpha(t) - x^*$ , como  $\nabla \Psi_*(0) = s_*$  e  $\frac{d\omega}{dt} = \frac{d\alpha}{dt}(t)$ , então para todo  $\alpha$  arco factível para (2.1) ( $\alpha(0) = x^*$ ) teremos  $s_*^t \frac{d\alpha}{dt}(0) \geq 0$ . Ou seja, vale a CN1 para (2.1). ■

#### Teorema 2.10 (BOA DEFINIÇÃO – algoritmo I – CN2)

Supondo que  $f \in C^2(A)$ ,  $A$  aberto,  $A \supset B$  e que  $\nabla^2 f$  é Lipschitz contínua em  $A$ , seja  $\{x_k\}_{k \in \mathbb{N}}$  a sequência gerada pelo algoritmo I, com  $B_k \equiv \nabla^2 f(x_k)$ ,  $\forall k \in \mathbb{N}$ .

Se  $x_k$  não satisfaz a CN2, então é possível obter  $x_{k+1}$ .

Prova:

Se  $x_k$  satisfaz a CN1 mas não satisfaz a CN2, queremos ver que para  $\Delta_k^{(i)}$  suficientemente pequeno (onde  $\{\Delta_k^{(i)}\}_{i \in \mathbb{N}}$  é a sequência de raios gerada na  $k$ -ésima iteração), o minimizador  $s_k^{(i)}$  do subproblema (2.2) é tal que  $f(x_k + s_k^{(i)}) < f(x_k) + + 10^{-4} \Psi_k(s_k^{(i)})$ , e portanto é possível obter o novo ponto  $x_{k+1} = x_k + s_k^{(i)}$ .

Chamando  $\rho_k^{(i)} = \frac{f(x_k + s_k^{(i)}) - f(x_k)}{\Psi_k(s_k^{(i)})}$ , vamos mostrar que

$$\lim_{i \in \mathbb{N}} \rho_k^{(i)} = 1.$$

Como, por hipótese,  $x_k$  satisfaz a CN1 mas não satisfaz a CN2, existe arco factível  $\alpha$  partindo de  $x_k$  tal que

$$\frac{df}{dt}(\alpha(t)) \Big|_{t=0} = \epsilon_k^t \alpha'(0) = 0 \quad \text{e} \quad \frac{d^2f}{dt^2}(\alpha(t)) \Big|_{t=0} < 0.$$

$$\text{Logo, } \alpha'(0)^T \nabla^2 f_k \alpha'(0) + \epsilon_k^t \alpha''(0) < 0.$$

Sendo  $\alpha$  factível,  $\alpha(0) = x_k$  e  $\alpha(t) \in B$ ,  $\forall t \in [0,1]$ .

Para  $\Delta_k^{(i)}$  suficientemente pequeno, seja  $t_i$  tal que

$$t_i = \min \left\{ t \in [0,1] : \|\alpha(t) - x_k\| = \Delta_k^{(i)} \right\}.$$

Temos  $\lim_{i \in \mathbb{N}} t_i = 0$ . De fato, como  $s_k^{(i-1)}$  é tal que

$$f(x_k + s_k^{(i-1)}) \geq f(x_k) + 10^{-4} \Psi_k(s_k^{(i-1)})$$

$$\text{então } \Delta_k^{(i)} \in [0.1 \|s_k^{(i-1)}\|, 0.9 \|s_k^{(i-1)}\|]$$

$$\text{e } \Delta_k^{(i)} \leq 0.9 \|s_k^{(i-1)}\| \leq 0.9 \Delta_k^{(i-1)}.$$

Portanto,  $\lim_{i \in \mathbb{N}} \Delta_k^{(i)} = 0$  e como  $t_i$  é tal que  $\|\alpha(t_i) - x_k\| = \Delta_k^{(i)}$ ,

$$\text{segue que } \lim_{i \in \mathbb{N}} \|\alpha(t_i) - x_k\| = \lim_{i \in \mathbb{N}} \|\alpha(t_i) - \alpha(0)\| = 0.$$

Ou seja,  $\|\alpha(t_i) - \alpha(0)\| \xrightarrow[i \in \mathbb{N}]{} 0 \Rightarrow \alpha(t_i) \xrightarrow[i \in \mathbb{N}]{} \alpha(0) \Rightarrow t_i \xrightarrow[i \in \mathbb{N}]{} 0$ .

Pela definição do subproblema,

$$\Psi_k(s_k^{(i)}) \leq \Psi_k(\alpha(t_i) - x_k) = \Psi_k(\alpha(t_i) - \alpha(0)).$$

$$\text{Mas } \Psi_k(\alpha(t_i) - \alpha(0)) =$$

$$= \frac{1}{2} (\alpha(t_i) - \alpha(0))^T B_k (\alpha(t_i) - \alpha(0)) + \epsilon_k^t (\alpha(t_i) - \alpha(0)).$$

Daqui em diante, utilizaremos a notação  $\nabla^2 f_k = \nabla^2 f(x_k)$ .

$$\frac{\Psi_k(s_k^{(i)})}{t_i^2} \leq \frac{\epsilon_k^t(\alpha(t_i) - \alpha(0))}{t_i^2} + \frac{1}{2} \frac{(\alpha(t_i) - \alpha(0))^t}{t_i} \nabla^2 f_k \frac{(\alpha(t_i) - \alpha(0))}{t_i}$$

Temos que  $\lim_{t_i \rightarrow 0} \frac{\epsilon_k^t(\alpha(t_i) - \alpha(0))}{t_i^2} = \frac{1}{2} \epsilon_k^t \alpha''(0).$

De fato, chamando  $F(t_i) = \frac{\epsilon_k^t(\alpha(t_i) - \alpha(0))}{t_i}$  e  $G(t_i) = t_i$ ,

como  $\lim_{i \in \mathbb{N}} F(t_i) = \epsilon_k^t \alpha'(0) = 0$  e  $\lim_{i \in \mathbb{N}} G(t_i) = 0$ , pelo teorema de L'Hospital, segue que

$$\begin{aligned} \lim_{i \in \mathbb{N}} \frac{F(t_i)}{G(t_i)} &= \lim_{i \in \mathbb{N}} \frac{F'(t_i)}{G'(t_i)} = \lim_{i \in \mathbb{N}} \frac{\frac{d}{dt} \frac{\epsilon_k^t(\alpha(t_i) - \alpha(0))}{t_i}}{1} = \\ &= \lim_{i \in \mathbb{N}} \epsilon_k^t \frac{d}{dt} \left[ \frac{(\alpha(t_i) - \alpha(0))}{t_i} \right] = \lim_{i \in \mathbb{N}} \epsilon_k^t \left[ -\frac{(\alpha(t_i) - \alpha(0))}{t_i^2} + \frac{\alpha'(t_i)}{t_i} \right] = \\ &= -\lim_{i \in \mathbb{N}} \epsilon_k^t \left[ \frac{(\alpha(t_i) - \alpha(0))}{t_i^2} \right] + \lim_{i \in \mathbb{N}} \epsilon_k^t \left[ \frac{\alpha'(t_i) - \alpha'(0)}{t_i} \right] + \\ &\quad + \lim_{i \in \mathbb{N}} \epsilon_k^t \frac{\alpha'(0)}{t_i} \end{aligned}$$

Portanto,  $2 \lim_{i \in \mathbb{N}} \epsilon_k^t \left[ \frac{(\alpha(t_i) - \alpha(0))}{t_i^2} \right] = \epsilon_k^t \alpha''(0)$

e então,  $\lim_{i \in \mathbb{N}} \epsilon_k^t \left[ \frac{(\alpha(t_i) - \alpha(0))}{t_i^2} \right] = \frac{1}{2} \epsilon_k^t \alpha''(0).$

Agora,

$$\lim_{i \in \mathbb{N}} \frac{(\alpha(t_i) - \alpha(0))^t}{t_i} \nabla^2 f_k \frac{(\alpha(t_i) - \alpha(0))}{t_i} = \alpha'(0)^t \nabla^2 f_k \alpha'(0).$$

$$\text{Logo, } \lim_{i \in \mathbb{N}} \frac{\Psi_k(s_k^{(i)})}{t_i^2} \leq \frac{1}{2} \left\langle \epsilon_k^t \alpha''(0) + \alpha'(0)^t \nabla^2 f_k \alpha'(0) \right\rangle < 0$$

e para  $i$  suficientemente grande ( $t_i$  suficientemente pequeno)

$$\frac{\Psi_k(s_k^{(i)})}{t_i^2} \leq \frac{1}{4} \left\langle \epsilon_k^t \alpha''(0) + \alpha'(0)^t \nabla^2 f_k \alpha'(0) \right\rangle = a < 0.$$

$$\text{Então } \left| \frac{\Psi_k(s_k^{(i)})}{t_i^2} \right| \geq |a| \quad \text{e} \quad \frac{1}{\left| \frac{\Psi_k(s_k^{(i)})}{t_i^2} \right|} \leq \frac{1}{|a|}.$$

$$\text{Agora, } |\rho_k^{(i)} - 1| = \left| \frac{f(x_k + s_k^{(i)}) - f(x_k) - \Psi_k(s_k^{(i)})}{\Psi_k(s_k^{(i)})} \right| \leq$$

$$\leq \frac{\left| f(x_k + s_k^{(i)}) - f(x_k) - \epsilon_k^t s_k^{(i)} - \frac{1}{2} \langle s_k^{(i)} \rangle^t \nabla^2 f_k s_k^{(i)} \right|}{|\Psi_k(s_k^{(i)})|} \leq$$

$$\leq \frac{\frac{M}{3!} \|s_k^{(i)}\|^3}{\left| \Psi_k(s_k^{(i)}) \right|} \quad \left( \text{pela Lipschitz continuidade de } \nabla^2 f \text{ em } \Lambda \right).$$

$$\text{Mas } \frac{\frac{M}{3!} \|s_k^{(i)}\|^3}{\left| \Psi_k(s_k^{(i)}) \right|} = \frac{\frac{M}{3!} \frac{\|s_k^{(i)}\|^3}{t_i^2}}{\left| \frac{\Psi_k(s_k^{(i)})}{t_i^2} \right|} \leq \frac{M}{3!|a|} \frac{\|s_k^{(i)}\|^3}{t_i^2} \leq$$

$$\leq \frac{M}{3!|a|} \frac{\left[ \Delta_k^{(i)} \right]^3}{t_i^2} = \frac{M}{3!|a|} \frac{\| \alpha(t_i) - x_k \|^3}{t_i^2} =$$

$$= \frac{M}{3!|a|} \left[ \frac{\| \alpha(t_i) - \alpha(0) \|^2}{t_i} \frac{\| \alpha(t_i) - \alpha(0) \|}{t_i} \right]^{3/2} t_i \xrightarrow[i \in \mathbb{N}]{} 0$$

Logo  $\lim_{k \in \mathbb{N}} \rho_k^{(i)} = 1$  e portanto para  $i$  suficientemente grande,  
 $\rho_k^{(i)} > 10^{-4}$ . Assim,  $f(x_k + s_k^{(i)}) < f(x_k) + 10^{-4} \Psi_k(s_k^{(i)})$ . Ou seja,  
 $x_{k+1} = x_k + s_k^{(i)}$  está bem definido. ■

### Teorema 2.11 (CONVERGÊNCIA GLOBAL - algoritmo I - CN2)

Supondo que  $f \in C^2(\mathbb{A})$ ,  $\mathbb{A}$  aberto,  $\mathbb{A} \supset \mathbb{B}$  e que  $\nabla^2 f$  é Lipschitz contínua em  $\mathbb{A}$ , se a sequência gerada pelo algoritmo I está contida em um conjunto compacto e se  $B_k = \nabla^2 f(x_k)$ ,  $\forall k \in \mathbb{N}$ , então existe uma subsequência cujo limite satisfaz a CN2 para (2.1).

Prova:

Existem duas possibilidades para  $\{\Delta_k\}_{k \in \mathbb{N}}$ :

I)  $\inf_{k \in \mathbb{N}} \Delta_k = 0$

II)  $\inf_{k \in \mathbb{N}} \Delta_k > 0$ .

Consideremos inicialmente o caso I:  $\inf_{k \in \mathbb{N}} \Delta_k = 0$ .

Seja  $k_1 \in \mathbb{N}$  o primeiro número natural tal que  
 $\Delta_{(k_1+1)} < \frac{\Delta_{k_1}}{2}$ . Claramente  $\Delta_{(k_1+1)} < \Delta_{k_1}$  (senão  $\Delta_{(k_1+1)}$  seria o  
primeiro número).

Seja  $k_2 \in \mathbb{N}$  o primeiro número natural tal que  
 $\Delta_{(k_2+1)} < \frac{\Delta_{(k_1+1)}}{2}$  (claramente  $\Delta_{(k_2+1)} < \Delta_{k_2}$ ).

E assim por diante, seja  $k_j \in \mathbb{N}$  o primeiro número tal que  
 $\Delta_{(k_j+1)} < \frac{\Delta_{(k_{j-1}+1)}}{2}$  (claramente  $\Delta_{(k_j+1)} < \Delta_{k_j}$ ).

Seja  $K_1 = (k_1, k_2, \dots)$ . A sequência  $\{\Delta_k\}_{k \in K_1}$  é tal que

$\lim_{k \in K_1} \Delta_{k+1} = 0$ . Como  $\Delta_{k+1} < \Delta_k$ ,  $\forall k \in K_1$ , temos

$$f(x_k + s_k) \geq f(x_k) + 0.75 \Psi_k(s_k). \text{ Logo } \rho_k = \frac{f(x_k + s_k) - f(x_k)}{\Psi_k(s_k)} \leq 0.75,$$

para todo  $k \in K_1$ .

Assim, para  $k \in K_1$  temos  $\Delta_{k+1} \geq 0.1 \|s_k\|$  e portanto,

$$\lim_{k \in K_1} \|s_k\| = 0.$$

Como  $\{x_k\}_{k \in \mathbb{N}}$  está contida em um compacto, tomemos  $K_2 \subseteq K_1$

tal que  $\lim_{k \in K_2} x_k$  existe e chamemos  $x^* = \lim_{k \in K_2} x_k$ . Naturalmente,

$$\lim_{k \in K_2} \|s_k\| = 0.$$

Suponhamos que  $x^*$  não satisfaça a CN2 para (2.1). Usaremos a notação  $\epsilon_* = \nabla f(x^*)$  e  $\nabla^2 f_* = \nabla^2 f(x^*)$ .

Então existe o arco factível para (2.1) partindo de  $x^*$  ( $\alpha'(0) \neq 0$ ) tal que  $\frac{df}{dt}(\alpha(0)) = g_*^\top \alpha'(0) = 0$  mas  $\frac{d^2 f}{dt^2}(\alpha(0)) < 0$ , ou seja,  $\alpha'(0)^\top \nabla^2 f_* \alpha'(0) + \epsilon_*^\top \alpha''(0) < 0$ . Pela regularidade do B, hipótese 2.3) existe a sequência de arcos factíveis  $\{\alpha_k(t)\}_{k \in K_2}$  satisfazendo:

- (i)  $\alpha_k(0) = x_k$ ,  $\forall k \in K_2$
- (ii)  $\alpha_k(t) \in B$ ,  $\forall t \in [0,1]$ ,  $\forall k \in K_2$
- (iii)  $\lim_{k \in K_2} \alpha_k(t) = \alpha(t)$ ,  $\forall t \in [0,1]$
- (iv)  $\lim_{k \in K_2} \alpha'_k(0) = \alpha'(0)$
- (v)  $\lim_{k \in K_2} \alpha''_k(0) = \alpha''(0)$ .

Agora, existe  $k_1$  tal que para  $k \in K_2$ ,  $k \geq k_1$ , o arco  $\alpha_k$

atravessa a bola de centro em  $x_k$  e raio  $\|s_k\|$ .

De fato, suponhamos que  $\|\alpha_k(t) - \alpha_k(0)\| \leq \|s_k\|$ ,  $\forall t \in [0,1]$ ,  $\forall k \in K_0 \subseteq K_2$ . Então  $\lim_{k \in K_0} \|\alpha_k(t) - \alpha_k(0)\| \leq \lim_{k \in K_0} \|s_k\|$ ,  $\forall t \in [0,1]$ . Como  $K_0 \subseteq K_2$ , temos  $0 \leq \|\alpha(t) - \alpha(0)\| \leq 0$ ,  $\forall t \in [0,1]$  e então  $\alpha(t) = \alpha(0)$ ,  $\forall t \in [0,1]$ , o que é absurdo pois  $\alpha'(0) \neq 0$ .

Assim, para  $k \in K_2$ ,  $k \geq K_0$ , podemos tomar

$$t_k = \min \left\{ t \in [0,1] : \|\alpha_k(t) - x_k\| = \|s_k\| \right\}$$

Vejamos agora que  $\lim_{k \in K_2} t_k = 0$ .

$$\text{Temos } \|s_k\| = \|\alpha_k(t_k) - x_k\| = \|\alpha_k(t_k) - \alpha_k(0)\| = \left\| \begin{bmatrix} \int_0^{t_k} (\alpha_k^1)'(t) dt \\ \vdots \\ \int_0^{t_k} (\alpha_k^n)'(t) dt \end{bmatrix} \right\|.$$

Pela regularidade de  $B$ , como  $\lim_{k \in K_2} \alpha_k'(0) = \alpha'(0) \neq 0$ , existe  $i \in \{1, \dots, n\}$  tal que  $(\alpha_k^i)'(t) \geq \eta > 0$  para todo  $t \in [0,1]$ .

$$\text{Então, } \left\| \begin{bmatrix} \int_0^{t_k} (\alpha_k^1)'(t) dt \\ \vdots \\ \int_0^{t_k} (\alpha_k^n)'(t) dt \end{bmatrix} \right\| \geq \xi \left\| \begin{bmatrix} \int_0^{t_k} \eta dt \\ \vdots \\ \int_0^{t_k} \eta dt \end{bmatrix} \right\| =$$

$$= \xi \left\| \int_0^{t_k} \eta dt \right\| \geq \xi \int_0^{t_k} \eta dt = \xi \eta t_k, \text{ onde } \xi \text{ é uma constante não negativa.}$$

Portanto  $\|s_k\| \geq \xi \eta t_k \geq 0$  e como  $\lim_{k \in K_2} \|s_k\| = 0$ , segue que  $\lim_{k \in K_2} t_k = 0$ .

Pela definição do subproblema,  $\Psi_k(s_k) \leq \Psi_k(\alpha_k(t_k) - x_k)$ . Mas

$$\Psi_k(\alpha_k(t_k) - x_k) = \epsilon_k^t (\alpha_k(t_k) - x_k) + \frac{1}{2} (\alpha_k(t_k) - x_k)^t \nabla^2 f_k (\alpha_k(t_k) - x_k).$$

$$\text{Então } \frac{\Psi_k(s_k)}{(t_k)^2} \leq \frac{\epsilon_k^t (\alpha_k(t_k) - \alpha_k(0))}{(t_k)^2} + \\ + \frac{1}{2} \frac{(\alpha_k(t_k) - \alpha_k(0))^t}{t_k} \nabla^2 f_k \frac{(\alpha_k(t_k) - \alpha_k(0))}{t_k}.$$

$$\text{Chamando } F(t_k) = \frac{\epsilon_k^t (\alpha_k(t_k) - \alpha_k(0))}{t_k} \text{ e } G(t_k) = t_k, \text{ como}$$

$$\lim_{k \in K_2} F(t_k) = \epsilon_*^t \alpha'(0) = 0 \text{ e } \lim_{k \in K_2} G(t_k) = 0, \text{ aplicando o teorema de L'Hospital temos:}$$

$$\begin{aligned} \lim_{k \in K_2} \frac{\epsilon_k^t (\alpha_k(t_k) - \alpha_k(0))}{(t_k)^2} &= \lim_{k \in K_2} \frac{F(t_k)}{G(t_k)} = \lim_{k \in K_2} \frac{\frac{d}{dt} F(t_k)}{\frac{d}{dt} G(t_k)} = \\ &= \lim_{k \in K_2} \epsilon_k^t \left[ - \frac{(\alpha_k(t_k) - \alpha_k(0))}{(t_k)^2} + \frac{\alpha'_k(t_k)}{t_k} \right] = \\ &= - \lim_{k \in K_2} \epsilon_k^t \left[ \frac{(\alpha_k(t_k) - \alpha_k(0))}{(t_k)^2} \right] + \lim_{k \in K_2} \epsilon_k^t \left[ \frac{\alpha'_k(t_k) - \alpha'_k(0)}{t_k} \right] + \\ &\quad + \lim_{k \in K_2} \epsilon_k^t \frac{\alpha'_k(0)}{t_k}. \end{aligned}$$

$$\text{Portanto } 2 \lim_{k \in K_2} \frac{\epsilon_k^t (\alpha_k(t_k) - \alpha_k(0))}{(t_k)^2} = \epsilon_*^t \alpha''(0) + \lim_{k \in K_2} \epsilon_k^t \frac{\alpha'_k(0)}{t_k}.$$

Aplicando novamente o teorema de L'Hospital segue que

$$\lim_{k \in K_2} \epsilon_k^t \frac{\alpha'_k(0)}{t_k} = 0$$

$$\text{e portanto } \lim_{k \in K_2} \frac{\epsilon_k^t (\alpha_k(t_k) - \alpha_k(0))}{(t_k)^2} = \frac{1}{2} \epsilon_*^t \alpha''(0).$$

Agora,

$$\lim_{k \in K_2} \frac{(\alpha_k(t_k) - \alpha_k(0))^t}{t_k} \nabla^2 f_k \frac{(\alpha_k(t_k) - \alpha_k(0))}{t_k} = \alpha'(0)^t \nabla^2 f_* \alpha'(0).$$

$$\text{Então } \lim_{k \in K_2} \frac{\Psi_k(s_k)}{(t_k)^2} \leq \frac{1}{2} (\epsilon_*^t \alpha''(0) + \alpha'(0)^t \nabla^2 f_* \alpha'(0)) < 0.$$

Portanto, para  $k \geq k_2 \geq k_1$ ,  $k \in K_2$  temos

$$\frac{\Psi_k(s_k)}{(t_k)^2} \leq \frac{1}{4} (\epsilon_*^t \alpha''(0) + \alpha'(0)^t \nabla^2 f_* \alpha'(0)) = a < 0$$

$$\text{Logo } \left| \frac{\Psi_k(s_k)}{(t_k)^2} \right| \geq |a| \text{ e } \frac{1}{\left| \frac{\Psi_k(s_k)}{(t_k)^2} \right|} \leq \frac{1}{|a|}, \quad k \in K_2, k \geq k_2.$$

Agora,

$$\rho_k = \frac{f(x_k + s_k) - f(x_k)}{\Psi_k(s_k)} = 1 + \frac{f(x_k + s_k) - f(x_k) - \Psi_k(s_k)}{\Psi_k(s_k)}$$

$$\begin{aligned} \text{Mas } & |f(x_k + s_k) - f(x_k) - \Psi_k(s_k)| = \\ & = \left| f(x_k + s_k) - f(x_k) - \epsilon_k^t s_k - \frac{1}{2} s_k^t \nabla^2 f_k s_k \right| \leq \frac{M}{3!} \|s_k\|^3 \end{aligned}$$

(pela Lipschitz continuidade de  $\nabla^2 f$ )

Assim, para  $k \in K_2$ ,  $k \geq k_2$  temos

$$|\rho_k - 1| = \left| \frac{f(x_k + s_k) - f(x_k) - \Psi_k(s_k)}{\Psi_k(s_k)} \right| \leq \frac{\frac{M}{3!} \frac{\|s_k\|^3}{(t_k)^2}}{\left| \frac{\Psi_k(s_k)}{(t_k)^2} \right|} \leq$$

$$\leq \frac{M}{3|a|} \frac{\|s_k\|^3}{(t_k)^2} = \frac{M}{3|a|} \frac{\|\alpha_k(t_k) - x_k\|^3}{(t_k)^2} = \frac{M}{3|a|} \|v_k\|^3 t_k,$$

onde  $v_k$  é obtido pelo teorema do valor médio aplicado a cada componente de  $\alpha_k(t_k) - x_k$ ,

$$v_k = \begin{bmatrix} (\alpha_k^1)'(\xi_k^1) \\ \vdots \\ (\alpha_k^n)'(\xi_k^n) \end{bmatrix}, \quad 0 \leq \xi_k^i \leq t_k, \quad 1 \leq i \leq n.$$

Então

$$\lim_{k \in K_2} |\rho_k - 1| \leq \lim_{k \in K_2} \frac{M}{3|a|} \|v_k\|^3 t_k = \frac{M}{3|a|} \|\alpha'(0)\|^3 \lim_{k \in K_2} t_k = 0.$$

Logo  $\lim_{k \in K_2} \rho_k = 1$ , o que contradiz o fato de que  $\rho_k \leq 0.75$ ,

$\forall k \in K_2 \subseteq K_1$ .

Consideremos agora o caso (ii):  $\inf_{k \in N} \Delta_k > 0$ .

Seja  $K_1 \subseteq N$  tal que  $\lim_{k \in K_1} \nabla^2 f_k$  existe. Chamemos  $\nabla^2 f = \lim_{k \in K_1} \nabla^2 f_k$ .

$$= \lim_{k \in K_1} \nabla^2 f_k.$$

Seja  $K_2 \subseteq K_1$  tal que  $\lim_{k \in K_2} x_k$  existe. Chamemos  $x^* = \lim_{k \in K_2} x_k$ .

Temos  $f(x_{k+1}) < f(x_k) + 10^{-4} \Psi_k(s_k)$ ,  $\forall k \in K_2$ .

Então  $\Psi_k(s_k) > 10^{-4} (f(x_{k+1}) - f(x_k))$ ,  $\forall k \in K_2$

e  $|\Psi_k(s_k)| < 10^{-4} (f(x_k) - f(x_{k+1}))$ ,  $\forall k \in K_2$ .

Agora,  $f(x_k) - f(x_{k+1}) \rightarrow 0$  (pois caso contrário,

$f(x_k) \rightarrow -\infty$ ), portanto  $\lim_{k \in K_2} \Psi_k(s_k) = 0$ .

Vamos agora definir  $\Psi_*(s) = s^t \epsilon_* + \frac{1}{2} s^t \nabla^2 f s$ .

Como  $\inf_{k \in \mathbb{N}} \Delta_k > 0$ , temos  $\Delta_k \geq \Delta > 0, \forall k \in \mathbb{N}_2$ .

Seja  $\bar{s}$  solução do problema

$$\boxed{\begin{array}{l} \text{minimizar } \Psi_*(s) \\ \text{s/a } x^* + s \in B \\ \|s\| \leq \Delta/2 \end{array}} \quad (2.4)$$

Existe  $\bar{k}$  tal que para  $k \geq \bar{k}, k \in \mathbb{N}_2$ , temos  $\|x^* - x_k\| \leq \Delta/2$ .

Definindo  $\bar{x} = x^* + \bar{s}$ , temos:

$\|\bar{x} - x_k\| = \|x^* + \bar{s} - x_k\| \leq \|x^* - x_k\| + \|\bar{s}\| \leq \Delta \leq \Delta_k, k \in \mathbb{N}_2, k \geq \bar{k}$ , ou seja,  $\|\bar{x} - x_k\| \leq \Delta_k$  e como  $\bar{x} = x^* + \bar{s} \in B$  segue que  $\bar{x} - x_k$  é factível para o subproblema (2.2) e então  $\Psi_k(\bar{x} - x_k) \geq \Psi_k(s_k)$ .

Agora, no limite para  $k \in \mathbb{N}_2$ ,  $\epsilon_k \rightarrow \epsilon_*$ ,  $\nabla^2 f_k \rightarrow \nabla^2 f$ ,  $\Psi_k(s_k) \rightarrow 0$  e  $\bar{x} - x_k \rightarrow \bar{s}$ . Logo  $\Psi_*(\bar{s}) \geq \Psi_*(0) = 0$  e  $s = 0$  minimiza (2.4). Portanto vale a CN2 para (2.4). Isto é, para todo arco factível  $\omega \subset \omega(0) = 0 \Rightarrow$  tem-se  $\nabla \Psi_*^t(0) \frac{d\omega}{dt}(0) \geq 0$  e para todo  $\omega$  tal que  $\nabla \Psi_*^t(0) \frac{ds}{dt}(0) = 0$  tem-se  $\frac{d^2 \Psi_*}{dt^2}(0) \geq 0$ .

Chamando  $\alpha(t) = \alpha(t) - x^*$ , como  $\nabla \Psi_*(0) = \epsilon_*$ ,  $\frac{d\omega}{dt}(t) = \frac{d\alpha}{dt}(t)$  e  $\frac{d^2 \Psi_*}{dt^2}(0) = \nabla^2 f = \frac{d^2 f}{dt^2}(\alpha(0))$ , então para todo  $\alpha$  arco factível para (2.1) ( $\alpha(0) = x^*$ ) teremos  $\epsilon_*^t \frac{d\alpha}{dt}(0) \geq 0$  e para  $\alpha$  tal que  $\epsilon_*^t \frac{d\alpha}{dt}(0) = 0$  tem-se  $\frac{d^2 f}{dt^2}(\alpha(0)) \geq 0$ . Ou seja, vale a CN2 para (2.1). ■

### Teorema 2.12 (BOA DEFINIÇÃO - algoritmo II - CN1)

Seja  $\{x_k\}_{k \in \mathbb{N}}$  a sequência gerada pelo algoritmo II.

Se  $x_k$  não satisfaz a CN1, então é possível obter  $x_{k+1}$ .

Prova:

Como os subproblemas dos algoritmos I e II são os mesmos, a prova deste teorema é análoga à do teorema 2.8. ■

Teorema 2.13 (CONVERGÊNCIA GLOBAL - algoritmo II - CN1)

Seja  $\{x_k\}_{k \in \mathbb{N}}$  a sequência gerada pelo algoritmo II.

Se  $\|B_k\|$  é uniformemente limitada e  $\lim_{k \in K} x_k = x^*$ ,  $K \subseteq \mathbb{N}$  então  $x^*$  satisfaz a CN1 para (2.1).

Prova:

Seja  $x^* = \lim_{k \in K} x_k$ ,  $K \subseteq \mathbb{N}$ .

Existem duas possibilidades para  $\{\Delta_k\}_{k \in K}$ :

I)  $\inf_{k \in K} \Delta_k = 0$

II)  $\inf_{k \in K} \Delta_k > 0$ .

Consideremos inicialmente o caso I):

Se  $\inf_{k \in K} \Delta_k = 0$  então existe  $K_1 \subseteq K$  tal que  $\lim_{k \in K_1} \Delta_k = 0$ .

Mas, como  $\Delta_{k+1} \geq \Delta_{\min} > 0$ ,  $\forall k \in \mathbb{N}$ , segue que  $\Delta_k$  só pode decrescer, indo para zero, se considerarmos a diminuição dos raios de confiança ocorrida durante as iterações da subsequência infinita  $K_1$ . Assim, em cada iteração de  $K_1$ , existe um fracasso na condição de Armijo antes de se mudar de ponto. Ou seja, para todo  $k \in K_1$ , existe  $\bar{s}_k$  tal que  $f(x_k + \bar{s}_k) \geq f(x_k) + 10^{-4} \Psi_k(\bar{s}_k)$  e para o subproblema com raio de confiança  $\Delta_k \in [0.1 \|\bar{s}_k\|, 0.9 \|\bar{s}_k\|]$ , obtém-se  $s_k$  que

satisfaz Armijo, definindo-se  $x_{k+1} = x_k + s_k$ .

Portanto,  $\Delta_k \geq 0.1 \|s_k\| \geq 0$ ,  $\forall k \in K_1$ , seguindo que  $\lim_{k \in K_1} \|s_k\| = 0$ . Naturalmente,  $\lim_{k \in K_1} x_k = x^*$ .

Suponhamos que  $x^*$  não satisfaça a GM para (2.1).

Então existe o arco factível para (2.1)  $\alpha(0) = x^*$ ,  $\alpha'(0) \neq 0$  e  $\alpha(t) \in B$ ,  $\forall t \in [0,1]$  tal que  $s_*^t \frac{d\alpha}{dt}(0) < 0$ . Pela regularidade de  $B$ , existe a sequência de arcos factíveis  $\{\alpha_k\}_{k \in K_1}$  satisfazendo:

- i)  $\alpha_k(0) = x_k$ ,  $\forall k \in K_1$
- ii)  $\alpha_k(t) \in B$ ,  $\forall t \in [0,1]$ ,  $\forall k \in K_1$
- iii)  $\lim_{k \in K_1} \alpha_k(t) = \alpha(t)$ ,  $\forall t \in [0,1]$
- iv)  $\lim_{k \in K_1} \alpha'_k(0) = \alpha'(0)$ .

Agora, existe  $k_1$  tal que para todo  $k \in K_1$ ,  $k \geq k_1$ , o arco  $\alpha_k$  atravessa a bola de centro em  $x_k$  e raio  $\|\bar{s}_k\|$ .

De fato, suponhamos que  $\|\alpha_k(t) - \alpha_k(0)\| \leq \|\bar{s}_k\|$ ,  $\forall k \in K_2 \subseteq K_1$ ,  $\forall t \in [0,1]$ . Então  $\lim_{k \in K_2} \|\alpha_k(t) - \alpha_k(0)\| \leq \lim_{k \in K_2} \|\bar{s}_k\|$ ,  $\forall t \in [0,1] \rightarrow \|\alpha(t) - \alpha(0)\| \leq 0$ ,  $\forall t \in [0,1]$ .

Logo  $\alpha(t) = \alpha(0)$ ,  $\forall t \in [0,1]$ , o que é absurdo pois  $\alpha'(0) \neq 0$ .

Assim, existe  $k_1$  tal que para  $k \in K_1$ ,  $k \geq k_1$ , podemos tomar

$$t_k = \min \left\{ t \in [0,1] : \|\alpha_k(t) - \alpha_k(0)\| = \|\bar{s}_k\| \right\}.$$

Vejamos agora que  $\lim_{k \in K_1} t_k = 0$ .

$$\text{Temos } \|s_k\| = \|\alpha_k(t_k) - x_k\| = \|\alpha_k(t_k) - \alpha_k(0)\| = \left\| \begin{bmatrix} \int_0^{t_k} (\alpha_k^1)'(t) dt \\ \vdots \\ \int_0^{t_k} (\alpha_k^n)'(t) dt \end{bmatrix} \right\|.$$

Pela regularidade de  $\mathbb{B}$ , como  $\lim_{k \in K_1} \alpha_k'(0) = \alpha'(0) \neq 0$ , existe  $i \in \{1, \dots, n\}$  tal que  $(\alpha_k^i)'(t) \geq \eta > 0$  para todo  $t \in [0, 1]$ .

$$\text{Então, } \left\| \begin{bmatrix} \int_0^{t_k} (\alpha_k^1)'(t) dt \\ \vdots \\ \int_0^{t_k} (\alpha_k^n)'(t) dt \end{bmatrix} \right\| \geq \xi \left\| \begin{bmatrix} \int_0^{t_k} \eta dt \\ \vdots \\ \int_0^{t_k} \eta dt \end{bmatrix} \right\| =$$

$$= \xi \int_0^{t_k} \eta dt \geq \xi \int_0^{t_k} \eta dt = \xi \eta t_k, \text{ onde } \xi \text{ é uma constante não negativa.}$$

Portanto  $\|\bar{s}_k\| \geq \xi \eta t_k \geq 0$  e como  $\lim_{k \in K_1} \|\bar{s}_k\| = 0$ , segue que

$$\lim_{k \in K_1} t_k = 0.$$

Pela definição do subproblema,  $\Psi_k(\bar{s}_k) \leq \Psi_k(\alpha_k(t_k) - x_k)$ .

Mas

$$\Psi_k(\alpha_k(t_k) - x_k) = g_k^T (\alpha_k(t_k) - x_k) + \frac{1}{2} (\alpha_k(t_k) - x_k)^T B_k (\alpha_k(t_k) - x_k).$$

Como  $\|B_k\| \leq M$ ,  $\forall k \in \mathbb{N}$ , segue que

$$\Psi_k(\bar{s}_k) \leq \Psi_k(\alpha_k(t_k) - x_k) \leq g_k^T (\alpha_k(t_k) - x_k) + \frac{M}{2} \|\alpha_k(t_k) - x_k\|^2.$$

$$\text{Logo } \frac{\Psi_k(\bar{s}_k)}{t_k} \leq g_k^T \frac{(\alpha_k(t_k) - \alpha_k(0))}{t_k} + \frac{M}{2t_k} \|\alpha_k(t_k) - \alpha_k(0)\|^2.$$

Aplicando o teorema do valor médio em cada componente de  $\alpha_k(t_k) - \alpha_k(0)$  temos que:

$$\frac{\Psi_k(\bar{s}_k)}{t_k} \leq \epsilon_k^t v_k + M \|v_k\|^2 t_k, \quad v_k = \begin{bmatrix} (\alpha_k^1)'(\xi_k^1) \\ \vdots \\ (\alpha_k^n)'(\xi_k^n) \end{bmatrix},$$

$$0 \leq \xi_k^i \leq t_k, \quad i = 1, \dots, n.$$

$$\text{Logo } \lim_{\substack{k \in K_2 \\ k \rightarrow \infty}} \frac{\Psi_k(\bar{s}_k)}{t_k} \leq \epsilon_*^t \alpha'(0) < 0.$$

$$\text{Então } \frac{\Psi_k(\bar{s}_k)}{t_k} \leq \frac{\epsilon_*^t \alpha'(0)}{2} = a < 0 \text{ para } \forall k \in K_1, k \geq k_2 \geq k_1$$

$$\text{e } \left| \frac{\Psi_k(\bar{s}_k)}{t_k} \right| \geq |a| \Rightarrow \frac{1}{\left| \frac{\Psi_k(\bar{s}_k)}{t_k} \right|} \leq \frac{1}{|a|}, \quad \forall k \in K_1, k \geq k_2.$$

Agora,

$$\bar{\rho}_k = \frac{f(x_k + \bar{s}_k) - f(x_k)}{\Psi_k(\bar{s}_k)} = 1 + \frac{f(x_k + \bar{s}_k) - f(x_k) - \Psi_k(\bar{s}_k)}{\Psi_k(\bar{s}_k)}$$

$$\text{Mas } |f(x_k + \bar{s}_k) - f(x_k) - \Psi_k(\bar{s}_k)| =$$

$$= |f(x_k + \bar{s}_k) - f(x_k) - \epsilon_k^t \bar{s}_k - \frac{1}{2} \bar{s}_k^t B_k \bar{s}_k| \leq$$

$$|f(x_k + \bar{s}_k) - f(x_k) - \epsilon_k^t \bar{s}_k| + \frac{1}{2} |\bar{s}_k^t B_k \bar{s}_k| \leq L \|\bar{s}_k\|^2 + \frac{1}{2} \|B_k\| \|\bar{s}_k\|^2 \leq$$

$$\leq (L + \frac{M}{2}) \|\bar{s}_k\|^2, \quad \text{onde } L \text{ é a constante de Lipschitz para } \nabla f \text{ e usamos o fato de que } \|B_k\| \leq M, \quad \forall k \in \mathbb{N}.$$

Dessa forma, temos:

$$|f(x_k + \bar{s}_k) - f(x_k) - \Psi_k(\bar{s}_k)| \leq \left( \frac{2L + M}{2} \right) \|\bar{s}_k\|^2.$$

Assim, para  $k \in K_1, k \geq k_2$  temos:

$$|\bar{\rho}_k - 1| = \left| \frac{f(x_k + \bar{s}_k) - f(x_k) - \Psi_k(\bar{s}_k)}{\Psi_k(\bar{s}_k)} \right| \leq \left| \frac{\frac{2L+M}{2} \frac{\|\bar{s}_k\|^2}{t_k}}{\left| \frac{\Psi_k(\bar{s}_k)}{t_k} \right|} \right| \leq \left( \frac{2L+M}{2|a|} \right) \frac{\|\bar{s}_k\|^2}{t_k} \xrightarrow[k \in K_2]{} 0.$$

Portanto,  $\lim_{k \in K_1} \bar{\rho}_k = 1$ , contradizendo o fato de que  $\bar{\rho}_k \leq 10^{-4}$  para  $\forall k \in K_1$ .

Logo,  $x^*$  satisfaz a CNI para (2.1).

Consideremos agora o caso (ii):  $\inf_{k \in K} \Delta_k > 0$

Seja  $K_1 \subseteq K$  tal que  $\lim_{k \in K_1} B_k$  existe. Chamemos  $B = \lim_{k \in K_1} B_k$ .

Seja  $K_2 \subseteq K_1$  tal que  $\lim_{k \in K_2} x_k$  existe. Então  $x^* = \lim_{k \in K_2} x_k$ .

Temos  $f(x_{k+1}) < f(x_k) + 10^{-4} |\Psi_k(s_k)|$ ,  $\forall k \in K_2$ .

Então  $|\Psi_k(s_k)| > 10^4 (f(x_{k+1}) - f(x_k))$ ,  $\forall k \in K_2$

e  $|\Psi_k(s_k)| < 10^4 (f(x_k) - f(x_{k+1}))$ ,  $\forall k \in K_2$ .

Agora,  $f(x_k) - f(x_{k+1}) \longrightarrow 0$  (pois caso contrário,

$f(x_k) \longrightarrow -\infty$ , portanto  $\lim_{k \in K_2} \Psi_k(s_k) = 0$ .

Vamos agora definir  $\Psi_*(s) = s^T g_* + \frac{1}{2} s^T B s$ .

Como  $\inf_{k \in K} \Delta_k > 0$ , temos  $\Delta_k \geq \Delta > 0$ ,  $\forall k \in K_2$

Seja  $\tilde{s}$  solução do problema

$$\begin{aligned} & \text{minimizar } \Psi_*(s) \\ & \text{s/a } x^* + s \in B \\ & \|s\| \leq \Delta/2 \end{aligned}$$

(2.5)

Existe  $\tilde{k}$  tal que para  $k \geq \tilde{k}$ ,  $k \in \mathbb{K}_2$ , temos  $\|x^* - x_k\| \leq \Delta/2$

Definindo  $\bar{x} = x^* + \bar{s}$ , temos:

$\|\bar{x} - x_k\| = \|x^* + \bar{s} - x_k\| \leq \|x^* - x_k\| + \|\bar{s}\| \leq \Delta \leq \Delta_k$ ,  $k \in \mathbb{K}_2$ ,  $k \geq \tilde{k}$ , ou seja,  $\|\bar{x} - x_k\| \leq \Delta_k$  e como  $\bar{x} = x^* + \bar{s} \in B$ , segue que  $\bar{x} - x_k$  é factível para o subproblema (2.2) e então  $\Psi_k(\bar{x} - x_k) \geq \Psi_k(s_k)$ .

Agora, no limite para  $k \in \mathbb{K}_2$  temos  $s_k \rightarrow s_*$ ,  $B_k \rightarrow B$ ,  $\Psi_k(s_k) \rightarrow 0$  e  $\bar{x} - x_k \rightarrow \bar{s}$ . Logo  $\Psi_*(\bar{s}) \geq \Psi_*(0) = 0$ . Portanto  $s = 0$  minimiza (2.5), valendo a CN1 para (2.5). Ou seja, para todo arco factível  $\omega$  ( $\omega(0) = 0$ ) tem-se  $\nabla \Psi_*^t(0) \frac{d\omega}{dt}(0) \geq 0$ . Chamando  $w(t) = \alpha(t) - x^*$ , como  $\nabla \Psi_*(0) = s_*$  e  $\frac{dw}{dt}(t) = \frac{d\alpha}{dt}(t)$ , então para todo  $\alpha$  arco factível para (2.1) ( $\alpha(0) = x^*$ ) teremos  $\epsilon_*^t \alpha'(0) \geq 0$ . Ou seja, vale a CN1 para (2.1) ■

#### Teorema 2.14 (BOA DEFINIÇÃO - algoritmo II - CN2)

Supondo que  $f \in C^2(A)$ ,  $A$  aberto,  $A \supset B$  e que  $\nabla^2 f$  é Lipschitz contínua em  $A$ , seja  $\{x_k\}_{k \in \mathbb{N}}$  a sequência gerada pelo algoritmo II, com  $B_k \equiv \nabla^2 f(x_k)$ ,  $\forall k \in \mathbb{N}$ .

Se  $x_k$  não satisfaz a CN2, então é possível obter  $x_{k+1}$ .

Prova:

Análoga à do teorema 2.10. ■

#### Teorema 2.15 (CONVERGÊNCIA GLOBAL - algoritmo II - CN2)

Supondo que  $f \in C^2(A)$ ,  $A$  aberto,  $A \supset B$  e que  $\nabla^2 f$  é Lipschitz

contínua em  $\mathbb{A}$ , seja  $\{x_k\}_{k \in \mathbb{N}}$  a sequência gerada pelo algoritmo II.

Se  $B_k = \nabla^2 f(x_k)$ ,  $\forall k \in \mathbb{N}$  e  $\lim_{k \rightarrow K} x_k = x^*$ ,  $K \in \mathbb{N}$

então  $x^*$  satisfaz a CN2 para (2.1).

Prova:

Segue combinando-se os argumentos das provas dos teoremas  
2.11 e 2.13. ■

## CAPÍTULO 3

### MÉTODOS DE REGIÃO DE CONFIANÇA PARA MINIMIZAÇÃO EM BOLAS EUCLIDIANAS

#### 3.1 O SUBPROBLEMA

Considerando os algoritmos I e II, o subproblema (2.2) não é sempre fácil de resolver, pois sua região admissível é a interseção de uma bola com um conjunto arbitrário. Para algumas formas de  $B$ , no entanto, estes algoritmos tornam-se implementáveis. Quando  $B$  é uma bola euclidiana (ou uma esfera, ou o complemento de uma bola, etc), (2.2) pode ser resolvido usando-se a caracterização de minimizadores locais de Martínez [ 11 ]. Outro caso implementável ocorre quando  $B$  é um polítopo e as regiões de confiança são paralelepípedos. Neste capítulo analisamos os aspectos teóricos do caso em que  $B$  é uma bola euclidiana, e então (2.2) reduz-se a minimizar uma quadrática na interseção de duas bolas:

$$\left[ \begin{array}{l} \text{minimizar } \Psi_k(s) = s^t \epsilon_k + \frac{1}{2} s^t B_k s \\ \text{s/a } \| x_k + s \| \leq r \\ \| s \| \leq \Delta_k, s \in \mathbb{R}^n \end{array} \right] \quad (3.1)$$

O conjunto factível descrito pelas restrições de (3.1) pode ser dividido em quatro regiões :

$$R_1 = \left\{ s \in \mathbb{R}^n : \| s \| < \Delta_k, \| x_k + s \| < r \right\}$$

$$R_2 = \left\{ s \in \mathbb{R}^n : \| s \| = \Delta_k, \| x_k + s \| < r \right\}$$

$$R_3 = \left\{ s \in \mathbb{R}^n : \| s \| < \Delta_k, \| x_k + s \| = r \right\}$$

$$R_4 = \left\{ s \in \mathbb{R}^n : \| s \| = \Delta_k, \| x_k + s \| = r \right\}$$

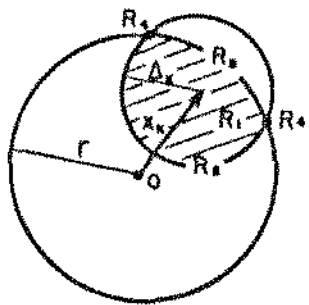


figura 3.1

Chamando de  $\hat{s}$  um minimizador global do subproblema (3.1), podemos provar que:

A) Se  $\hat{s} \in R_1$ , então  $\hat{s}$  é minimizador global de

$$\min \Psi_k(s) \quad s/a \quad s \in \mathbb{R}^n \rightarrow B_k \hat{s} + \epsilon_k = 0$$

B) Se  $\hat{s} \in R_2$ , então  $\hat{s}$  é minimizador local de

$$\min \Psi_k(s) \quad s/a \quad \|s\| = \Delta_k$$

C) Se  $\hat{s} \in R_3$ , então  $\hat{s}$  é minimizador local de

$$\min \Psi_k(s) \quad s/a \quad \|x_k + s\| = r$$

D) Se  $\hat{s} \in R_4$ , então  $\hat{s}$  é minimizador global de

$$\min \Psi_k(s) \quad s/a \quad \|s\| = \Delta_k, \quad \|x_k + s\| = r$$

Com base na partição determinada pelas regiões  $R_1$ ,  $R_2$ ,  $R_3$  e  $R_4$ , e considerando ainda as possíveis localizações para  $\hat{s}$ , estabelecemos o seguinte algoritmo para resolução do subproblema (3.1):

### 3.2 ALGORITMO III

1) Resolver  $\min \Psi_k(s) \quad s/a = c \in \mathbb{R}^n$ , obtendo SI.

Se SI é factível, i.e.,  $\| SI \| \leq \Delta_k$  e  $\| x_k + SI \| \leq r$ , FIM

Senão,

2) resolver  $\min \Psi_k(s) \quad s/a \| s \| = \Delta_k$ , obtendo SGEC.

Se SGEC é factível, guardar.

Senão, resolver

$\min \text{loc } \Psi_k(s) \quad s/a \| s \| = \Delta_k$ , obtendo SLEC.

Se SLEC é factível, guardar.

3) Resolver  $\min \Psi_k(s) \quad s/a \| x_k + s \| = r$ , obtendo SGEP.

Se SGEP é factível, guardar.

Senão, resolver

$\min \text{loc } \Psi_k(s) \quad s/a \| x_k + s \| = r$ , obtendo SLEP.

Se SLEP é factível, guardar.

4) Se nem SGEC nem SGEP forem factíveis, resolver

$\min \Psi_k(s) \quad s/a \| s \| = \Delta_k, \| x_k + s \| = r$ , obtendo SG2E

5) Comparar o valor de  $\Psi_k$  nas soluções guardadas e decidir qual a solução global do subproblema (3.1)

OBS: SI: solução irrestrita

SSEC: solução global na esfera de confiança

SLEC: solução local na esfera de confiança

SSEP: solução global na esfera do problema

SLEP: solução local na esfera do problema

SG2E: solução global nas duas esferas

### 3.3 ANÁLISE DO ALGORITMO III

Observamos inicialmente que o problema irrestrito do passo 1 tem sentido apenas quando  $\Psi_k(s)$  for convexa ( $B_k \geq 0$ ). Com relação aos problemas dos passos 2 e 3, podemos tratá-los como variantes de

$$\min \Psi_k(s) \quad s/a \parallel s + v \parallel = R \quad (3.2)$$

$$\text{e de } \min \text{loc } \Psi_k(s) \quad s/a \parallel s + v \parallel = R \quad (3.3)$$

que para serem resolvidos requerem algoritmos eficientes para minimizar quadráticas em esferas, tanto global quanto localmente. Para o problema do passo 4, onde a interseção das duas esferas é uma esfera de dimensão  $n-2$ , basta fazer uma mudança de variáveis adequada para recair no formato (3.2) acima, com  $s \in \mathbb{R}^{n-1}$ .

#### 3.3.1 Minimizadores globais de quadráticas em esferas

Vamos analisar o problema (3.2), que é equivalente a :

$$\min \Psi_k(s) \quad s/a (s + v)^t (s + v) = R^2 \quad (3.2.1)$$

Substituímos a resolução de (3.2.1) pela determinação da direção  $s$  e do multiplicador  $\mu$  que zerem o gradiente do Lagrangeano associado a (3.2.1). Desta forma, queremos encontrar  $s \in \mathbb{R}^n$  e  $\mu \in \mathbb{R}$  tais que

$$\nabla L = B_k s + \epsilon_k + \mu (s + v) = 0 \quad (3.2.2)$$

Fazendo a mudança de variáveis  $x = s + v$  (3.2.3), temos:

$$B_k(z - v) + g_k + \mu z = 0 \Rightarrow (B_k + \mu I)z = B_k v - g_k$$

$$\Rightarrow z = (B_k + \mu I)^+ (B_k v - g_k) \quad (3.2.4)$$

onde  $+$  indica a pseudo-inversa de Moore-Penrose.

Sendo  $B_k$  uma matriz simétrica, tomemos sua decomposição espectral  $B_k = Q_k D_k Q_k^t$  (3.2.5), onde  $Q_k Q_k^t = Q_k^t Q_k = I_n$  e

$D_k = \text{diag}(\lambda_1, \dots, \lambda_n)$ , com  $\lambda_1 \leq \dots \leq \lambda_n$ . Na notação de vetores coluna,  $Q_k = (q_1, \dots, q_n)$ ,  $q_i \in \mathbb{R}^n$ ,  $i = 1, \dots, n$ .

Substituindo (3.2.5) em (3.2.4) :

$$\begin{aligned} z &= (Q_k D_k Q_k^t + \mu Q_k Q_k^t)^+ (Q_k D_k Q_k^t v - g_k) \\ &\Rightarrow z = [Q_k (D_k + \mu I) Q_k^t]^+ (Q_k D_k Q_k^t v - g_k) \\ &\Rightarrow z = Q_k (D_k + \mu I)^+ Q_k^t (Q_k D_k Q_k^t v - g_k) \\ &\Rightarrow z = Q_k (D_k + \mu I)^+ (D_k Q_k^t v - Q_k^t g_k) \end{aligned} \quad (3.2.6)$$

Chamando  $Q_k^t v = u$  (3.2.7) e  $Q_k^t g_k = c$  (3.2.8) :

$$z = Q_k (D_k + \mu I)^+ (D_k u - c) \quad (3.2.9)$$

Tomemos o quadrado da norma euclidiana de  $z$ , que estabelece a função  $\varphi : \mathbb{R} \rightarrow \mathbb{R}^+$  :

$$\|z\|^2 = \| (D_k + \mu I)^+ (D_k u - c) \|^2 = \varphi(\mu) \quad (3.2.10)$$

Desta forma, a resolução do sistema não linear (3.2.2) recai na determinação de zero da função real  $\varphi(\mu) = R^2$  (3.2.11)

De acordo com a caracterização de Gay [ 3 ] e Moré - Sorensen [ 16 ], se  $\mu \geq -\lambda_1$ , então a direção  $z = s + v$  correspondente é um minimizador global de (3.2). Se  $B_k v - g_k \in S_i^\perp$ , onde  $S_i$  é o autoespaço

associado ao menor autovalor de  $B_k$ , ou se  $\varphi(-\lambda_1) > R^2$ , existe uma única solução (3.2.9) para  $\mu \in [-\lambda_1, \omega)$  e neste caso,  $\mu > -\lambda_1$ . Agora, se  $B_k v - \varepsilon_k \in S_1^\perp$  e  $\varphi(-\lambda_1) \leq R^2$ , então (3.2.9) é satisfeita para  $\mu = -\lambda_1$ , para toda direção  $z$  tal que  $\|z\| = R$  e  $z$  pertença à variedade linear:

$$V = \left\{ y \in \mathbb{R}^n : y = (B_k - \lambda_1 I)^+ (B_k v - \varepsilon_k) + \sum_{j=1}^{\dim S_1} \alpha_j q_j \right\},$$

onde  $\dim S_1$  é a dimensão de  $S_1$ . Este caso é conhecido como "hard-case", devido à não trivialidade computacional envolvida e será tratado com detalhes na seção 3.4 deste capítulo.

Uma outra maneira de escrever a função  $\varphi(\mu)$ , que ressalta sua estrutura racional é:

$$\varphi(\mu) = \sum_{i \in I} \left( \frac{\alpha_i u_i - c_i}{\alpha_i + \mu} \right)^2 \quad (3.2.12)$$

onde  $I = \{i \in \{1, \dots, n\}, c_i \neq \alpha_i u_i\}$ ,  $u_i = q_i^t v$  e  $c_i = q_i^t \varepsilon_k$ .

Temos então que:

$$\varphi'(\mu) = -2 \sum_{i \in I} \frac{\alpha_i u_i - c_i}{(\alpha_i + \mu)^2} \quad (3.2.13)$$

$$\text{e } \varphi''(\mu) = 6 \sum_{i \in I} \frac{\alpha_i u_i - c_i}{(\alpha_i + \mu)^4} \quad (3.2.14)$$

Usando-se (3.2.5), (3.2.12)-(3.2.14), estabelece-se facilmente as seguintes propriedades para  $\varphi(\mu)$ , conforme apresenta Martínez [11]:

(a) Seja  $\Omega = \mathbb{R} - \{-\lambda_i, i \in I\}$ .  $\varphi$  está bem definida para todo  $\mu \in \Omega$  e  $\varphi \in C^\infty(\Omega)$ .

(b)  $\varphi''(\mu) \geq 0$  para todo  $\mu \in \Omega$ . Em consequência,  $\varphi$  é

convexa em qualquer intervalo contido em  $\Omega$ .

(c) Se  $i \in I$ , ou seja, para  $i$  tal que  $- \lambda_i \in \Omega$ , temos

$$\lim_{\mu \rightarrow -\lambda_i^-} \varphi(\mu) = \infty ; \quad \lim_{\mu \rightarrow -\lambda_i^+} \varphi'(\mu) = -\infty \Rightarrow \lim_{\mu \rightarrow -\lambda_i^+} \varphi''(\mu) = \infty$$

$$(d) \quad \lim_{\mu \rightarrow \infty} \varphi(\mu) = \lim_{\mu \rightarrow -\infty} \varphi(\mu) = 0$$

Devido aos pólos que  $\varphi(\mu)$  apresenta no conjunto  $\{-\lambda_i, i \in I\}$ , Reinsch [ 20 ] e Hebden [ 7 ] sugerem que ao invés de resolver a equação (3.2.11), utilize-se

$$\frac{1}{\Phi(\mu)} = \frac{1}{R} \quad (3.2.15)$$

$\Phi(\mu) = [\varphi(\mu)]^{1/2}$ , para contornar possíveis instabilidades numéricas.

Reinsch estabeleceu as seguintes propriedades para  $\frac{1}{\Phi(\mu)}$ :

- (a)  $\frac{1}{\Phi(\mu)}$  está bem definida para todo  $\mu \in \mathbb{R}$
- (b)  $\frac{1}{\Phi(\mu)}$  é estritamente crescente em  $[-\lambda_1, \infty)$
- (c)  $\frac{1}{\Phi(\mu)}$  é côncava em  $[-\lambda_1, \infty)$

Na figura 3.2, extraída de [ 16 ], podemos visualizar, de modo comparativo, as propriedades de  $\Phi(\mu)$  e  $\frac{1}{\Phi(\mu)}$ .

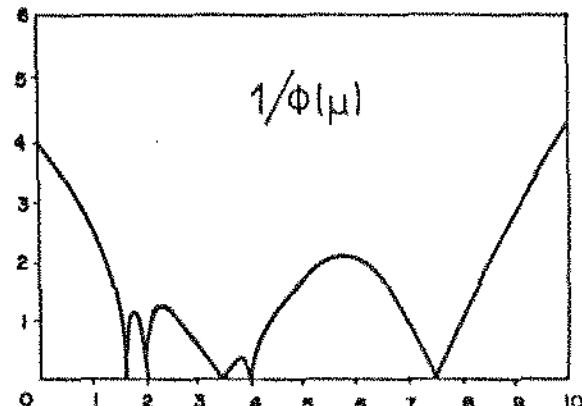
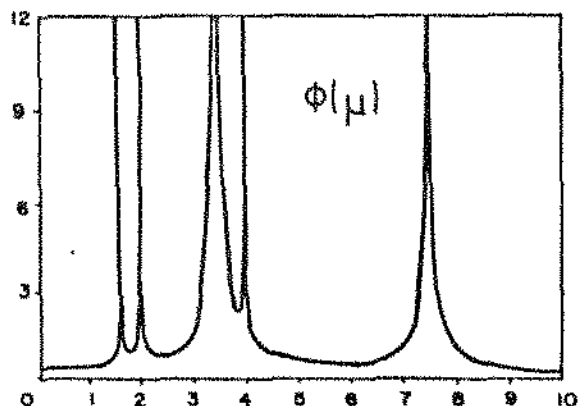


figura 3.2

Pelas características de  $\frac{1}{\Phi(\mu)}$ , que além de não possuir pólos, tende a ser quase linear em  $[-\lambda_1, \infty)$ , temos não só garantia de convergência global do método de Newton aplicado à equação (3.2.15), como também um desempenho computacional bastante satisfatório para este método. Usaremos, portanto, o seguinte esquema iterativo:

$$\mu_{k+1} = \mu_k - \frac{\frac{1}{\Phi(\mu_k)} - \frac{1}{R}}{\left[ \frac{1}{\Phi(\mu_k)} - \frac{1}{R} \right]}, \quad \Rightarrow \quad \mu_{k+1} = \mu_k + \frac{R - \Phi(\mu_k) \Phi'(\mu_k)}{\Phi'(\mu_k)^2}$$
(3.2.16)

onde  $\Phi(\mu) = \left[ \sum_{i \in I} \left( \frac{\alpha_i u_i - c_i}{\alpha_i + \mu} \right)^2 \right]^{1/2}$

(3.2.17)

e  $\Phi'(\mu) = \frac{-\sum_{i \in I} \frac{(\alpha_i u_i - c_i)^2}{(\alpha_i + \mu)^3}}{\Phi(\mu)}$

(3.2.18)

A medida que  $\Phi(\mu)$  se aproxima de R, (3.2.16) comporta-se como o método de Newton aplicado a  $\Phi(\mu) = R$ , com convergência local q-quadrática para  $\mu^*$  (conforme [1], p.136).

Sendo  $\frac{1}{\Phi(\mu)}$  uma função côncava em  $[-\lambda_1, \infty)$ , o ponto inicial  $\mu_0$  deve ser tal que  $\frac{1}{\Phi(\mu_0)} < \frac{1}{R}$ , e pode ser obtido por redução do intervalo  $[-\lambda_1, -\lambda_1 + 0.5]$ .

Assim, pela resolução de (3.2.15) usando-se (3.2.16), uma vez encontrado o multiplicador  $\mu$  correspondente à solução global, voltamos a (3.2.9) e (3.2.3), obtendo o minimizador global do

problema (3.2):

$$s = Q_k D_k + \mu D^+ (D_k u - c) - v \quad (3.2.19)$$

com  $u$  e  $c$  dados por (3.2.7) e (3.2.8), respectivamente.

### 3.3.2 Minimizadores locais de quadráticas em esferas

Vamos agora analisar o problema (3.3), onde queremos encontrar minimizador local não global. Martínez [ 11 ] apresenta uma teoria para resolver este tipo de problema, que resumiremos no que se segue.

Pela mudança de variáveis (3.2.3), o problema (3.3) pode ser reescrito de modo equivalente como:

$$\begin{aligned} \min_{\text{loc}} \bar{\Psi}_k(z) &= g_k^t (z - v) + \frac{1}{2} (z - v)^t B_k (z - v) \\ \text{s/a } z^t z &= R^2 \end{aligned} \quad (3.3.1)$$

Segundo a teoria clássica dos multiplicadores de Lagrange, se  $z^*$  é um minimizador local de (3.3.1), então

$$\begin{aligned} &\left[ \begin{array}{l} B_k(z^* - v) + g_k + \mu z^* = 0 \\ \| z^* \| = R^2 \end{array} \right] \\ \rightarrow &\left[ \begin{array}{l} (B_k + \mu I)z^* = B_k v - g_k \\ \| z^* \| = R^2 \end{array} \right] \quad \text{para algum } \mu \in \mathbb{R} \quad (3.3.2) \end{aligned}$$

Martínez caracteriza as soluções de (3.3.1) nos seguintes resultados:

#### Teorema 3.1

"Se  $z^*$  é um minimizador local de (3.3.1), então (3.3.2) vale com  $\mu > -\lambda_2$ ."

### Teorema 3.2

(i) "Se  $\lambda_1 u_1 = c_1$ , isto é, se  $(B_k v - \epsilon_k) \in S_i^{\perp}$ , então não existem minimizadores locais para (3.3.1) com  $\mu \in [-\lambda_2, -\lambda_1]$ ."

(ii) "Existe no máximo um minimizador local para (3.3.1) com  $\mu \in (-\lambda_2, -\lambda_1)$ . Para este minimizador,  $\varphi(\mu)$  está bem definida e  $\varphi'(\mu) \geq 0$ ."

(iii) "Se  $(z^*, \mu)$  satisfaz (3.3.2) com  $\mu \in (-\lambda_2, -\lambda_1)$  e  $\varphi'(\mu) > 0$ , então  $z^*$  é um minimizador local estrito para (3.3.1)."

Cabe observar que se  $\lambda_2 = \lambda_1$ , a teoria de Moré - Sorensen e Gay , aliada ao teorema 3.2 de Martínez mostra que não existem minimizadores locais para (3.3.1). Isto justifica a hipótese de dimensão um para  $S_1$  feita no teorema 3.2.

O algoritmo IV a seguir, para calcular o minimizador local não global do problema (3.3.1) foi introduzido por Martínez [ 11 ]. Pressupõe o conhecimento de  $(z_g, \mu_g)$ , solução global de (3.3.2) . Se  $\mu_g = -\lambda_1$ , isto é, se  $B_k + \mu_g I$  é singular, então  $\lambda_1 u_1 = c_1$  e pelo teorema 3.2 sabemos que não existem minimizadores locais não globais para (3.3.1). Podemos então assumir que  $\mu_g > -\lambda_1$ . Este algoritmo comprehende duas fases. Na primeira busca-se  $\mu$  tal que  $\varphi(\mu) \geq R^2$  e  $\varphi'(\mu) \geq 0$  e na segunda, o objetivo é encontrar  $\mu$  tal que  $\varphi(\mu) = R^2$  e  $\varphi'(\mu) \geq 0$ .

#### 3.3.2.1 Algoritmo IV

##### fase 1:

- 0) Sejam  $\mu_0 < -\lambda_1$  ( $B_k + \mu_0 I$  não é semi-positiva definida),  
 $k = 0$  , tomar  $\alpha_1, \alpha_2 \in (0,1)$ ,  $\alpha_1 < \alpha_2$  e  $\mu_0^u = \mu_g$

- 1) Calcular  $\varphi(\mu_k)$  e  $\varphi'(\mu_k)$ .  
 2) Se  $\varphi(\mu_k) \geq R^2$  e  $\varphi'(\mu_k) \geq 0$ , fim da fase 1  
 3) Escolher  $\tilde{\mu} \in [\mu_k + \alpha_1 (\mu_k^u - \mu_k), \mu_k + \alpha_2 (\mu_k^u - \mu_k)]$   
 4) Se  $B_k + \tilde{\mu} I \geq 0$  (i.e.  $\tilde{\mu} \geq -\lambda_1$ )  
     então definir  $\mu_{k+1} = \mu_k$   
          $\mu_{k+1}^u = \tilde{\mu}$   
     senão definir  $\mu_{k+1} = \tilde{\mu}$   
          $\mu_{k+1}^u = \mu_k^u$   
 5)  $k = k + 1$ , ir para 1
- fase 2:
- 0)  $\mu_k^l = \mu_{k-1}$  ( $\varphi(\mu_k^l) < R^2$  ou  $\varphi'(\mu_k^l) < 0$ )  
 1) Se  $\varphi(\mu_k) = R^2$  e  $\varphi'(\mu_k) \geq 0$ , fim  
 2) Calcular  $\mu_k^n = \mu_k - \frac{\varphi(\mu_k) - R^2}{\varphi'(\mu_k)}$   
     Se  $\mu_k^n < \mu_k^l$ , parar  
 3) Escolher  $\tilde{\mu} \in [\mu_k^l + \alpha_1 (\mu_k^u - \mu_k^l), \mu_k^l + \alpha_2 (\mu_k^u - \mu_k^l)]$   
 4) Se  $\varphi(\tilde{\mu}) \geq R^2$  e  $\varphi'(\tilde{\mu}) \geq 0$   
     então definir  $\mu_{k+1} = \tilde{\mu}$   
          $\mu_{k+1}^l = \mu_k^l$   
     senão definir  $\mu_{k+1} = \mu_k$   
          $\mu_{k+1}^l = \tilde{\mu}$   
 5)  $k = k + 1$ , ir para 1

Os resultados teóricos de convergência para o algoritmo IV são os seguintes:

### Teorema 3.3

"A fase 1 do algoritmo IV termina num número finito de passos, gerando  $\mu_k$  tal que  $\varphi(\mu_k) \geq R^2$  e  $\varphi'(\mu_k) \geq 0$  ou então gera uma sequência infinita tal que  $\lim_{k \rightarrow \infty} \mu_k = -\lambda_1$ . Neste caso,  $\lim_{k \rightarrow \infty} \mu_k^u = -\lambda_1$  e  $\lambda_1 u_i = c_1$ ."

Prova: Ver I 11 1. ■

### Teorema 3.4

Assumindo que no algoritmo IV,  $\mu_0$  é escolhido no intervalo  $(-\lambda_2, -\lambda_1)$  e que a fase 1 termina após um número finito K de iterações, temos:

(i) "Se a fase 2 do algoritmo IV termina no passo 2, então não existe minimizador local não global para (3.3.1)."

(ii) "Se a fase 2 do algoritmo IV define uma sequência infinita  $\mu_k$ , então existe  $\mu^* \in (-\lambda_2, -\lambda_1)$  tal que  $\lim_{k \rightarrow \infty} \mu_k = \lim_{k \rightarrow \infty} \mu_k^u = \mu^*$ ;  $\varphi(\mu^*) \geq R^2$ ;  $\varphi'(\mu^*) \geq 0$  e  $\varphi(\mu^*) = R^2$  ou  $\varphi'(\mu^*) = 0$ ."

(iii) "Se  $\varphi(\mu^*) > R^2$  e  $\varphi'(\mu^*) = 0$ , não existe minimizador local não global para (3.3.1). Se  $\varphi(\mu^*) = R^2$  e  $\varphi'(\mu^*) > 0$ , então  $\mu^*$  define o minimizador local não global de (3.3.1):

$$z^* = (B_k + \mu^* I)^+ (B_k v - g_k).$$

Prova: Ver I 11 1. ■

Desta forma, uma vez obtido o par  $(z^*, \mu^*)$ , solução local não

global para (3.3.1), basta fazermos  $s^* = z^* - v$  e então  $(s^*, \mu^*)$  é a solução local não global para o problema (3.3).

Pela figura 3.3 podemos ter uma ideia geométrica do funcionamento do algoritmo de Martínez:

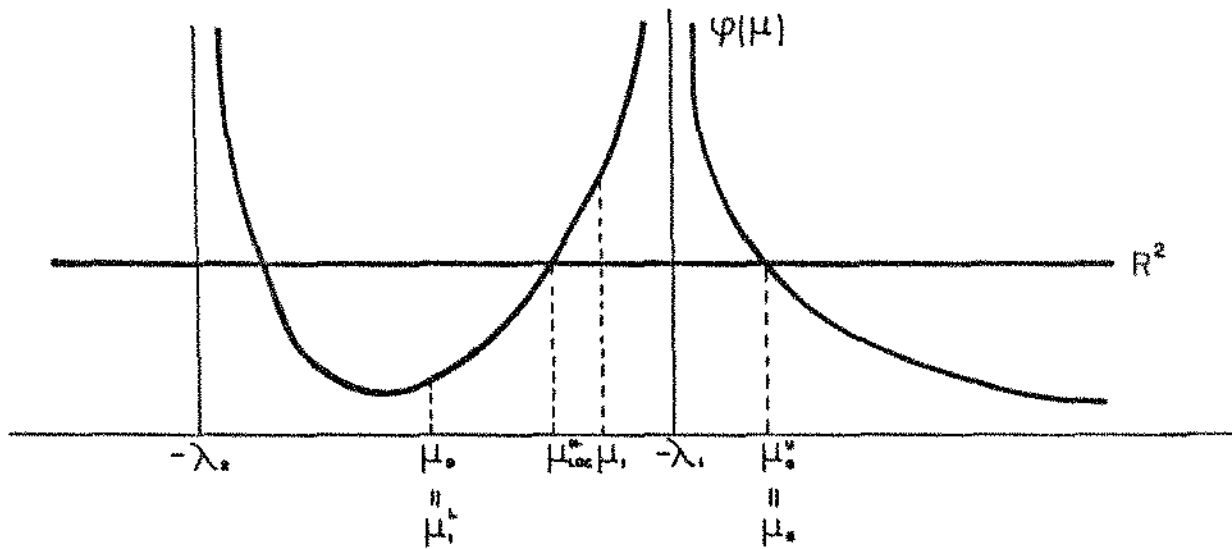


figura 3.3 -Na fase 1, pela redução do intervalo  $[\mu_0, \mu_0^u]$ , busca-se um ponto  $\mu_k$  tal que  $\varphi(\mu_k) \geq R^2$  e  $\varphi'(\mu_k) \geq 0$ , o que ocorre nesta figura para  $\mu_k = \mu_1$ . Passa-se então para a fase 2, onde, pela redução do intervalo inicial  $[\mu_1^l, \mu_1^u]$ , busca-se isolar o ponto  $\mu_k$  tal que  $\varphi(\mu_k) = R^2$  e  $\varphi'(\mu_k) \geq 0$ .

### 3.3.3 Minimizadores de quadráticas em esferas (n-2) dimensionais

Trataremos agora da mudança de variáveis que permite reduzir o problema do passo 4 do algoritmo III ao formato (3.2) já analisado. Queremos resolver o problema:

$$\min \Psi_k(s) \quad s/a \| s \| = \Delta_k, \quad \| x_k + s \| = r \quad (3.4)$$

Suponhamos que  $x_k \neq 0$  e consideremos a família de direções

$$\mathcal{S} = \left\{ s \in \mathbb{R}^n : \|s\| = \Delta_k, \|x_k + s\| = r \right\} \quad (3.4.1),$$

o escalar  $\alpha \in \mathbb{R}$  tal que

$$\alpha = \frac{r^2 - \Delta_k^2}{2 \|x_k\|} + \frac{\|x_k\|}{2} \quad (3.4.2),$$

o vetor

$$c = \frac{\alpha}{\|x_k\|} x_k \quad (3.4.3)$$

e o hiperplano

$$\mathcal{H} = \left\{ w \in \mathbb{R}^n : x_k^t (w - c) = 0 \right\} \quad (3.4.4).$$

Vamos mostrar que para  $s \in \mathcal{S}$ , temos  $x_k + s \in \mathcal{H}$  e que  $\mathcal{S}$  define o lugar geométrico dos pontos equidistantes a  $c$ .

De fato, para  $s \in \mathcal{S}$  temos

$$s^t s = \Delta_k^2 \quad (3.4.5) \quad e$$

$$(x_k + s)^t (x_k + s) = r^2 \quad (3.4.6).$$

Por (3.4.6) temos que  $x_k^t x_k + 2 s^t x_k + s^t s = r^2$ .

Substituindo (3.4.5) e rearranjando:

$$s^t x_k = \frac{r^2 - \Delta_k^2 - x_k^t x_k}{2}$$

Somando  $x_k^t x_k$  em ambos os membros:

$$x_k^t (s + x_k) = \frac{r^2 - \Delta_k^2 + x_k^t x_k}{2} = \left( \frac{r^2 - \Delta_k^2}{2 \|x_k\|} + \frac{\|x_k\|}{2} \right) \|x_k\|$$

$$\Rightarrow x_k^t (s + x_k) = \alpha \|x_k\| = \frac{\alpha x_k^t x_k}{\|x_k\|} = c^t x_k$$

Logo  $x_k^t (s + x_k - c) = 0$  e portanto  $x_k + s \in \mathcal{H}$  quando  $s \in \mathcal{S}$ .

Vejamos agora que a distância de  $c$  a  $\mathcal{Y}$  é constante.

$$d^2(c, \mathcal{Y}) = \inf_{s \in \mathcal{Y}} d^2(c, x_k + s)$$

Seja uma direção arbitrária  $p \in \mathcal{Y}$

$$\begin{aligned} d^2(c, x_k + p) &= \|c - (x_k + p)\|^2 = (c - x_k - p)^t(c - x_k - p) = \\ &= c^t(c - x_k - p) - x_k^t(c - x_k - p) - p^t(c - x_k - p) = \\ &= c^t c - c^t x_k - c^t p - p^t c + p^t x_k + p^t p = \\ &= c^t c + p^t p - 2 c^t p - c^t x_k + p^t x_k = \\ &= \alpha^2 + \Delta_k^2 - \alpha \|x_k\| + p^t x_k \left(1 - \frac{2\alpha}{\|x_k\|}\right) \end{aligned}$$

Mas

$$\begin{aligned} p^t x_k &= \frac{r^2 - \Delta_k^2 - x_k^t x_k}{2} = \left( \frac{r^2 - \Delta_k^2 - \|x_k\|^2}{2\|x_k\|} \right) \|x_k\| = \\ &= \left( \frac{r^2 - \Delta_k^2}{2\|x_k\|} + \frac{\|x_k\|}{2} - \|x_k\| \right) \|x_k\| = (\alpha - \|x_k\|) \|x_k\| \\ \Rightarrow d^2(c, x_k + p) &= \alpha^2 + \Delta_k^2 - \alpha \|x_k\| + \|x_k\| (\alpha - \|x_k\|) \left(1 - \frac{2\alpha}{\|x_k\|}\right) = \\ &= \alpha^2 + \Delta_k^2 - \alpha \|x_k\| + \alpha \|x_k\| - \|x_k\|^2 - 2\alpha^2 + 2\alpha \|x_k\| = \\ &= -\alpha^2 + \Delta_k^2 - \|x_k\|^2 + 2\|x_k\| \left( \frac{r^2 - \Delta_k^2}{2\|x_k\|} + \frac{\|x_k\|}{2} \right) = r^2 - \alpha^2, \end{aligned}$$

que é uma constante independente de  $p$ .

Chamando  $r^2 - \alpha^2 = \rho^2$  (3.4.7) e tomando o infímo de

$d^2(c, x_k + p)$ ,  $p \in \mathcal{Y}$ :

$$d^2(c, \mathcal{Y}) = \inf_{p \in \mathcal{Y}} d^2(c, x_k + p) = \inf_{p \in \mathcal{Y}} \rho^2 = \rho^2$$

OBS: Se  $x_k = 0$ ,  $\mathcal{Y} \neq \emptyset$  apenas quando  $r = \Delta_k$  e então o problema (3.4.1)

se reduz diretamente ao formato (3.2).

Consideraremos portanto a seguinte caracterização equivalente para a família  $\mathcal{J}$ :

$$s \in \mathcal{J} \Leftrightarrow \boxed{\begin{array}{l} \|x_k + s - c\| = \rho \\ x_k + s \in \mathcal{X} \end{array}} \quad (3.4.8)$$

onde  $c$ ,  $\mathcal{X}$  e  $\rho$  são dados respectivamente por (3.4.3), (3.4.4) e (3.4.7)

Chamando de  $x_k^\perp$  o subespaço ortogonal a  $x_k$ , seja  $A$  a matriz cujas colunas formam uma base para  $x_k^\perp$  ( $A \in \mathbb{R}^{n \times n-1}$ )

$$\begin{aligned} x_k + s \in \mathcal{X} &\Rightarrow x_k + s - c \in x_k^\perp \\ \Rightarrow x_k + s - c &= A y, \quad y \in \mathbb{R}^{n-1} \end{aligned} \quad (3.4.9)$$

Para obtermos a matriz  $A$ , vamos tomar a transformação de Householder  $H$  tal que  $H \hat{x}_k = e_1$ , onde  $e_1 = (1, 0, \dots, 0) \in \mathbb{R}^n$  e  $\hat{x}_k = \frac{x_k}{\|x_k\|}$  (conforme [ 6 ]). Então  $H = I - \frac{vv^t}{v^tv}$ ,  $v = \hat{x}_k + \text{sgn}(\hat{x}_k(1)) e_1$ . Chamando  $H = (h_{ij})$ ,  $h_i \in \mathbb{R}^n$ ,  $i = 1, \dots, n$ , temos  $\hat{x}_k^t H^t = \hat{x}_k^t H = e_1^t \Rightarrow \hat{x}_k^t h_j = 0$ ,  $j = 2, \dots, n$ . Logo

$$A = (h_{ij}) \quad (3.4.10)$$

$$\begin{aligned} \text{Como } H^t H &= I_n \Rightarrow A^t A = I_{n-1}, \text{ seguindo que } \|A y\|^2 = \\ &= y^t A^t A y = y^t y = \|y\|^2 \end{aligned}$$

Prosseguindo com as equivalências, temos:

$$(3.4.8) \Leftrightarrow \boxed{\begin{array}{l} \|x_k + s - c\| = \rho \\ x_k + s - c = A y \end{array}} \Leftrightarrow \|A y\| = \rho \Leftrightarrow \boxed{\|y\| = \rho} \quad (3.4.11)$$

Tratemos agora da quadrática resultante desta mudança de variáveis:

$$s = A y + c - x_k = A y + \frac{c}{\|x_k\|} x_k - x_k = A y + (\alpha - \|x_k\|) \hat{x}_k$$

$$\Rightarrow \boxed{\mathbf{s} = \mathbf{A}\mathbf{y} + \beta \hat{\mathbf{x}}_k}$$

(3.4.12)

onde  $\beta = \alpha - \|\mathbf{x}_k\|$ ,  $\alpha$  dado por (3.4.2) e  $\hat{\mathbf{x}}_k = \frac{\mathbf{x}_k}{\|\mathbf{x}_k\|}$

$$\text{Tínhamos } \Psi_k(\mathbf{s}) = \mathbf{g}_k^T \mathbf{s} + \frac{1}{2} \mathbf{s}^T \mathbf{B}_k \mathbf{s}$$

Substituindo (3.4.12) :

$$\begin{aligned} \Psi_k(\mathbf{s}) &= \Psi_k(\mathbf{y}) = \mathbf{g}_k^T (\mathbf{A}\mathbf{y} + \beta \hat{\mathbf{x}}_k) + \frac{1}{2} (\mathbf{A}\mathbf{y} + \beta \hat{\mathbf{x}}_k)^T \mathbf{B}_k (\mathbf{A}\mathbf{y} + \beta \hat{\mathbf{x}}_k) = \\ &= \mathbf{g}_k^T \mathbf{A}\mathbf{y} + \beta \mathbf{g}_k^T \hat{\mathbf{x}}_k + \frac{1}{2} \mathbf{y}^T \mathbf{A}^T \mathbf{B}_k \mathbf{A}\mathbf{y} + \beta \hat{\mathbf{x}}_k^T \mathbf{B}_k \mathbf{A}\mathbf{y} + \frac{\beta^2}{2} \hat{\mathbf{x}}_k^T \mathbf{B}_k \hat{\mathbf{x}}_k = \\ &= \Psi_k(\beta \hat{\mathbf{x}}_k) + (\mathbf{g}_k^T + \beta \hat{\mathbf{x}}_k^T \mathbf{B}_k) \mathbf{A}\mathbf{y} + \frac{1}{2} \mathbf{y}^T \mathbf{A}^T \mathbf{B}_k \mathbf{A}\mathbf{y} \end{aligned} \quad (3.4.13)$$

Assim, ao invés de (3.4.1), iremos resolver

$$\text{minimizar } \Psi_k(\mathbf{y})$$

$$\text{s/a } \|\mathbf{y}\| = \rho$$

(3.4.14)

Seguindo os passos da análise feita para (3.2), temos:

$$\nabla \mathcal{L} = \mathbf{A}^T (\mathbf{g}_k + \beta \mathbf{B}_k \hat{\mathbf{x}}_k) + \mathbf{A}^T \mathbf{B}_k \mathbf{A}\mathbf{y} + \mu \mathbf{y} = 0$$

$$\text{Chamando } \tilde{\mathbf{g}}_k = \mathbf{A}^T (\mathbf{g}_k + \beta \mathbf{B}_k \hat{\mathbf{x}}_k) \quad (3.4.15) \text{ vem}$$

$$(\mathbf{A}^T \mathbf{B}_k \mathbf{A} + \mu \mathbf{I}) \mathbf{y} = -\tilde{\mathbf{g}}_k$$

$$\Rightarrow \boxed{\mathbf{y} = -(\mathbf{A}^T \mathbf{B}_k \mathbf{A} + \mu \mathbf{I})^+ \tilde{\mathbf{g}}_k} \quad (3.4.16)$$

Fazemos a decomposição espectral:  $\mathbf{A}^T \mathbf{B}_k \mathbf{A} = \mathbf{Q}_k \mathbf{D}_k \mathbf{Q}_k^T$ , onde

$$\mathbf{Q}_k^T \mathbf{Q}_k = \mathbf{Q}_k \mathbf{Q}_k^T = \mathbf{I}_{n-1} \text{ e } \mathbf{D}_k = \text{diag } (\tilde{\lambda}_1, \dots, \tilde{\lambda}_{n-1}) \text{ com } \tilde{\lambda}_1 \leq \dots \leq \tilde{\lambda}_{n-1}.$$

O multiplicador  $\mu$  correspondente à solução global de (3.4.14) é obtido resolvendo-se (3.4.15) com  $\Phi(\mu) = \| -(\mathbf{D}_k + \mu \mathbf{I})^+ \tilde{\mathbf{g}}_k \|$ ,  $\tilde{\mathbf{g}}_k = \mathbf{Q}_k \tilde{\mathbf{g}}_k$  e  $R = \rho$ . Uma vez estabelecida a solução global de (3.4.14) através de

(3.4.16), retomar-se a variável original por (3.4.12).

### 3.4 O "HARD-CASE"

Consideremos o problema

$$\min \Psi_k(s) \text{ s/a } \|s + v\| = R \quad (3.5)$$

É possível estabelecer o seguinte resultado para as soluções de (3.5):

#### Teorema 3.5

"Se  $B_k v - g_k \in S_1^\perp$  e  $\varphi(-\lambda_1) \leq R^2$  então o conjunto de minimizadores de (3.5) está contido numa variedade linear."

Prova:

Como  $B_k v - g_k \in S_1^\perp \Rightarrow B_k v - g_k \perp S_1 = \ker(B_k - \lambda_1 I)$ , seguindo que  $(B_k - \lambda_1 I)z = B_k v - g_k$ .

Tomemos  $w \in \ker(B_k - \lambda_1 I)$ ,  $w$  arbitrário e  $\bar{z} = (B_k - \lambda_1 I)^+(B_k v - g_k)$ . Consideremos a família de vetores  $\bar{z} + tw$ , onde  $t \in \mathbb{R}$  é tal que  $\|\bar{z} + tw\| = R$ . Temos:

$$\Psi_k(s) = g_k^t s + \frac{1}{2} s^t B_k s$$

$$\Psi_k(z - v) = \Psi_k(z) = (z - v)^t g_k + \frac{1}{2} (z - v)^t B_k (z - v)$$

$$\Psi_k(z) = \frac{1}{2} v^t B_k v - v^t g_k + (g_k - B_k v)^t z + \frac{1}{2} z^t B_k z$$

Como  $g_k - B_k v = - (B_k - \lambda_1 I) \bar{z}$ , chamando  $\frac{1}{2} v^t B_k v - v^t g_k = k_1$ , segue que:

$$\begin{aligned} \Psi_k(\bar{z}) &= k_1 + \frac{1}{2} \bar{z}^t B_k \bar{z} - \bar{z}^t (B_k - \lambda_1 I) \bar{z} = \\ &= k_1 + \frac{1}{2} \left[ \bar{z}^t (B_k - \lambda_1 I) \bar{z} + \lambda_1 \bar{z}^t \bar{z} \right] - \bar{z}^t (B_k - \lambda_1 I) \bar{z} = \end{aligned}$$

$$= k_1 - \frac{1}{2} \bar{z}^T (B_k - \lambda_1 D) \bar{z} + \lambda_1 \|\bar{z}\|^2$$

Agora,  $\Psi_k(\bar{z} + tw) =$

$$= k_1 - \frac{1}{2} (\bar{z} + tw)^T (B_k - \lambda_1 D) (\bar{z} + tw) + \lambda_1 \|\bar{z} + tw\|^2 = \\ = k_1 - \frac{1}{2} \bar{z}^T (B_k - \lambda_1 D) \bar{z} + \lambda_1 \|\bar{z}\|^2$$

e então  $\Psi_k(\bar{z} + tw) = \Psi_k(\bar{z})$  para  $\bar{z}$  tal que  $\|\bar{z}\| = R$ , ou seja, os valores da quadrática ficam constantes na intersecção da variedade

$$\text{linear } V = \left\{ y \in \mathbb{R}^n : y = (B_k - \lambda_1 I)^+ (B_k v - g_k) + \sum_{j=1}^{\dim S} \alpha_j q_j \right\},$$

com a esfera  $\{z \in \mathbb{R}^n : \|z\| = R\}$ .

A situação abordada pelo teorema 3.5 é conhecida na literatura como "hard case" (I 13). Neste caso devemos escolher uma solução  $s + v$  tal que  $\|s + v\| = R$  e  $s + v \in V$ .

A maneira que escolhemos para decidir sobre a ortogonalidade de um vetor  $g$  em relação ao subespaço  $S = [v_1, v_2, \dots, v_{\dim S}]$  baseia-se no vetor  $\cos \Theta = (\cos \theta_1, \dots, \cos \theta_{\dim S})^T$ , onde  $\cos \theta_i = \frac{v_i^T g}{\|v_i\| \|g\|}$ ,  $i = 1, \dots, \dim S$ .

Se  $\|\cos \Theta\| < \epsilon_{\text{hard}}$ , então declaramos  $g \perp S \Rightarrow g \in S^\perp$ .

Observamos que na esfera de confiança:  $g = g_k$  e  $S = S_1 = [q_1, \dots, q_{\dim S}]$ , na esfera do problema:  $g = B_k v - g_k$  e  $S = S_1$  e na  $(n-2)$ -esfera:  $g = \tilde{g}_k$  e  $S = S_2 = [\tilde{q}_1, \dots, \tilde{q}_{\dim S}]$ .

Uma vez detectada a ortogonalidade, como  $p(-\lambda_1)$  assume um valor finito, a ocorrência do "hard-case" fica condicionada a

$\varphi(-\lambda_1) < \Delta_k^2$ ,  $\varphi(-\lambda_1) < r^2$  ou  $\varphi(-\tilde{\lambda}_1) < \rho^2$ , conforme o problema esteja na esfera de confiança, do problema ou na  $(n-2)$ -esfera. Ilustramos este fato com a figura 3.4.

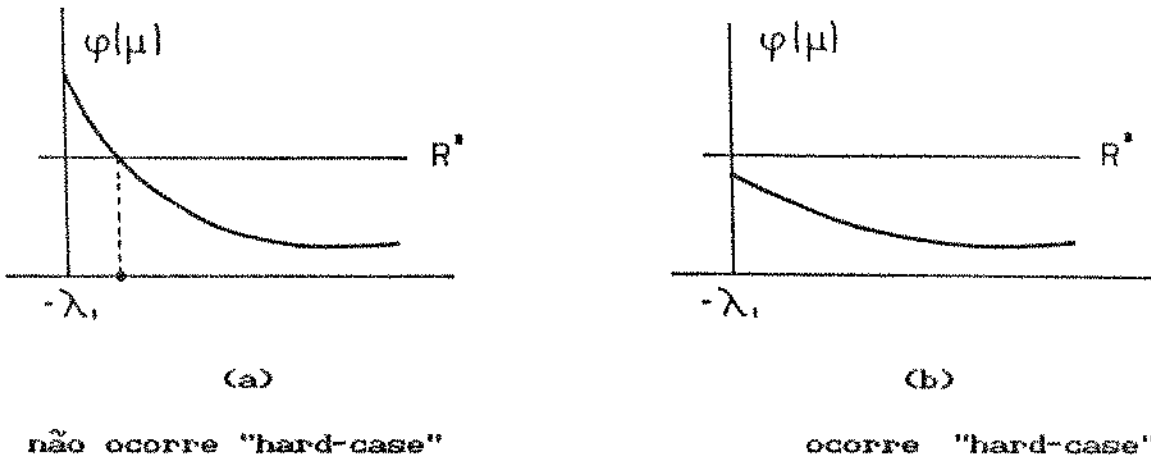


figura 3.4

No que se segue vamos analisar separadamente o "hard-case" na esfera de confiança, na esfera do problema e na  $(n-2)$ -esfera.

### 3.4.1 O "hard case" na esfera de confiança

Neste caso,  $v \equiv 0$  e então  $(B_k - \lambda_1 D) s = -\epsilon_k$ . Chamemos

$$s_1 = -(B_k - \lambda_1 D)^+ \epsilon_k \quad (3.6) \text{ e tomemos } s_2 \text{ tal que } s_2 = s_1 \text{ seja a}$$

projeção de  $-x_k$  em  $\ker(B_k - \lambda_1 D)$ . Então

$$s_2 = s_1 = - \left( I - (B_k - \lambda_1 D)^+ (B_k - \lambda_1 D) \right) x_k$$

$$s_2 = s_1 = -x_k + (B_k - \lambda_1 D)^+ (B_k - \lambda_1 D) x_k$$

$$s_2 = (B_k - \lambda_1 D)^+ \left[ (B_k - \lambda_1 D) x_k - \epsilon_k \right] - x_k \quad (3.7)$$

Visualizando:

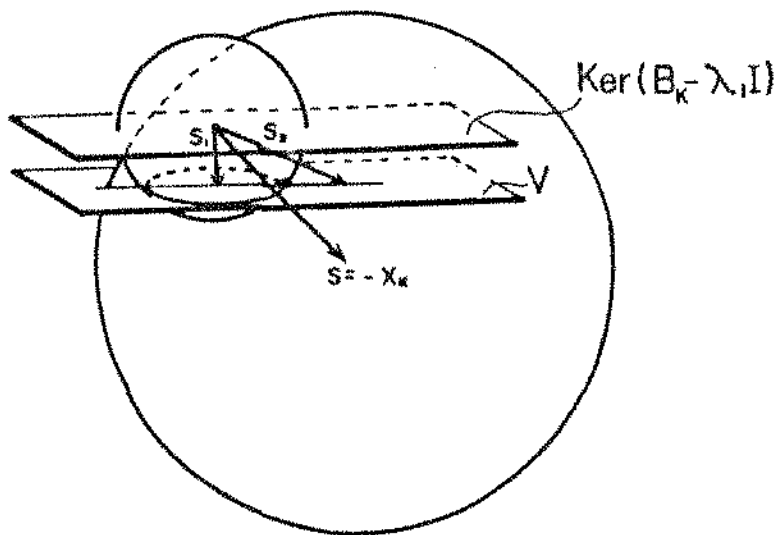


figura 3.5

Tomemos agora a reta  $s(\theta) = s_1 + \theta(s_2 - s_1)$ ,  $\theta \in \mathbb{R}$



figura 3.6

Queremos a interseção de  $s(\theta)$  com a esfera  $\|s\| = \Delta_k$ , portanto:

$$[s_1 + \theta(s_2 - s_1)]^t [s_1 + \theta(s_2 - s_1)] = \Delta_k^2$$

$$s_1^t s_1 + 2\theta s_1^t (s_2 - s_1) + \theta^2 (s_2 - s_1)^t (s_2 - s_1) = \Delta_k^2$$

$$\theta^2 \|s_2 - s_1\|^2 = \Delta_k^2 - \|s_1\|^2$$

$$\text{Se } s_2 - s_1 = 0 \rightarrow \|s_1\|^2 = \Delta_k^2$$

Supondo  $s_2 - s_1 \neq 0$ :

$$\theta^2 = \frac{\Delta_k^2 - \|s_1\|^2}{\|s_2 - s_1\|^2}$$

Como o "hard-case" só ocorre quando  $\varphi(-\lambda_i) \leq \Delta_k^2$ , temos

$$\Delta_k^2 \geq \| s_1 \|^2 \Rightarrow \theta = \pm \sqrt{\frac{\Delta_k^2 - \| s_1 \|^2}{\| s_2 - s_1 \|^2}}$$

Optaremos pela solução  $\theta$  tal que  $s(\theta)$  esteja mais próxima de  $s_2$ :

$$\theta = + \sqrt{\frac{\Delta_k^2 - \| s_1 \|^2}{\| s_2 - s_1 \|^2}} \quad (3.8)$$

$$\begin{aligned} \text{De fato, } \| s_2 - s(\theta) \| &= \left\| s_2 - \left[ s_1 + \theta (s_2 - s_1) \right] \right\| = \\ &= \| s_2 - s_1 + \theta (s_2 - s_1) \| = \| (1 + \theta) (s_2 - s_1) \| \geq \\ &\geq \| (1 - \theta) (s_2 - s_1) \| = \| s_2 - s(\theta) \| \end{aligned}$$

$$\text{Assim, } s_{e.\text{con.}} = s_1 + \theta (s_2 - s_1) \quad (3.9)$$

com  $s_1$ ,  $s_2$  e  $\theta$  dados respectivamente por (3.6), (3.7) e (3.8).

### 3.4.2 O "hard case" na esfera do problema

Neste caso,  $v \equiv x_k$  e então  $(B_k - \lambda_1 D^+) z = B_k x_k - \epsilon_k$ .

Chamemos  $z_1 = (B_k - \lambda_1 D^+) (B_k x_k - \epsilon_k)$  (3.10) e tomemos  $z_2$  tal

que  $z_2 - z_1$  seja a projeção de  $x_k$  em  $\ker(B_k - \lambda_1 D)$ . Então

$$z_2 - z_1 = \left[ I - (B_k - \lambda_1 D^+)(B_k - \lambda_1 D) \right] x_k$$

$$z_2 = z_1 + x_k - (B_k - \lambda_1 D^+)(B_k - \lambda_1 D) x_k$$

$$z_2 = (B_k - \lambda_1 D^+) \left[ B_k x_k - \epsilon_k - B_k x_k + \lambda_1 x_k \right] + x_k$$

$$z_2 = (B_k - \lambda_1 D^+) (\lambda_1 x_k - \epsilon_k) + x_k \quad (3.11)$$

Visualizando:

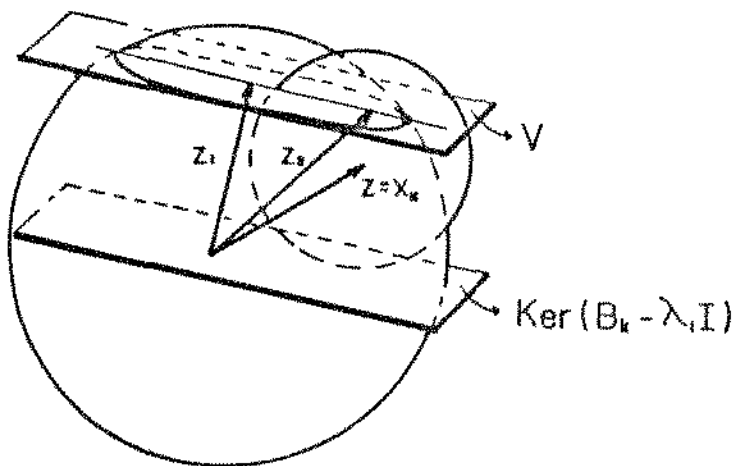


figura 3.7

Tomemos agora a reta  $z(\theta) = z_1 + \theta(z_2 - z_1)$ ,  $\theta \in \mathbb{R}$



figura 3.8

Queremos a interseção de  $z(\theta)$  com a esfera  $\| z \| = r$ ,  
portanto:

$$\left[ z_1 + \theta(z_2 - z_1) \right]^t \left[ z_1 + \theta(z_2 - z_1) \right] = r^2$$

$$\theta^2 \| z_2 - z_1 \|^2 = r^2 - \| z_1 \|^2$$

$$\text{Se } z_2 - z_1 = 0 \Rightarrow \| z_1 \|^2 = r^2$$

Supondo  $z_2 - z_1 \neq 0$ :

$$\theta^2 = \frac{r^2 - \| z_1 \|^2}{\| z_2 - z_1 \|^2}$$

Como o "hard-case" só ocorre quando  $\varphi(-\lambda_1) \leq r^2$ , temos

$$r^2 \geq \| z_1 \|^2 \Rightarrow \theta = \pm \sqrt{\frac{r^2 - \| z_1 \|^2}{\| z_2 - z_1 \|^2}}$$

Analogamente à esfera de confiança, o parâmetro

$$\theta = + \sqrt{\frac{r^2 - \|z_1\|^2}{\|z_2 - z_1\|^2}}$$

(3.12) será o escolhido pois

$$\begin{aligned} \|z_2 - z(\theta+)\| &= \|(1-\theta)(z_2 - z_1)\| \leq \\ &\leq \|(1+\theta)(z_2 - z_1)\| = \|z_2 - z(\theta-)\| \end{aligned}$$

$$\text{Logo } s_{e.\text{prob.}} = z_1 + \theta(z_2 - z_1) \quad (3.13)$$

com  $z_1$ ,  $z_2$  e  $\theta$  dados respectivamente por (3.10), (3.11) e (3.12).

### 3.4.3 O "hard case" na $(n-2)$ esfera

Neste caso, chamando de  $S_2$  o autoespaço associado ao menor autovalor ( $\tilde{\lambda}_1$ ) de  $A^T B_k A$  (de dimensão = dim2), tem-se o "hard-case" sempre que  $\tilde{e}_k \in S_2^\perp$ ,  $\rho(-\tilde{\lambda}_1) \leq \rho^2$ , com  $\tilde{e}_k \neq \rho$  dados por (3.4.15) e (3.4.7), respectivamente.

Chamando  $y_1 = -(A^T B_k A - \tilde{\lambda}_1 I)^+ \tilde{e}_k$  (3.14), tomamos

$$\begin{aligned} y(\theta) &= y_1 + \theta \tilde{q}_1 \quad (\tilde{q}_1 \in S_2) \text{ e impomos } \|y(\theta)\|^2 = \rho^2 \rightarrow \\ &\rightarrow (y_1 + \theta \tilde{q}_1)^T (y_1 + \theta \tilde{q}_1) = \rho^2 \rightarrow \\ &\rightarrow \|y_1\|^2 + 2\theta \tilde{q}_1^T y_1 + \theta^2 \tilde{q}_1^T \tilde{q}_1 = \rho^2 \rightarrow \theta^2 = \rho^2 - \|y_1\|^2 \end{aligned}$$

Como o "hard-case" só ocorre quando  $\rho(-\tilde{\lambda}_1) \leq \rho^2$ , temos

$$\rho^2 \geq \|y_1\|^2 \rightarrow \theta = \pm \sqrt{\rho^2 - \|y_1\|^2} \quad (3.15)$$

$$\text{e escolhemos } \theta = \sqrt{\rho^2 - \|y_1\|^2} \rightarrow$$

$$\Rightarrow s_{(n-2)\text{esf.}} = A(y_1 + \theta \tilde{q}_1) + \beta \tilde{x}_k \quad (3.16)$$

conforme (3.4.12), com  $y_1$  e  $\theta$  dados respectivamente por (3.14) e (3.15)

Visualizando:

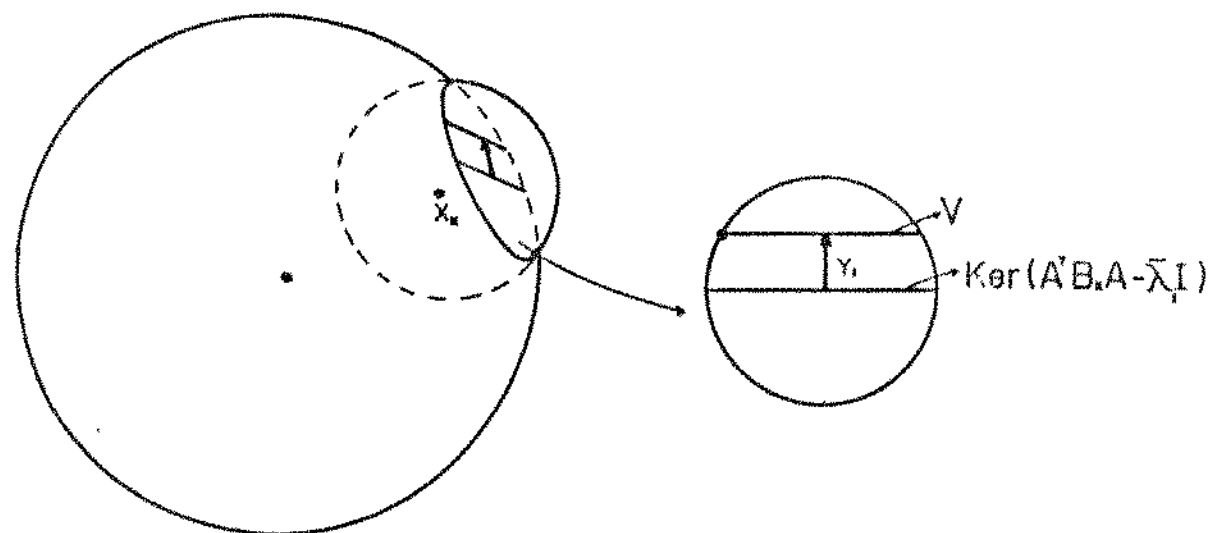


figura 3.9

## CAPÍTULO 4

### EXPERIMENTOS NUMÉRICOS

#### 4.1 CARACTERÍSTICAS DO PROGRAMA

Para verificarmos o desempenho dos métodos de região de confiança para minimização em bolas, fizemos um programa escrito em FORTRAN 77 e implementado no VAX 11/785 - sistema operacional VMS , da UNICAMP, usando precisão dupla (ver documentação no APÊNDICE).

O algoritmo implementado no programa principal (TRUST) foi:

- 0)  $k = 0$ , definir  $\Delta_0$
- 1) Dados  $x_k$  e  $\Delta_k$ , calcular  $g_k = \nabla f(x_k)$  e  $B_k \approx \nabla^2 f(x_k)$
- 2) Resolver

$$\begin{aligned} & \text{minimizar } \Psi_k(w) = w^t g_k + \frac{1}{2} w^t B_k w \\ & \text{s/a } \|x_k + w\| \leq r \\ & \quad \|w\| \leq \Delta_k \end{aligned}$$

(4.1)

obtendo  $s_k$

- 3) Se  $f(x_k + s_k) < f(x_k) + 10^{-4} \Psi_k(s_k)$   
então    definir  $x_{k+1} = x_k + s_k$   
             $\Delta_{k+1} = \Delta_0$   
             $k = k + 1$  e ir para (1)  
senão     $\Delta_k = 0.5 \|s_k\|$  e ir para (2)

Escolhemos as matrizes  $B_k$  como sendo aproximações para as matrizes Hessianas  $\nabla^2 f(x_k)$  via diferenças finitas avançadas aplicadas ao vetor gradiente, conforme sugere [1], p. 103.

Na resolução do subproblema (4.1) através da rotina SUBPRB (implementação do algoritmo III), utilizamos a rotina F02ABF da NAG (precisão dupla) para efetuar a decomposição espectral das matrizes  $B_k$ . Esta rotina calcula todos os autovalores e autovetores de matrizes reais simétricas, aplicando o algoritmo QL após tridiagonalizar a matriz via transformações de Householder. Uma vez obtida a decomposição espectral completa de  $B_k$ , não precisamos resolver sistemas lineares para encontrar as direções procuradas, mas apenas empregar multiplicações de matrizes por vetores. A rotina SUBPRB foi inicialmente validada com testes utilizando funções quadráticas.

A factibilidade das soluções obtidas em SUBPRB foi verificada através de testes relativos. Por exemplo, após obter uma direção  $s_k$  para a qual  $x_k + s_k$  é uma solução global na esfera do problema, o teste que permite decidir sobre a factibilidade de  $s_k$  na bola de confiança é:

$$\frac{\|s_k\| - \Delta_k}{\|s_k\|} \leq \epsilon_{\text{conf}} \quad (4.2)$$

Os critérios de parada utilizados em TRUST foram:

a) convergência pela norma da direção:

$$\|s_k\|_2 \leq \epsilon_{\text{conf}} \quad (4.3)$$

(ii) convergência pela norma do gradiente (para solução irrestrita, na esfera de confiança ou quando  $B_k \geq 0$ ):

$$\boxed{\| \epsilon_k \|_2 \leq \epsilon_{\text{grad}}} \quad (4.4)$$

(iii) não há convergência após Kmax iterações .

## 4.2 ANÁLISE DO DESEMPENHO COMPUTACIONAL

### 4.2.1 Testes realizados

Trabalhamos com o conjunto de testes a seguir, sugerido em [ 15 ] para minimização irrestrita em problemas de quadrados mínimos não lineares, onde a função objetivo é dada por:

$$\boxed{f : \mathbb{R}^N \rightarrow \mathbb{R}} \\ f(x) = \sum_{i=1}^M f_i^2(x) \quad (4.5)$$

#### (1) Função de Rosenbrock

$$N = 2, M = 2$$

$$f_1(x) = 10(x_2 - x_1^2)$$

$$f_2(x) = 1 - x_1$$

$$f = 0 \text{ em } (-1, 1)^2$$

#### (2) Função de Freudenstein e Roth

$$N = 2, M = 2$$

$$f_1(x) = -19 + x_1 + ((5 - x_2)x_2 - 2)x_2$$

$$f_2(x) = -29 + x_1 + ((x_2 + 1)x_2 - 14)x_2$$

$$f = 0 \text{ em } (5, 4)^2$$

$$f = 48.9842 \dots \text{ em } \langle 11.41 \dots, -0.8968 \dots \rangle^t$$


---

### (3) "Helical valley function"

$$N = 3, M = 3$$

$$f_1(x) = 10 \left[ x_3 - 10 \theta(x_1, x_2) \right]$$

$$f_2(x) = 10 \left[ (x_1^2 + x_2^2)^{1/2} - 1 \right]$$

$$f_3(x) = x_3$$

$$\text{onde } \theta(x_1, x_2) = \begin{cases} \frac{1}{2\pi} \arctan \left( \frac{x_2}{x_1} \right), & \text{se } x_1 > 0 \\ \frac{1}{2\pi} \arctan \left( \frac{x_2}{x_1} \right) + 0.5 & \text{se } x_1 < 0 \end{cases}$$

$$f = 0 \text{ em } \langle 1, 0, 0 \rangle^t$$


---

### (4) Função EXP6 de Biggs

$$N = 6, M \geq N$$

$$f_i(x) = x_3 \exp[-t_i x_1] - x_4 \exp[-t_i x_2] \\ + x_5 \exp[-t_i x_5] - y_i$$

$$\text{onde } t_i = (0.1)^i$$

$$\text{e } y_i = \exp[-t_i] - 5 \exp[-10 t_i] + 3 \exp[-4 t_i]$$

$$f = 0 \text{ em } \langle 1, 10, 1, 5, 4, 3 \rangle^t,$$

$$\langle 4, 10, 3, 5, 1, 10 \rangle^t \text{ e}$$

$$\langle 4, 1, 3, -1, 10, -5 \rangle^t$$


---

### (5) Função Gaussiana

$$N = 3, M = 15$$

$$f_i(x) = x_1 \exp \left[ \frac{-x_2(t_i - x_3)^2}{2} \right] - y_i$$

onde  $t_i = (s - i)/2$

e	i	y <sub>i</sub>
1, 15		0.0009
2, 14		0.0044
3, 13		0.0175
4, 12		0.0540
5, 11		0.1295
6, 10		0.2420
7, 9		0.3521
8		0.3989

$$f = 1.12793 \dots 10^{-8}$$

#### (6) Função mal escalada de Powell

$$N = 2, M = 2$$

$$f_1(x) = 10^4 x_1 x_2 - 1$$

$$f_2(x) = \exp[-x_1] + \exp[-x_2] - 1.0001$$

$$f = 0 \text{ em } (-1.098 \dots 10^{-5}, 9.106 \dots)^t$$

#### (7) Função da caixa tridimensional

$$N = 3, M \geq N$$

$$f_i(x) = \exp[-t_i x_1] - \exp[-t_i x_2] \\ - x_3 \in \exp[-t_i] - \exp[-10 t_i]$$

$$\text{onde } t_i = (0.1)i$$

$$f = 0 \text{ em } (-1, 10, 10^t, -10, 1, -10^t, -k, k, 0)^t$$

#### (8) Função variavelmente dimensionada

$$N \text{ variável, } M = N + 2$$

$$f_i(x) = x_i - 1, \quad i = 1, \dots, N$$

$$f_{N+1}(x) = \sum_{j=1}^N j (x_j - 1)$$

$$f_{N+2}(x) = \left( \sum_{j=1}^N (j-1)x_j - 1 \right)^2$$

$f = 0 \text{ em } C[1, \dots, 1]^t$

---

#### (9) Função de Watson

$$2 \leq N \leq 31, M = 31$$

$$f_i(x) = \sum_{j=2}^N (j-1)x_j t_i^{j-2} - \left( \sum_{j=1}^N x_j t_i^{j-1} \right)^2 - 1$$

$$\text{onde } t_i = i/29, \quad 1 \leq i \leq 29$$

$$f_{20}(x) = x_1$$

$$f_{31}(x) = x_2 - x_1^2 - 1$$

$$f = 2.28767 \dots 10^{-3} \text{ se } N = 6$$

$$f = 1.39976 \dots 10^{-6} \text{ se } N = 9$$

$$f = 4.72238 \dots 10^{-10} \text{ se } N = 12$$


---

#### (10) Função penalidade I.

$$N \text{ variável, } M = N + 1$$

$$f_i(x) = 10^{-5/2} (x_i - 1), \quad 1 \leq i \leq N$$

$$f_{N+1}(x) = \left( \sum_{j=1}^N x_j^2 \right) - \frac{1}{4}$$

$$f = 2.24997 \dots 10^{-5} \text{ se } N = 4$$

$$f = 7.08765 \dots 10^{-5} \text{ se } N = 10$$


---

#### (11) Função penalidade II

$$N \text{ variável, } M = 2N$$

$$f_i(x) = x_i - 0.2$$

$$f_i(x) = 10^{-5/2} \left( \exp \left[ \frac{x_i}{10} \right] + \exp \left[ \frac{x_{i+1}}{10} \right] - y_i \right),$$

$2 \leq i \leq N$

$$f_i(x) = 10^{-5/2} \left( \exp \left[ \frac{x_{i-N+1}}{10} \right] - \exp \left[ \frac{-1}{10} \right] \right),$$

$N \leq i \leq 2N$

$$f_{2N}(x) = \left( \sum_{j=1}^N (N-j+1) x_j^2 \right) - 1$$

$$\text{onde } y_i = \exp \left[ \frac{i}{10} \right] + \exp \left[ \frac{i-1}{10} \right]$$

$$f = 9.37629 \dots 10^{-6} \quad \text{se } N = 4$$

$$f = 2.93660 \dots 10^{-4} \quad \text{se } N = 10$$


---

### (12) Função mal escalada de Brown

$$N = 2, M = 3$$

$$f_1(x) = x_1 - 10^{-6}$$

$$f_2(x) = x_2 - 2 \cdot 10^{-6}$$

$$f_3(x) = x_1 x_2 - 2$$

$$f = 0 \quad \text{em } (-10^6, 2 \cdot 10^{-6})^t$$


---

### (13) Função de Brown e Dennis

$$N = 4, M \geq N$$

$$f_i(x) = \left( x_1 + t_i x_2 - \exp [t_i] \right)^2 +$$

$$+ \left( x_3 + x_4 \sin(t_i) - \cos(t_i) \right)^2$$

$$\text{onde } t_i = i\sqrt{5}$$

$$f = 85822.2 \dots \text{ se } M = 20$$

(14) "Gulf research and development function"

$N = 3, N \leq M \leq 100$

$$f_i(x) = \exp \left[ - \frac{|y_i| \ln x_2 |^{x_3}}{x_1} \right] - t_i$$

$$\text{onde } t_i = i/100 \quad e \quad y_i = 25 + \left( -50 \ln(t_i) \right)^{2/3}$$

$$f = 0 \text{ em } (-50, 25, 15)^t$$

(15) Função trigonométrica transladada

$N$  variável,  $M = N$

$$f_i(x) = N - \sum_{j=1}^N \cos(x_j - 1) + \\ + i \left( 1 - \cos(x_i - 1) \right) - \sin(x_i - 1)$$

$$f = 0 \text{ em } (-1, 1, \dots, 1)^t$$

(16) Função de Rosenbrock estendida

$N$  par ,  $M = N$

$$f_{2i-1}(x) = 10(x_{2i} - x_{2i-1}^2)$$

$$f_{2i}(x) = 1 - x_{2i-1}$$

$$f = 0 \text{ em } (-1, \dots, 1)^t$$

(17) Função singular de Powell estendida transladada

$N$  múltiplo de 4 ,  $M = N$

$$f_{4i-3}(x) = x_{4i-3} + 10x_{4i-2} + 11$$

$$f_{4i-2}(x) = 5^{1/2}(x_{4i-1} - x_{4i})$$

$$f_{4i-1}(x) = (x_{4i-2} - 2x_{4i-1} - 1)^2$$

$$f_{4i}(x) = 10^{1/2} \left( x_{4i-3} - x_{4i} \right)^2$$

$$f = 0 \text{ em } (-1, \dots, -1)^t$$


---

(18) Função de Beale

$$N = 2, M = 3$$

$$f_1(x) = y_1 - x_1 \left( 1 - x_2^2 \right)$$

$$\text{onde } y_1 = 1.5, y_2 = 2.25 \text{ e } y_3 = 2.625$$

$$f = 0 \text{ em } (3, 0.5)^t$$


---

(19) Função de Wood

$$N = 4, M = 6$$

$$f_1(x) = 10 \left( x_2 - x_1^2 \right)$$

$$f_2(x) = 1 - x_1$$

$$f_3(x) = 90^{1/2} \left( x_4 - x_3^2 \right)$$

$$f_4(x) = 1 - x_3$$

$$f_5(x) = 10^{1/2} \left( x_2 + x_4 - 2 \right)$$

$$f_6(x) = 10^{-1/2} \left( x_2 - x_4 \right)$$

$$f = 0 \text{ em } (1, 1, 1, 1)^t$$


---

Uma vez definida a função objetivo ( (1) a (19) ), formulamos dois tipos básicos de problema através de restrições com bolas de raio "grande" ou "pequeno". Como as funções-teste escolhidas têm, em geral, minimizador irrestrito ( $x^*$ ) conhecido, procuramos escolher o tamanho do raio pelo seguinte princípio:

- (i) raio grande =  $4 \| x^* \|_2$
- (ii) raio pequeno =  $0.25 \| x^* \|_2$ .

Para os casos em que  $x^*$  não é previamente conhecido, tomamos os valores para os raios conforme apresentado na tabela 4.1.

nº do teste	N	M	raio grande	raio pequeno
01	2	2	5.7	0.36
02	2	2	25.6	1.6
03	3	3	4.0	0.25
04	6	13	15.0	0.125
05	3	15	2.0	0.125
06	2	2	10.0	2.5
07	3	10	4.0	0.25
08	10	12	12.65	0.79
09	6	31	4.0	0.25
10	4	5	4.0	0.25
11	4	8	4.0	0.25
12	2	3	$10^{-6}$	10.0
13	4	20	20.0	4.0
14	3	10	1.0	0.25
15	10	10	12.0	1.0
16	10	10	12.65	0.79
17	12	12	8.0	0.5
18	2	3	12.16	0.76
19	4	6	8.0	0.5

tabela 4.1 - Dimensões e raios efetivamente adotados

Os problemas foram testados tendo-se duas escolhas possíveis para o ponto inicial:

(i) interior da bola (origem, sempre que possível)

(ii) fronteira da bola, fixando:

$$x_0 = \frac{r}{\sqrt{N}} \left( 1, -1, 1, \dots, (-1)^{N+1} \right) \in \mathbb{R}^N$$

Com exceção dos testes com a função EXP6 de Biggs (4), restrita à bola de raio grande, utilizamos  $\Delta_0 = 2 r$ , isto é,

tomamos o raio de confiança inicial como sendo o diâmetro da bola do problema. Nos testes com (4) tomamos  $\Delta_0 = 0.5$ .

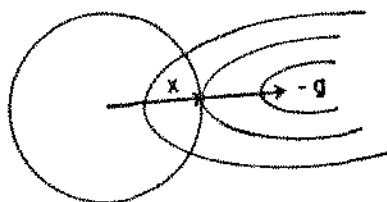
Adotamos as seguintes constantes de tolerância:

$\epsilon_{conf}$	= $10^{-4}$	(relativa à esfera de confiança)
$\epsilon_{prob}$	= $10^{-5}$	(relativa à esfera do problema)
$\epsilon_{(n-2)\text{esf}}$	= $10^{-6}$	(relativa à (n-2) esfera)
$\epsilon_{hard}$	= $10^{-7}$	(relativa ao "hard case")
$\epsilon_{grad}$	= $10^{-8}$	(relativa ao vetor gradiente)
Kmax	= 150	

Obs: Para a função (11) restrita à bola de raio grande, utilizamos  $\epsilon_{grad} = 10^{-4}$ .

#### 4.2.2. Resultados Numéricos

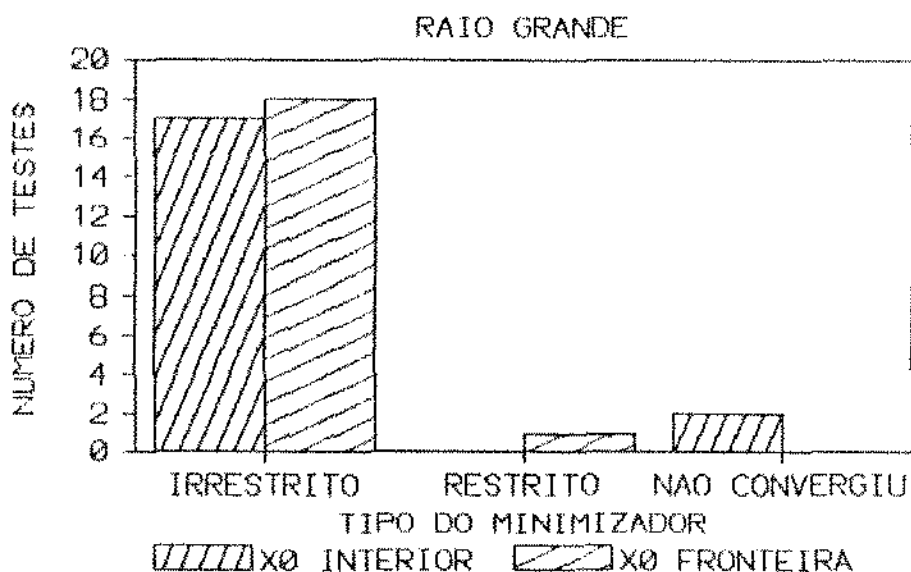
Setenta (70) dos setenta e seis (76) problemas testados satisfizeram as expectativas iniciais , o que corresponde a um índice de 92%. Dos trinta e oito (38) problemas restritos a bolas de raio grande, obteve-se solução do tipo minimizador irrestrito em trinta e cinco (35) deles. Ou seja, a restrição não interferiu nos resultados obtidos em 92 % dos casos. Para as restrições do tipo bolas de raio pequeno, dos trinta e oito (38) problemas testados, foram encontrados minimizadores na esfera do problema satisfazendo as condições de Kuhn-Tucker (figura 4.1) em trinta e cinco (35) deles.



$$x = -\lambda g, \lambda \geq 0.$$

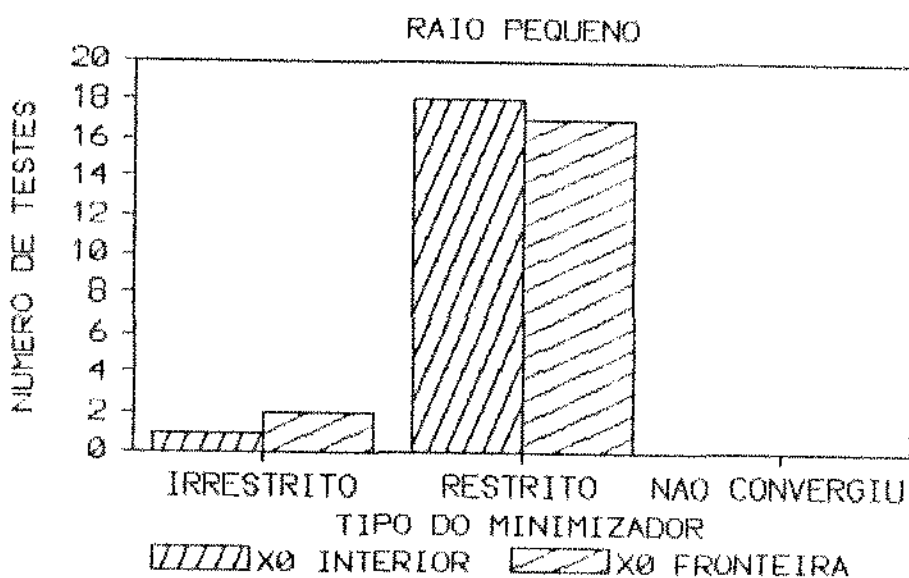
*figura 4.1*

Nos gráficos 4.1 e 4.2 podemos ver o tipo de solução obtida, conforme o tipo de restrição do problema e o ponto inicial escolhido.



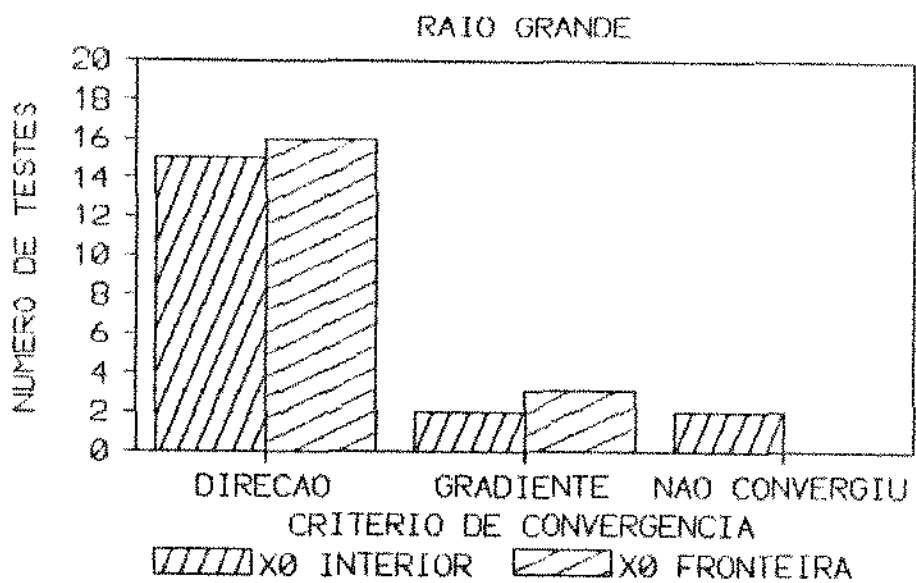
*gráfico 4.1*

Cabe observar que no problema formado pela função (3) ("helical valley function") restrita à bola de raio pequeno, para os dois tipos de pontos iniciais, a sequência gerada pelo algoritmo implementado convergiu para pontos nos quais não há diferenciabilidade da função objetivo.



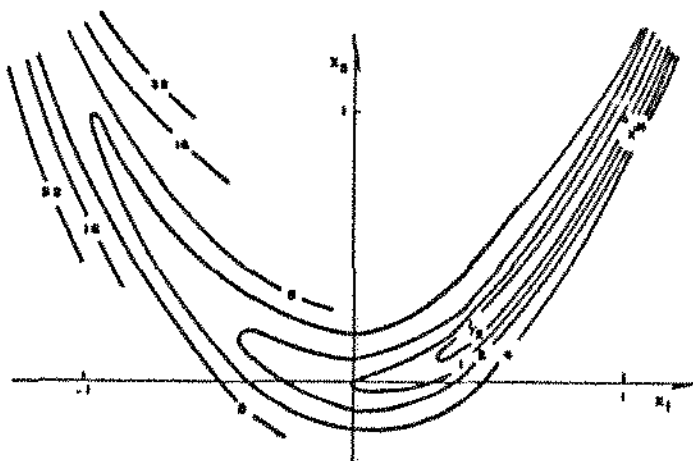
*gráfico 4.2*

Com relação ao critério de convergência, para as restrições do tipo bola de raio pequeno, o método sempre convergiu pela norma da direção. Para os problemas restritos a bolas de raio grande, o número de iterações atingiu o limite máximo em dois problemas; houve cinco casos de convergência pela norma do gradiente e os demais convergiram pela norma da direção. Além destes resultados, pode-se ver no gráfico 4.3 a influência do ponto inicial escolhido.



*gráfico 4.3*

Apresentamos um resumo dos resultados obtidos na tabela 4.2. Para observarmos o comportamento do algoritmo, visualizando a seqüência de pontos gerada, escolhemos os problemas com a função de Rosenbrock (1) (figuras 4.2 ~ 4.6).



*figura 4.2 - Curvas de nível da função de Rosenbrock*

FO	raio grande						raio pequeno					
	$x_o$ interior			$x_o$ fronteira			$x_o$ interior			$x_o$ fronteira		
	TS	CP	IT	NAF	TS	CP	IT	NAF	TS	CP	IT	NAF
01	I	D	14	20	I	D	19	24	RG	D	5	7
02	I	D	6	13	I	D	16	17	RG	D	5	6
03	I	D	11	26	I	D	11	19	RG	D	2	6
04	#		608		I	D	106	238	RL	D	9	14
05	I	D	8	14	I	D	14	28	RG	D	5	6
06	#		907		I	D	38	54	RG	D	20	56
07	I	D	8	25	I	D	19	128	I	D	4	5
08	I	D	19	87	I	D	19	76	RG	D	2	3
09	I	D	12	14	I	D	8	11	RG	D	4	5
10	I	D	2	6	I	D	50	73	RG	D	2	3
11	I	G	9	17	I	G	26	27	RG	D	2	3
12	I	D	21	127	I	D	30	119	RG	D	2	3
13	I	D	7	12	I	D	9	10	RG	D	4	5
14	I	D	16	46	I	G	1	2	RG	D	11	16
15	I	D	11	12	RG	D	10	12	RG	D	3	4
16	I	D	14	20	I	D	19	23	RG	D	5	7
17	I	G	23	25	I	G	24	27	RG	D	3	4
18	I	D	8	13	I	D	15	34	RG	D	4	6
19	I	D	8	11	I	D	11	12	RG	D	4	5

tabela 4.2 - Resumo dos resultados obtidos

legenda:

FO - função objetivo

TS - tipo de solução

I - irrestrita

RG - minimizador global na esfera do problema

RL - minimizador local na esfera do problema

RG<sub>2</sub>- minimizador global na (n-2) esfera

CP - critério de parada

D - norma da direção

G - norma do gradiente

# - não convergiu com Kmax iterações

IT - número de iterações efetuadas

NAF - número de vezes que a função foi avaliada

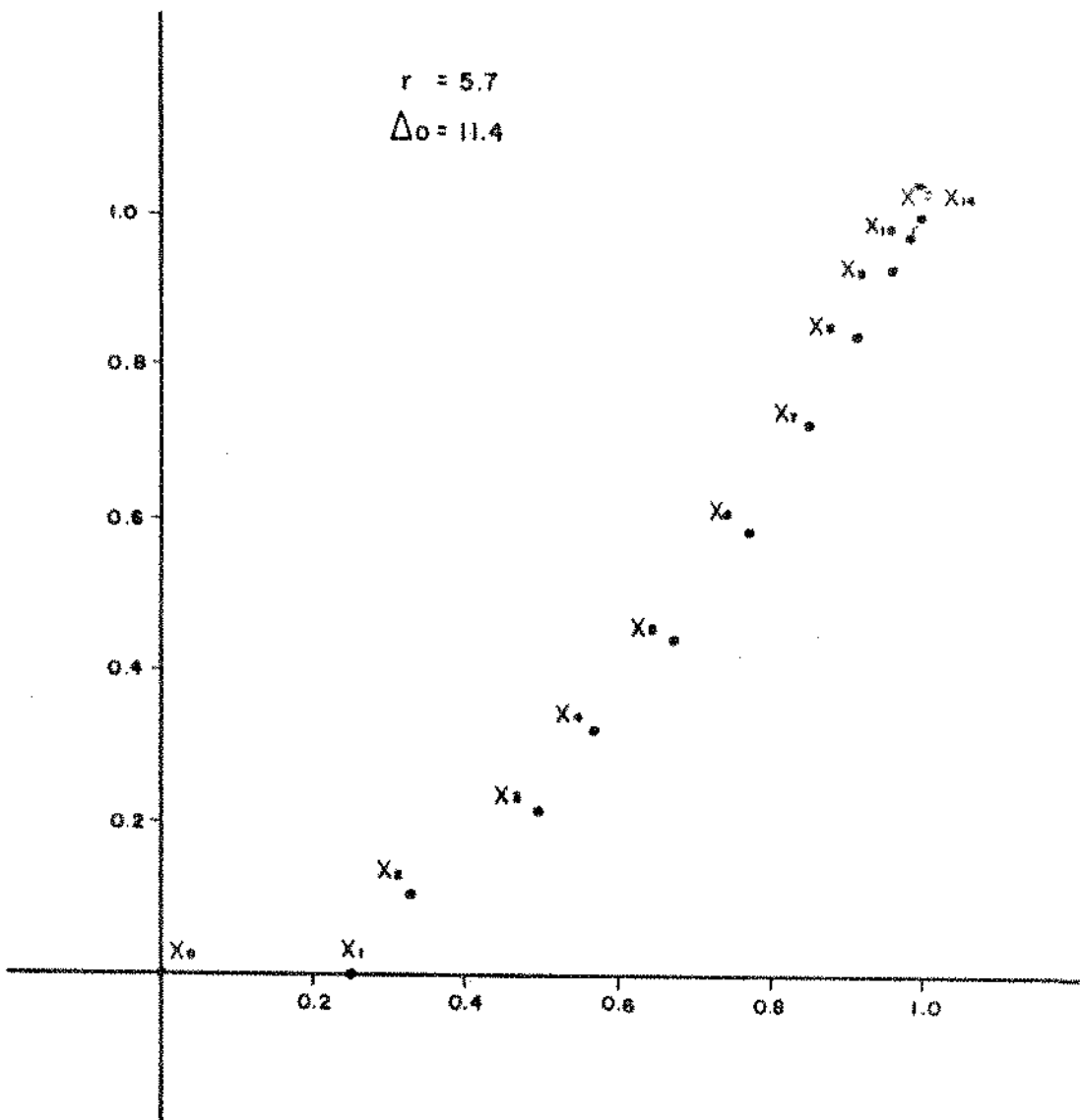


figura 4.3

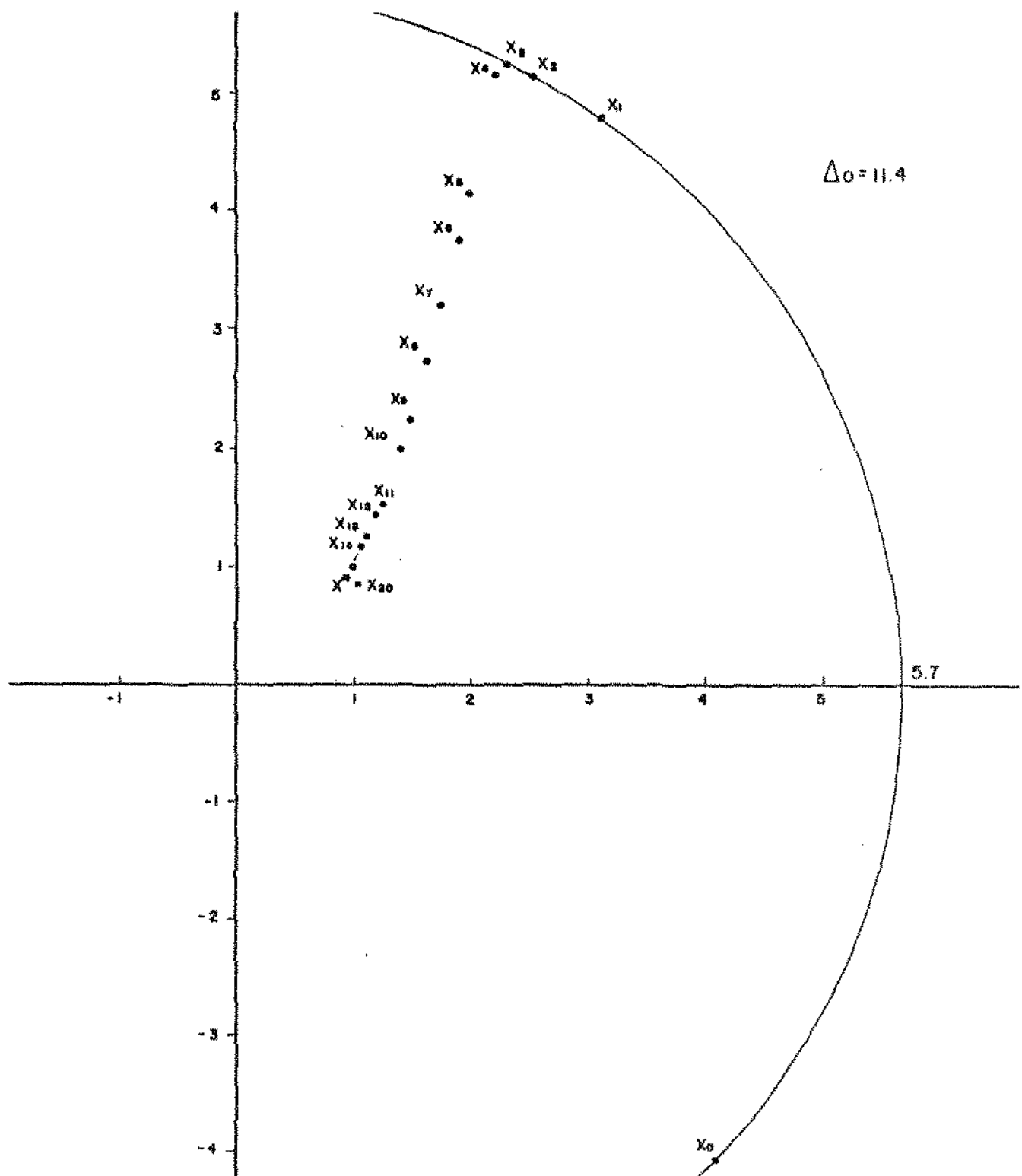
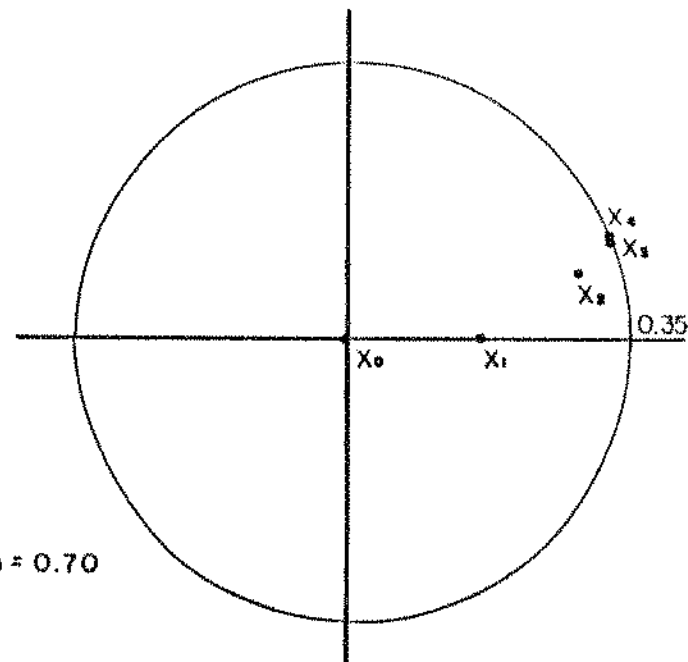
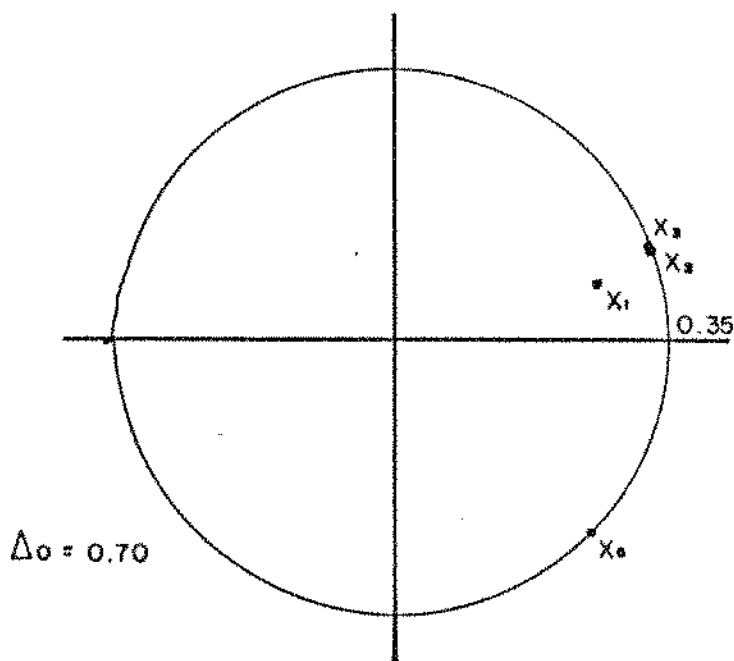


figura 4.4



*figura 4.5*



*figura 4.6*

#### 4.3 CONCLUSÕES E TRABALHOS FUTUROS

Analisando os resultados numéricos obtidos, observamos que o método de região de confiança para minimização em bolas implementado de fato cumpre o papel globalizador para o qual foi proposto. Além disso, acreditamos que o desempenho obtido foi melhor do que se poderia esperar para algoritmos gerais, ainda que não tenhamos feito testes comparativos. O fato da nossa implementação estar baseada na decomposição espectral completa das matrizes  $B_k$  inviabiliza a resolução de problemas de maior dimensão. Tal limitação, no entanto, não desmerece nosso trabalho, já que funções caras, tipo ajustes não lineares, com poucos parâmetros, existem na realidade.

Motivados pelo problema de identificação de parâmetros, pretendemos prosseguir trabalhando com métodos deste tipo, com o objetivo de desenvolver algoritmos que sejam viáveis para problemas de grande porte.

**APÊNDICE**

Apresentamos a seguir a listagem documentada do programa principal e das rotinas que compõem nossa implementação computacional.

C  
 C RESOLUCAO DO PROBLEMA DE MINIMIZACAO RESTRITO A UMA BOLA  
 C EUCLIDIANA, VIA METODO DE REGIAO DE CONFIANCA, PARA FUNCOES  
 C TESTE DE MORE, GARBOW & HILLSTROM  
 C  
 REAL\*B RCON, RPRB, RMAX, QSK, FXK, FXK1,  
 \$ XK(50), XK1(50), SK(50), GK(50), BK(50,50),  
 \$ E(50), F(50), QK(50,50), RK(50), W(50), C(50), U(50),  
 \$ A(50,50), B2(50,50), Q2(50,50), R2(50), WC(50), GC(50),  
 \$ CC(50), UC(50), ENXK, ENG, SI(50), SGEP(50), SLEP(50),  
 \$ MGEC, MGEP, EPSHRD, EPSCON, EPSPRB, EPS2ES, EHACH,  
 \$ EPSGRD, A1, A2, H, REPSGRD, ENSK, ENPRB  
 C  
 C RCON = raio de confianca  
 C RPRB = raio do problema  
 C RMAX = raio de confianca maximo (2.0 \* RPRB)  
 C QSK = valor da quadratica na solucao do k-esimo subproblema  
 C FXK = valor da funcao objetivo no ponto XK  
 C FXK1 = valor da funcao objetivo no ponto XK + SK  
 C XK = k-esimo ponto  
 C XK1 = ponto XK + SK  
 C SK = direcao solucao do k-esimo subproblema  
 C GK = vetor gradiente da funcao objetivo no ponto XK  
 C BK = aproximacao para a matriz hessiana da funcao objetivo em XK  
 C E, F = vetores auxiliares  
 C QK = matriz ortogonal (colunas = autovetores de BK)  
 C RK = vetor dos autovalores de BK (ordem crescente)  
 C W = vetor BK XK  
 C C = vetor (QK)t GK  
 C U = vetor (QK)t XK  
 C A = matriz cujas colunas formam base ortonormal  
     para o complemento ortogonal de XK  
 C B2 = produto At \* BK \* A (hessiana da quadratica na mudanca de  
     variaveis para a (n-2)-esfera  
 C Q2 = matriz ortogonal (colunas = autovetores de B2)  
 C R2 = vetor dos autovalores de B2 (ordem crescente)  
 C WC = vetor (A)t W  
 C GC = vetor (A)t GK  
 C CC = vetor (Q2)t GC  
 C UC = vetor (Q2)t WC  
 C ENXK = norma euclidiana do vetor XK  
 C ENG = norma euclidiana do vetor GK  
 C SI = solucao irrestrita  
 C SGEP = solucao global na esfera do problema  
 C SLEP = solucao local nao global na esfera do problema  
 C MGEC = multiplicador de Lagrange correspondente a SGEC  
 C MGEP = idem para SGEP  
 C EPSHRD = precisao para detectar hard case  
 C EPSCON = precisao para resolver na esfera de confianca  
 C EPSPRB = precisao para resolver na esfera do problema  
 C EPS2ES = precisao para resolver na (n-2)-esfera  
 C EHACH = precisao da maquina  
 C EPSGRD = precisao para o vetor gradiente  
 C A1, A2 = variaveis auxiliares

```

C H = incremento usado para aproximar a hessiana via diferenca
C finitas avancadas
C REPSGRD = raiz quadrada de EPSGRD
C ENSK = norma euclidiana da direcao SK
C ENPRB = norma do candidato a solucao para testar
C          factibilidade na bola do problema
C
C INTEGER IPRB, IRAI, IPIN, ISOL, N, NF, I, J, K, NAVAL,
$ DIM, DIM2, MAXNEW, MAXL1, MAXL2, KMAX
C
C IPRB = indice do problema teste
C IRAI = codigo para o tipo de raio
C         ( 1 -> grande , 2-> pequeno )
C IPIN = codigo para o tipo de ponto inicial
C         ( 1 -> interior , 2 -> fronteira )
C ISOL = codigo para o tipo de solucao do subproblema
C         0 -> subproblema sem solucao
C         1 -> solucao global na esfera de confianca
C         2 -> solucao local na esfera de confianca
C         3 -> solucao global na esfera do problema
C         4 -> solucao local na esfera do problema
C         5 -> solucao global na (n-2)-esfera
C         6 -> solucao irrestrita
C N = dimensao do problema teste
C NF = dimensao do vetor de funcoes cujo quadrado da norma
C       euclidiana constitui a funcao objetivo do problema
C I, J = indices dos vetores
C K = contador de iteracoes do algoritmo
C NAVAL = contador de avaliacoes da funcao
C DIM = dimensao do autoespace associado ao menor autovalor de BK
C DIM2 = idem para o menor autovalor de B2
C MAXNEW = numero maximo de iteracoes para NEWTON
C MAXL1 = numero maximo de iteracoes para a fase 1 de MINLOC
C MAXL2 = idem para a fase 2 de MINLOC
C KMAX = numero maximo de iteracoes para o algoritmo de regiao
C       de confianca
C
C LOGICAL SAMEX, FSI, FGEP, FLEP, FMEC, FHEP, DE2E,
$ ORTO1, FALHA, HARDPB
C
C SAMEX = indica resolucao do subproblema com o mesmo ponto XK
C       e diferente raio de confianca
C FSI = factibilidade da solucao irrestrita
C FGEP = factibilidade da sol. glob. na esf. problema
C FLEP = factibilidade da sol. loc. na esf. problema
C DE2E = marca decomposicao espectral na (n-2) esfera
C FMEC = existe multiplicador global na esfera de confianca
C       mas a solucao e infactivel
C FHEP = idem na esfera do problema
C ORTO1 = BK ortogonal a Si (= autoespace associado ao menor
C       autovalor de BK)
C FALHA = codigo de erro na avaliacao da funcao ou do gradiente
C         (.TRUE. -> OK, .FALSE. -> ponto fora do dominio
C HARDPB = ocorrencia de "hard-case" na esfera do problema

```

```

C      FUNCOES UTILIZADAS
C
C          DOUBLE PRECISION EUCNOR
C          DOUBLE PRECISION FUNC
C
C      SUBROTINAS UTILIZADAS
C
C          GKEK
C          SUBPRB
C
C      ENTRADA DE DADOS/INICIALIZACAO
C
OPEN (UNIT = 8, FILE = 'TRUST.OUT', STATUS = 'NEW')
WRITE (*,10010)
WRITE (8,10010)
WRITE (*,10020)
ACCEPT *,IPRB
IF ((IPRB.GE.1).AND.(IPRB.LE.19)) THEN
    WRITE (*,10030)
    ACCEPT *,IRAI
    IF ((IRAI.EQ.1).OR.(IRAI.EQ.2)) THEN
        WRITE (*,10040)
        ACCEPT *,IPIN
        IF ((IPIN.EQ.1).OR.(IPIN.EQ.2)) THEN
            EMACH = 1.0D-16
            EPSGRD = 1.0D-8
            EPSHRD = 1.0D-7
            EPSCON = 1.0D-4
            EPSPRB = 1.0D-5
            EPS2ES = 1.0D-6
            MAXNEW = 50
            MAXL1 = 50
            MAXL2 = 150
            KMAX = 150
            REPSGRD = DSQRT(EPSGRD)
C
        GOTO (10,20,30,40,50,60,70,80,90,100,110,120,130,140,
$           150,160,170,180,190) IPRB
        GOTO 200
10     CONTINUE
        WRITE (*,10090)
        WRITE (8,10090)
        N = 2
        NF = 2
        GOTO 200
20     CONTINUE
        WRITE (*,10100)
        WRITE (8,10100)
        N = 2
        NF = 2
        GOTO 200
30     CONTINUE
        WRITE (*,10110)
        WRITE (8,10110)
        N = 3

```

```

        NF = 3
        GOTO 200
40    CONTINUE
        WRITE (*,10120)
        WRITE (8,10120)
        N = 6
        NF = 13
        GOTO 200
50    CONTINUE
        WRITE (*,10130)
        WRITE (8,10130)
        N = 3
        NF = 15
        GOTO 200
60    CONTINUE
        WRITE (*,10140)
        WRITE (8,10140)
        N = 2
        NF = 2
        GOTO 200
70    CONTINUE
        WRITE (*,10150)
        WRITE (8,10150)
        N = 3
        NF = 10
        GOTO 200
80    CONTINUE
        WRITE (*,10160)
        WRITE (8,10160)
        N = 10
        NF = N + 2
        GOTO 200
90    CONTINUE
        WRITE (*,10170)
        WRITE (8,10170)
        N = 6
        NF = 31
        GOTO 200
100   CONTINUE
        WRITE (*,10180)
        WRITE (8,10180)
        N = 4
        NF = N + 1
        GOTO 200
110   CONTINUE
        WRITE (*,10190)
        WRITE (8,10190)
        N = 4
        NF = 2 * N
        GOTO 200
120   CONTINUE
        WRITE (*,10200)
        WRITE (8,10200)
        N = 2
        NF = 3

```

```

      GOTO 200
130   CONTINUE
      WRITE (*,10210)
      WRITE (8,10210)
      N = 4
      NF = 20
      GOTO 200
140   CONTINUE
      WRITE (*,10220)
      WRITE (8,10220)
      N = 3
      NF = 10
      GOTO 200
150   CONTINUE
      WRITE (*,10230)
      WRITE (8,10230)
      N = 10
      NF = N
      GOTO 200
160   CONTINUE
      WRITE (*,10240)
      WRITE (8,10240)
      N = 10
      NF = N
      GOTO 200
170   CONTINUE
      WRITE (*,10250)
      WRITE (8,10250)
      N = 12
      NF = N
      GOTO 200
180   CONTINUE
      WRITE (*,10260)
      WRITE (8,10260)
      N = 2
      NF = 3
      GOTO 200
190   CONTINUE
      WRITE (*,10270)
      WRITE (8,10270)
      N = 4
      NF = 6
200   CONTINUE
C
      WRITE(*,*) 'RAIO DO PROBLEMA:'
      ACCEPT *,RPRB
C
      PONTO INICIAL
C
      IF (CIPIN.EQ.1) THEN
C
      PONTO NO INTERIOR DA BOLA
      (ORIGEM OU PEQUENA VARIACAO DEVIDO AO DOMINIO DA F.O.)
      WRITE(*,*) 'PONTO INICIAL:'

```

```

DO I = 1,N
    WRITE(*,*) 'XK(1,I,1) -> '
    ACCEPT *,XK(I)
ENDDO
ELSE

```

PONTO NA FRONTEIRA DA BOLA

```

A1 = RPRB / DSQRT(1.0D+0 * N)
DO I = 1,N
    XK(I) = ((-1.00) ** (I+1)) * A1
END DO
ENDIF
WRITE (8,10280) RPRB
IF (IRAI.EQ.1) THEN
    WRITE (8,10290)
ELSE
    WRITE (8,10300)
ENDIF
IF (IRIN.EQ.1) THEN
    WRITE (8,10310)
ELSE
    WRITE (8,10320)
ENDIF

```

RAIO DE CONFIANCA MAXIMO

```

WRITE(*,*) 'RAIO DE CONFIANCA MAXIMO -> '
ACCEPT *,RMAX

```

RAIO DE CONFIANCA INICIAL

```

RCON = RMAX

```

INICIALIZA MARCADOR DE MESMO PONTO NA RESOLUCAO DO SUBPROBLEMA

```

SAMEX = .FALSE.

```

INICIALIZA MARCADORES USADOS EM SUBPRB

```

FSI = .FALSE.
FGEP = .FALSE.
FLEP = .FALSE.
FMEC = .FALSE.
FHEP = .FALSE.
DEZE = .FALSE.
ORT01 = .FALSE.
HARDPB = .FALSE.

```

CONTADOR DE ITERACOES

```

K = 0

```

NUMERO DE AVALIACOES DA FUNCAO

NAVAL = 0

C C C INICIALIZA MARCADOR DE FALHA EM FUNC E GKBK

FALHA = .FALSE.

C 250

CONTINUE

IF (.NOT.SAMEX) THEN

CALL GKBK (XK, GK, BK, IPRB, N, NF, REPSGRD, FALHA)

K = K + 1

ENDIF

IF (.NOT.FALHA) THEN

CALL SUBPRB (K, N, RPRB, RCON, XK, GK, BK, SK, QSK,  
ISOL, SAMEX, QK, RK, W, C, U, DIM, ENXK,  
ENG, A, B2, Q2, R2, WC, GC, CC, UC, DIM2,  
SI, SGEP, SLEP, FSI, FGEP, FLEP, BE2E,  
FMEC, MGEC, FMEP, MGEP, ORT01, HARDBR,  
EPSHRD, EPSCON, EPSPRB, EPS2ES, EMACH,  
MAXNEW, MAXL1, MAXL2)

IF (ISOL.NE.0) THEN

DO I = 1,N

XK1(I) = SK(I) + XK(I)

ENDDO

ENSK = EUKNOR (SK,N)

IF (.NOT.SAMEX) THEN

IF (K.EQ.1) THEN

C C C PRIMEIRA ITERACAO

FALHA = .FALSE.

NAVAL = NAVAL + 1

FXK = FUNC (XK, IPRB, N, NF, FALHA)

ELSE

FXK = FXK1

ENDIF

WRITE(\*,\*) 'funcao em xk = ', FXK

WRITE(8,\*) 'FUNCAO EM XK = ', FXK

ENDIF

IF (.NOT.FALHA) THEN

NAVAL = NAVAL + 1

FXK1 = FUNC (XK1, IPRB, N, NF, FALHA)

IF (.NOT.FALHA) THEN

A1 = FXK + 1.0D-4 \* QSK

A2 = FXK1 - A1

IF (FXK1.LE.A1) THEN

C CONDICAO DE ARMIJO SATISFEITA

SAMEX = .FALSE.

DO I = 1,N

XK(I) = XK1(I)

ENDDO

RCON = RMAX

FSI = .FALSE.

FGEP = .FALSE.

FLEP = .FALSE.

FMEC = .FALSE.

```

        FMEP = .FALSE.
        DE2E = .FALSE.
        ORTO1 = .FALSE.
        HARDBB = .FALSE.
        ELSE
C      FALHA EM ARMAJO
            SAMEX = .TRUE.
            RCON = ENSK / 2.00
            ENDIF
            ENDIF
            ENDIF
            ENDIF
            ENDIF
            IF ((.NOT.FALHA).AND.(K.LE.KMAX).AND.(ENSK.GT.EPSCON)
$                .AND.((ENG.GT.EPSGRD).OR.(ISOL.NE.6))
$                .AND.((ENG.GT.EPSGRD).OR.(ISOL.NE.1))
$                .AND.((ENG.GT.EPSGRD).OR.(ISOL.NE.2))
$                .AND.((ENG.GT.EPSGRD).OR.(DABS(RK(1)).GT.EPSGRD)))
$                .AND.(ISOL.NE.0)) GOTO 250
            WRITE (8,10330)
            IF (.NOT.FALHA) THEN
                IF (ISOL.NE.0) THEN
                    IF (K.LE.KMAX) THEN
                        IF (ENSK.GT.EPSCON) THEN
C      CONVERGIU (MINIMIZADOR IRRESTRITO)
                            IF (DABS(RK(1)).LE.EPSGRD)
$                                THEN
C      HESSIANA SEMI-DEFINIDA POSITIVA
                                WRITE (*,10335)
                                WRITE (8,10335)
                                ENDIF
C      NORMA DO GRADIENTE
                                WRITE (*,10340) ENG
                                WRITE (8,10340) ENG
                                WRITE (*,10352)
                                WRITE (8,10352)
                                DO I = 1,N
                                    IF (GK(I).NE.0.00) THEN
                                        WRITE (*,10355) XK(I), GK(I)
                                        WRITE (8,10355) XK(I), GK(I)
                                    ELSE
                                        WRITE (*,10357) XK(I)
                                        WRITE (8,10357) XK(I)
                                    ENDIF
                                ENDDO
                                WRITE (*,10390) FXK
                                WRITE (8,10390) FXK
                            ELSE
C      CONVERGIU PELA NORMA DA DIRECAO
                                WRITE (*,10350) ENSK
                                WRITE (8,10350) ENSK
                                WRITE (*,10360)
                                WRITE (8,10360)
C      CALCULO DO GRADIENTE EM XK1
                                CALL SKBK (XK1, GK, RK, IPRB, N, NF, EPSGRD,

```



```

$ /,5X,'1 -> NO INTERIOR ',/,,5X,'2 -> NA FRONTEIRA ',
$ /,,5X,'SUA OPCAO -> ',,$)
10090 FORMAT (1X,'FUNCAO DE ROSENROCK',/)
10100 FORMAT (1X,'FUNCAO DE FREUDENSTEIN E ROTH',/)
10110 FORMAT (1X,'HELICAL VALLEY FUNCTION',/)
10120 FORMAT (1X,'FUNCAO EXP6 DE BIGGS',/)
10130 FORMAT (1X,'FUNCAO GAUSSIANA',/)
10140 FORMAT (1X,'FUNCAO MAL ESCALADA DE POWELL',/)
10150 FORMAT (1X,'FUNCAO DA CAIXA TRIDIMENSIONAL',/)
10160 FORMAT (1X,'FUNCAO VARIABELMENTE DIMENSIONADA',/)
10170 FORMAT (1X,'FUNCAO DE WATSON',/)
10180 FORMAT (1X,'FUNCAO PENALIDADE I',/)
10190 FORMAT (1X,'FUNCAO PENALIDADE II',/)
10200 FORMAT (1X,'FUNCAO MAL ESCALADA DE BROWN',/)
10210 FORMAT (1X,'FUNCAO DE BROWN E DENNIS',/)
10220 FORMAT (1X,'GULF RESEARCH AND DEVELOPMENT FUNCTION',/)
10230 FORMAT (1X,'FUNCAO TRIGONOMETRICA',/)
10240 FORMAT (1X,'FUNCAO DE ROSENROCK ESTENDIDA',/)
10250 FORMAT (1X,'FUNCAO SINGULAR DE POWELL ESTENDIDA TRANSLADADA',
$      ' DE (1,1,...,1)',/)
10260 FORMAT (1X,'FUNCAO DE BEALE',/)
10270 FORMAT (1X,'FUNCAO DE WOOD',/)
10280 FORMAT (1X,'RAIO DO PROBLEMA -> ',1PE14.7)
10290 FORMAT (1X,'(RAIO GRANDE)')
10300 FORMAT (1X,'(RAIO PEQUENO)')
10310 FORMAT (1X,'PONTO INICIAL NO INTERIOR')
10320 FORMAT (1X,'PONTO INICIAL NA FRONTEIRA')
10330 FORMAT (1X,'')
$      '-----')
10335 FORMAT (1X,'HESSIANA SEMI-DEFINIDA POSITIVA',/)
10340 FORMAT (1X,'NORMA DO GRADIENTE : ',1PE14.7,/)
10345 FORMAT (1X,'PONTO ESTRANGULADO PELA SEQUENCIA DE RAIOS DE '
$ 'CONFIANCA',/-' ULTIMO RAIO : ',1PE14.7,/)
10348 FORMAT (1X,'NUMERO DE AVALIACOES DA FUNCAO ATÉ O MOMENTO: ',IS)
10350 FORMAT (1X,'NORMA DA DIRECAO: ',1PE14.7,/)
10352 FORMAT (1X,'----- XK(I) ----- GK(I) -----')
10355 FORMAT (1X,2(1PE14.5,2X))
10357 FORMAT (1X,1PE14.5,2X,'-----')
10360 FORMAT (1X,'----- SK ----- X(K+1) ----- GK+1 -----',
$      '----- XK+1(I)/GK+1(I) -----')
10370 FORMAT (1X,4(1PE14.5,2X))
10380 FORMAT (1X,3(1PE14.5,2X),'-----')
10390 FORMAT (1X,'VALOR DA FUNCAO NO PONTO SOLUCAO : F(X) = ',1PE14.7)
10400 FORMAT (1X,'NUMERO TOTAL DE AVALIACOES DE FUNCAO : ',15)
10405 FORMAT (1X,'NUMERO TOTAL DE ITERACOES : ',15)
10410 FORMAT (1X,'O METODO NAO CONVERGIU EM ',13,' ITERACOES')
10420 FORMAT (1X,'SUBPROBLEMA SEM SOLUCAO -> INTERRUPCAO')
10430 FORMAT (1X,'PONTO FORA DO DOMINIO DA FUNCAO -> INTERRUPCAO')
C
END

```

```
SUBROUTINE SUBPRB(K, N, RP, RCK, XK, GK, BK, S, QS, ISOL, SAMEX,
$   QK, RK, W, C, U, DIM, ENXK, ENG, A, B2, Q2, R2, WC, GC, CC,
$   UC, DIM2, SI, SGEP, SLEP, FSI, FGEP, FLEP, DE2E, FMEC,
$   MGEC, FMEP, MGEP, ORTO1, HARDPB, EPSHRD, EPSCON, EPSPRB,
$   EPS2ES, EMACH, MAXNEW, MAXL1, MAXL2)
```

C  
C  
C  
C  
C  
RESOLUCAO DO K-ESIMO SUBPROBLEMA

C  
C  
C  
C  
PARAMETROS

```
REAL*8 RP, RCK, XK(1), GK(1), BK(50,1), S(1), QS,
$ QK(50,50), RK(50), W(50), C(50), U(50), ENXK, ENG,
$ A(50,50), B2(50,50), Q2(50,50), R2(50), WC(50),
$ GC(50), CC(50), UC(50), SI(50), SGEP(50), SLEP(50),
$ MGEC, MGEP, EPSHRD, EPSCON, EPSPRB, EPS2ES, EMACH
```

C  
C  
C  
C  
C  
INTEGER K, N, ISOL, DIM, DIM2, MAXNEW, MAXL1, MAXL2

```
C  
C  
LOGICAL SAMEX, FSI, FGEP, FLEP, DE2E, FMEC, FMEP,
$ ORTO1, HARDPB
```

C  
C  
C  
C  
C  
RP = raio do problema

C  
C  
C  
C  
C  
RCK = raio de confianca

C  
C  
C  
C  
C  
XK = k-esimo ponto

C  
C  
C  
C  
C  
GK = k-esimo vetor gradiente

C  
C  
C  
C  
C  
BK = matriz hessiana do k-esimo subproblema, que aproxima  
o hessiano do problema no ponto XK

C  
C  
C  
C  
C  
S = direcao solucao

C  
C  
C  
C  
C  
QS = valor da quadratica na solucao

C  
C  
C  
C  
C  
QK = matriz ortogonal (colunas = autovetores de BK)

C  
C  
C  
C  
C  
RK = vetor dos autovalores de BK (ordem crescente)

C  
C  
C  
C  
C  
W = vetor BK XK

C  
C  
C  
C  
C  
C = vetor (QK)t GK

C  
C  
C  
C  
C  
U = vetor (QK)t XK

C  
C  
C  
C  
C  
ENXK = norma euclidiana do vetor XK

C  
C  
C  
C  
C  
ENG = norma euclidiana do vetor GK

C  
C  
C  
C  
C  
A = matriz cujas colunas formam base ortonormal para  
o complemento ortogonal de XK

C  
C  
C  
C  
C  
B2 = produto At\*BK\*A (hessiana da quadratica na mudanca de  
variaveis para a (n-2)-esfera)

C  
C  
C  
C  
C  
Q2 = matriz ortogonal (colunas = autovetores de B2)

C  
C  
C  
C  
C  
R2 = vetor dos autovalores de (A)t BK A (ordem crescente)

C  
C  
C  
C  
C  
WC = vetor (A)t W

C  
C  
C  
C  
C  
GC = vetor (Q2)t GC

C  
C  
C  
C  
C  
UC = vetor (Q2)t WC

C  
C  
C  
C  
C  
SI = solucao irrestrita

C  
C  
C  
C  
C  
SGEP = solucao global na esfera do problema

C  
C  
C  
C  
C  
SLEP = solucao local nao global na esfera do problema

C  
C  
C  
C  
C  
MGEC = multiplicador de Lagrange correspondente a SGEC

C  
C  
C  
C  
C  
MGEP = idem para SGEP

C  
C  
C  
C  
C  
EPSHRD = precisao para detectar "hard case"

C  
C  
C  
C  
C  
EPSCON = precisao para resolver na esfera de confianca

C EPSPRB = precisao para resolver na esfera do problema  
 C EPSG2ES = precisao para resolver na (n-2)-esfera  
 C EMACH = precisao da maquina  
 C  
 C K = contador de iteracoes do algoritmo  
 C N = dimensao do subproblema  
 C ISOL = codigo do tipo de solucao obtida  
 C      0 -> subproblema sem solucao  
 C      1 -> solucao global na esfera de confianca  
 C      2 -> solucao local na esfera de confianca  
 C      3 -> solucao global na esfera do problema  
 C      4 -> solucao local na esfera do problema  
 C      5 -> solucao global na (n-2)-esfera  
 C      6 -> solucao irrestrita  
 C DIM = dimensao do autoespace associado ao menor autovalor de BK  
 C DIM2 = idem para o menor autovalor de B2  
 C MAXNEW = numero maximo de iteracoes para NEWTON  
 C MAXL1 = numero maximo de iteracoes para a fase 1 de MINLOC  
 C MAXL2 = idem para a fase 2  
 C  
 C SAMEX = indica resolucao do subproblema com o mesmo ponto XK  
 C        e diferente raio de confianca  
 C FSI = factibilidade de SI  
 C FGEP = factibilidade de SGEF  
 C FLEP = factibilidade de SLEP  
 C DE2E = marca decomposicao spectral na (n-2) esfera  
 C FMEC = existe multiplicador global na esfera de confianca, mas  
 C        a solucao associada e' infactivel  
 C FMER = idem na esfera do problema  
 C ORTO1 = GK ortogonal a SI  
 C        (SI: autoespace associado ao menor autovalor de BK)  
 C HARDBB = ocorrencia de "hard-case" na esfera do problema

## VARIAVEIS LOCAIS

---

```

REAL*8 XK1(50), E(50), F(50), V(50), Y(50),
$ SSEC(50), SLEC(50), SG2E(50),
$ C01(50), C02(50), C03(50), SNM(50), POS(50),
$ TA, TC, T, MIO, ENCEN, ENV, ENSNM,
$ ENCO1, ENCO2, ENCO3, ENCON, ENPRB, ENAUX,
$ AUX, ALFA, BETA, RHO, INFINITO, FI, FILIN,
$ QSI, QSGEC, QSLEC, QSGEP, QSLEP, QSG2E, QSOL

```

C INTEGER N, IFAIL, KONT, ERRO, I, J, KONT1, KONT2, IDEC

C LOGICAL FGEC, FLEC, FG2E, ORTO2, ORTO3, HARDCK, HARDEE

C XK1 = k+1-esimo ponto

C E,F = vetores auxiliares

C V = vetor da transformacao de Householder

C        que leva (1/enxk)\*xk em ei (io. vetor elementar)

C Y = solucao na (n-2)-esfera

C SSEC = solucao global na esfera de confianca

C SLEC = solucao local nao global na esfera de confianca  
 C SG2E = solucao global nas 2 esferas (esfera N=2 dimensional)  
 C CO1 = vetor dos co-senos dos angulos entre GK e os autovetores  
       associados ao menor autovalor de BK  
 C CO2 = idem para os angulos entre W - GK e os autovetores  
       associados ao menor autovalor de BK  
 C CO3 = idem para os angulos entre (A)t (BK + alfa \* W) e os  
       autovetores associados ao menor autovalor de B2  
 C SNM = solucao de norma minima  
 C POS = projecao da origem do outro sistema de coordenadas  
 C TA, TC = coeficientes de equacao de segundo grau  
 C T = variavel de equacao de segundo grau  
 C M10 = multiplicador de Lagrange  
 C ENCEN = norma euclidiana do vetor centro da (n-2)-esfera  
 C ENV = norma euclidiana do vetor V (transf. Householder)  
 C ENSNM = norma euclidiana do vetor solucao de norma minima  
 C ENC01 = norma euclidiana do vetor CO1  
 C ENC02 = idem para o vetor CO2  
 C ENC03 = idem para o vetor CO3  
 C ENCON = norma do candidato a solucao para testar factibilidade  
       na bola de confianca  
 C ENPRB = idem na bola do problema  
 C ENAUX = norma do vetor auxiliar  
 C AUX = variavel auxiliar  
 C ALFA, BETA = escalares utilizados na (n-2)-esfera  
 C RHO = raio da (n-2)-esfera  
 C INFINITO = auxiliar na obtencao do menor valor da quadratica  
 C FI = norma-2 da direcao S, S + XK, ou Y (ou quadrado dela),  
       conforme se esteja resolvendo na esfera de confianca, na  
       esfera do problema ou na (n-2) esfera  
 C FILIN = derivada de FI (dFI/dMI)  
 C QSI = valor da quadratica em SI  
 C QSGEC = valor da quadratica em SGEC  
 C QSLEC = valor da quadratica em SLEC  
 C QSGEF = valor da quadratica em SGEP  
 C QSLEP = valor da quadratica em SLEP  
 C QSG2E = valor da quadratica em SG2E  
 C QSOL = valor auxiliar na obtencao do minimo  
 C  
 C M = N - 1  
 C IFAIL = indicador de erro para F02ABF (rotina da NAG)  
 C KONT = numero de iteracoes efetuado em NEWTON  
 C ERRO = codigo do tipo de saida para NEWTON e MINLOC  
 C I, J = contadores auxiliares  
 C KONT1 = numero de iteracoes efetuado na fase 1 de MINLOC  
 C KONT2 = idem para fase 2  
 C IDEC = indice declarado para linhas nas matrizes  
 C  
 C FGEC = factibilidade de SGEC  
 C FLEC = factibilidade de SLEC  
 C FG2E = Factibilidade de SG2E  
 C ORTO2 = W - GK ortogonal a SI  
 C ORTO3 = (A)t (BK + beta \* W) ortogonal a S2  
       (S2: autoespace associado ao menor autovalor de B2)  
 C HARDCK = ocorrencia de "hard-case" na esfera de confianca

C HARD2E = idem na (n-2)-esfera

C FUNCOES UTILIZADAS

C  
C double precision DSQRT (LIBRARY/FORTRAN)  
C double precision EUCNOR  
C double precision QUAD

C SUBROTINAS UTILIZADAS

C  
C F02ABF (NAG)  
C FIFILIN  
C MINLOC  
C MULTMAT  
C NEWTON  
C PREMULT

C INICIALIZACAO

C  
C INFINITO = 1.0D+30  
C IDEC = 50  
C N = N - 1  
C WRITE (\*,\*) 'ITERACAO ',K  
C WRITE (8,10010)  
C IF (.NOT.SAMEX) THEN  
C     WRITE (8,10020) K  
C     WRITE (8,10030)  
C     DO I = 1,N  
C         WRITE (8,10040) I, XK(I), BK(I)  
C     ENDDO  
C ENDIF  
C WRITE (8,10050) RK  
C IF (.NOT.SAMEX) THEN

C DECOMPOSICAO ESPECTRAL DA MATRIZ HESSIANA BK

C UTILIZANDO A ROTINA F02ABF DA NAG

C  
C IFAIL = 1  
C CALL F02ABF (BK, IDEC, N, RK, QK, IDEC , E, IFAIL)  
C IF (IFAIL.NE.0) THEN  
C     WRITE (8,10060) IFAIL  
C     STOP  
C ENDIF

C DIMENSAO DE S1 ( AUTOESPAÇO ASSOCIADO A RK(1) )

C  
C I = 1  
C REPITA  
C     I = I + 1  
C     AUX = DABS(RK(1) - RK(I))  
C     IF ((I.LE.N).AND.(AUX.LT.EMACH)) GOTO 1  
C FIN

```

C DIM = I = 1
C
C MINIMIZADOR IRRESTRITO (CARACTERIZACAO DO HARD CASE)
C
C CALCULO DO VETOR C = (QK)t GK
C
C CALL PREMULT (QK, N, N, GK, C, .TRUE.)
C
C CALCULO DO VETOR W = (BK) XK
C
C CALL PREMULT (BK, N, N, XK, W, .TRUE.)
C
C CALCULO DO VETOR U = (QK)t XK
C
C CALL PREMULT (QK, N, N, XK, U, .TRUE.)
C
C ENXK = EUCNOR (XK, N)
C ENG = EUCNOR (GK, N)
C
C IF (RK(1).GT.0.D0) THEN
C
C HESSIANA POSITIVA DEFINIDA
C
C ORT01 = .FALSE.
C ORT02 = .FALSE.
C
C CALCULO DA DIRECAO DE NEWTON (SI)
C
C E: VETOR AUXILIAR = - (BK)-1 (QK)t GK
C
C DO I = 1, N
C     E(I) = - C(I) / RK(I)
C END DO
C
C SI: VETOR QK E = -QK (BK)-1 (QK)t GK
C
C CALL PREMULT (QK, N, N, E, SI, .FALSE.)
C
C CALCULO DAS NORMAS PARA TESTAR A FACTIBILIDADE DE SI
C
C ENCON = EUCNOR (SI, N)
C DO I = 1, N
C     XK1(I) = SI(I) + XK(I)
C END DO
C ENPRB = EUCNOR (XK1, N)
C FSI = (((ENCON-RCK)/ENCON).LE.EPSCON).AND.
C      (((ENPRB-RP)/ENPRB).LE.EPSPRB)
C
C ELSE
C
C HESSIANA NAO POSITIVA DEFINIDA
C
C FSI = .FALSE.
C
C CALCULO DOS VETORES ADIMENSIONAIS CO1 E CO2, QUE CARACTERIZAM A
C ORTOGONALIDADE DE GK E DE (W - GK), RESPECTIVAMENTE, EM RELACAO

```

```

C      A 51
C
C      E: VETOR AUXILIAR = W - GK
C
DO I = 1,N
  E(I) = W(I) - GK(I)
END DO
ENAUX = EUKNOR (E,N)
DO I = 1,DIM
  IF (ENG.NE.0.D0) CO1(I) = C(I)/ENG
  IF (ENAUX.NE.0.D0) THEN
    AUX = 0.D0
    DO J = 1,N
      AUX = AUX + QK(J,I) * E(J)
    END DO
    CO2(I) = AUX/ENAUX
  ENDIF
END DO
IF (ENG.EQ.0.D0) THEN
  ORTO1 = .FALSE.
ELSE
  ENCO1 = EUKNOR (CO1,DIM)
  ORTO1 = (ENCO1.LE.EPSHRD)
ENDIF
IF (ENAUX.EQ.0.D0) THEN
  ORTO2 = .FALSE.
ELSE
  ENCO2 = EUKNOR (CO2,DIM)
  ORTO2 = (ENCO2.LE.EPSHRD)
ENDIF
WRITE (8,10070) RK(1)

  IF (ORTO1) WRITE (8,10080)
  IF (ORTO2) WRITE (8,10090)
ENDIF
ELSE
  IF (FSI) THEN
    ENCON = EUKNOR (SI,N)
    DO I = 1,N
      XK1(I) = SI(I) + XK(I)
    END DO
    ENPRB = EUKNOR (XK1,N)
    FSI = (((ENCON-RCK)/ENCON).LE.EPSCON).AND.
$      (((ENPRB-RP)/ENPRB).LE.EPSPRB))
    ENDIF
  ENDIF
C
C      MINIMIZADOR GLOBAL RESTRITO A ESFERA DE CONFIANCA
C
IF (.NOT.FSI) THEN
  IF (ORTO1) THEN
C
C      DETECTANDO POSSIVEL HARD-CASE
C
    AVALIANDO FI(-RK(1)) = (NORMA (S))**2 E FILIN = BFI/DNI(-RK(1))

```

```

C
      CALL FIFTLIN (C, U, RK, N, DIM, -RK(1), FI, FILIN, 1,
$                   .TRUE., 0.D0, .TRUE.)
      HARDCK = ((FI - (RCK ** 2)) .LT. EPSHRC)
      ELSE
         HARDCK = .FALSE.
      ENDIF
      IF (HARDCK) THEN
C
C          HARD-CASE NA BOLA DE CONFIANCA
C
C          WRITE (8,10100)
C
C          CALCULO DE SNM: SOLUCAO DE NORMA MINIMA PARA O SISTEMA
C          (BK - RK(1) In) S = - OK
C
C          E: VETOR AUXILIAR = - (D - RK(1) In) + C
C
C          DO I = 1,N
C              IF (I.LE.DIM) THEN
C                  E(I) = 0.D0
C              ELSE
C                  E(I) = C(I)/(RK(I) - RK(1))
C              ENDIF
C          END DO
C          CALL PREMULT (QK, N, N, E, SNM, .FALSE.)
C
C          CALCULO DE POS: PROJECAO DE S = - XK NA VARIEDADE
C          ( KER E BK - RK(1) In ) + SNM )
C
C          E: VETOR AUXILIAR = E(D - RK(1) In)+(D - RK(1) In) - In I U
C
C          DO I = 1, N
C              IF (I.LE.DIM) THEN
C                  E(I) = - U(I)
C              ELSE
C                  E(I) = 0.D0
C              ENDIF
C          END DO
C
C          F: VETOR AUXILIAR = (QK) E = PROJECAO DE - XK NO SUBESPAÇO
C          KER E BK - RK(1) In I
C
C          CALL PREMULT (QK, N, N, E, F, .FALSE.)
C          DO I = 1, N
C              POS(I) = F(I) + SNM(I)
C          END DO
C
C          RESOLUCAO DA EQUACAO DE SEGUNDO GRAU
C          TA * T ** 2 + TC = 0, PARA OBTER A INTERSECAO
C          DA RETA QUE PASSA POR SNM E POS COM A ESFERA DE CONFIANCA
C
C          CALCULO DOS COEFICIENTES
C
C          COEFICIENTE DO TERMO INDEPENDENTE

```

C

```
ENSNM = EUCLNOR (SNM, N)
TC = (RCK - ENSNM) * (RCK + ENSNM)
IF (TC.LT.0.D0) THEN
    WRITE (8, 10110)
    FGEC = .FALSE.
    WRITE (8, 10120) FGEC
ELSE IF (TC.EQ.0.D0) THEN
    T = 0.D0
ELSE
```

C

COEFICIENTE DO TERMO T \*\* 2

CASO A PROJECAO DE -XK EM KER BK = RK(I) IN I SEJA NULA,  
TOMAR DIRECAO DO PRIMEIRO AUTOVETOR DE BK ASSOCIADO A RK(I)

C

```
AUX = EUCLNOR (F, N)
IF (AUX.EQ.0.D0) THEN
    T = DSQRT (TC)
    DO I = 1, N
        F(I) = QK(I, 1)
    ENDDO
ELSE
    T = (DSQRT (TC))/AUX
ENDIF
```

C

CALCULO DO CANDIDATO A SOLUCAO

C

```
IF (TC.GE.0.D0) THEN
    DO I = 1, N
        SGEC(I) = SNM(I) + T * F(I)
        XK1(I) = SGEC(I) + XK(I)
    END DO
```

C

TESTE DA FACTIBILIDADE NA BOLA DO PROBLEMA

C

```
ENPRB = EUCLNOR (XK1, N)
FGEC = (((ENPRB - RP)/ENPRB).LE.EPSPRB)
WRITE (8,10120) FGEC
ENDIF
FMEC = .FALSE.
ELSE
```

C

NAO OCORRE HARD-CASE NA BOLA DE CONFIANCA

C

ERRO = 1

C

INICIALIZA MULTIPLICADOR DE LAGRANGE

C

MI0 = -RK(1) + 0.5D0

C

CALCULA RAIZ DA EQUACAO 1/FI(MI) = 1/RCK

C

```
$      CALL NEWTON (QK, C, XK, U, RK, SGEC, N, DIM, RCK, MI0,
                  EPSCON, MAXNEW, 1, ERRO, KONT, 0.D0 )
```

```

C
C           IF (ERRO.EQ.1) THEN
C
C               ERRO = 1 -> SUCESSO EM NEWTON
C
C               MGECC = MIO
C               WRITE (8,10130) KONT
C
C               TESTE DA FACTIBILIDADE DE SGEC
C
C               DO I = 1, N
C                   XK1(I) = SGEC(I) + XK(I)
C               END DO
C               ENPRB = EUCNOR (XK1, N)
C               FGEC = (((ENPRB - RP)/ENPRB).LE.EPSPRB)
C               FMEC = (.NOT.FGEC)
C               WRITE (8,10120) FGEC
C
C               ELSE
C
C                   ERRO = 2 -> KONT > MAXNEW
C
C                   WRITE (8,10140) MAXNEW
C                   FGEC = .FALSE.
C                   FMEC = .FALSE.
C
C                   ENDIF
C               ENDIF
C
C               MINIMIZADOR LOCAL NAO GLOBAL (ESFERA DE CONFIANCA)
C
C               IF ((-RK(1).GT.0.0D0).AND.(-RK(2).LT.0.0D0)) THEN
C                   CALL FIFILIN (C, U, RK, N, DIM, 0.0D0, FI, FILIN, 1,
C $                               .FALSE., 0.0D0, .TRUE.)
C               ELSE
C                   FI = 0.0D0
C               ENDIF
C               IF ((ORT01).OR.(DIM.GT.1).OR.(FI.GT.(RCK**2))) THEN
C
C                   NAO EXISTE MINIMIZADOR LOCAL NAO GLOBAL
C
C                   FLEC = .FALSE.
C               ELSE
C                   IF (FMEC) THEN
C
C                       EXISTE SOLUCAO GLOBAL, MAS INFATIVEL
C
C                       ERRO = 1
C
C               CALCULO DE SLEC PELO ALGORITMO DE MARTINEZ
C
C                   CALL MINLOC (QK, C, XK, U, RK, SLEC, N, RCK, MGECC, EPSCON,
C $                               1,ERRO, DIM, MAXL1,MAXL2,KONT1,KONT2, ENACH)
C
C               INICIO DO CASE
C
C                   GOTO (10, 20, 30, 40) ERRO

```

```

      GOTO 50
10   CONTINUE
C
C     ERRO = 1 -> SUCESSO EM MINLOC
C
C       WRITE(8,10150) KONT1, KONT2
C
C     TESTE DA FACTIBILIDADE DE SLEC
C
C       DO I = 1, N
C         XK1(I) = SLEC(I) + XK(I)
C       END DO
C       ENPRB = EUCNOR (XK1, N)
C       FLEC = (((ENPRB - RP)/ENPRB),LE,EPSPRB)
C       WRITE (8,10160) FLEC
C       GOTO 50
20   CONTINUE
C
C     ERRO = 2 -> NAO EXISTE MINIMIZADOR LOCAL NAO GLOBAL
C               NA ESFERA DE CONFIANCA
C
C       FLEC = .FALSE.
C       WRITE (8,10170)
C       GOTO 50
30   CONTINUE
C
C     ERRO = 3 -> KONT1 > MAXL1
C
C       WRITE (8,10180) MAXL1
C       FLEC = .FALSE.
C       GOTO 50
40   CONTINUE
C
C     ERRO = 4 -> KONT2 > MAXL2
C
C       WRITE (8, 10190) MAXL2
C       FLEC = .FALSE.
50   CONTINUE
C
C     FIM DO CASE
C
C     ELSE
C       FLEC = .FALSE.
C       WRITE (8, 10160) FLEC
C     ENDIF
C   ENDIF
C
C     MINIMIZADOR GLOBAL RESTRITO A ESFERA DO PROBLEMA
C
C     IF (SAMEX) THEN
C       IF (FGEP) THEN
C         ENCON = EUCNOR (SGEP,N)
C         FGEP = (((ENCON - RCK)/ENCON),LE,EPSCON)
C         FMEP = ((.NOT.FGEP),AND, (.NOT.HARDPB))
C       ENDIF

```

```

      WRITE (B, 10200) FGEP
ELSE
  IF (ORTO2) THEN
C
  DETECTANDO POSSIVEL HARD-CASE
C
  AVALIANDO  $FIC = RK(1) = (NORMA(S+XK))^{**2}$  E  $FILIN = DFI/DIM(-RK(1))$ 
C
    CALL FIFILIN (C, U, RK, N, DIM, -RK(1), FT, FILIN, 2,
$                 .TRUE., 0.D0, .TRUE.)
    HARDBB = ((FT - (RP ** 2)).LT.EPSHBD)
  ELSE
    HARDBB = .FALSE.
  ENDIF
  IF (HARDBB) THEN
C
  HARD-CASE NA BOLA DO PROBLEMA
C
    WRITE (B, 10210)
C
    CALCULO DE SNM: SOLUCAO DE NORMA MINIMA PARA O SISTEMA
    ( $BK = RK(1)$  In)  $Z = (BK) XK = GK$ 
C
    E: VETOR AUXILIAR =  $(QK)t (BK) XK = (QK)t W$ 
    E: VETOR AUXILIAR =  $(D - RK(1)$  In)+  $(F - C)$ 
C
    CALL PREMULT (QK, N, N, W, F, .TRUE.)
    DO I = 1, N
      IF (I.LE.DIM) THEN
        E(I) = 0.D0
      ELSE
        E(I) = (F(I) - C(I))/(RK(I) - RK(1))
      ENDIF
    END DO
    CALL PREMULT (QK, N, N, E, SNM, .FALSE.)
C
    CALCULO DE POS: PROJECAO DE  $Z = XK$  NA VARIEDADE
    ( KER E  $BK = RK(1)$  In ) + SNM )
C
    E: VETOR AUXILIAR =  $E$  In =  $(D - RK(1)$  In)+ $(D - RK(1)$  In) ) U
C
    DO I = 1, N
      IF (I.LE.DIM) THEN
        E(I) = U(I)
      ELSE
        E(I) = 0.D0
      ENDIF
    END DO
C
    F: VETOR AUXILIAR =  $(QK) E$  = PROJECAO DE  $XK$  NO SUBESPAÇO
    KER E  $BK = RK(1)$  In )
C
    CALL PREMULT (QK, N, N, E, F, .FALSE.)
    DO I = 1,N
      POS(I) = E(I) + SNM(I)
    END DO
  END IF
END IF

```

```

END DO

RESOLUCAO DA EQUACAO DE SEGUNDO GRAU
TA * T ** 2 + TC = 0, PARA OBTER A INTERSECAO
DA RETA QUE PASSA POR SNM E POS COM A ESFERA DO PROBLEMA

CALCULO DOS COEFICIENTES

COEFICIENTE DO TERMO INDEPENDENTE

ENSNM = EUCNOR (SNM, N)
TC = (RP + ENSNM) * (RP - ENSNM)
IF (TC.LT.0.D0) THEN
    WRITE (8,10220)
    FGEP = .FALSE.
    WRITE (8,10200) FGEP
ELSE IF (TC.EQ.0.D0) THEN
    T = 0.D0
ELSE

COEF. DO TERMO T ** 2
CASO A PROJECAO DE XK EM KER [BK - RK(1)] In I SEJA NULA
TOMAR DIRECAO DO PRIMEIRO AUTOVETOR DE BK ASSOCIADO A RK(1)

AUX = EUCNOR (F, N)
IF (AUX.EQ.0.D0) THEN
    T = DSQRT(TC)
    DO I = 1,N
        F(I) = QK(I,1)
    ENDDO
ELSE
    TA = AUX ** 2
    T = (DSQRT (TC))/AUX
ENDIF
ENDIF

CALCULO DO CANDIDATO A SOLUCAO

IF (TC.GE.0.D0) THEN
    DO I = 1, N
        SGEP(I) = SNM(I) + T * F(I) - XK(I)
    ENDDO

TESTE DA FACTIBILIDADE NA BOLA DE CONFIANCA

ENCON = EUCNOR (SGEP, N)
FGEP = (((ENCON - RCK)/ENCON).LE.EPSCON)
WRITE (8,10200) FGEP
ENDIF
FMEP = .FALSE.
ELSE

NAO OCORRE HARD-CASE NA BOLA DO PROBLEMA

ERRO = 1

```

```

MIO = -RK(1) + 0.5D0
C
C      CALCULA RAIZ DA EQUACAO 1/FI(RK) = 1/RP
C
C      CALL NEWTON (QK, C, XK, U, RK, SGEF, N, DIM, RP, MIO,
$                  EPSPRB, MAXNEW, 2, ERRO, KONT, BETA)
C
C      IF (ERRO.EQ.1) THEN
C
C          ERRO = 1 -> SUCESSO EM NEWTON
C
C          MGEF = MIO
C          WRITE (8,10230) KONT
C
C          TESTE DA FACTIBILIDADE DE SGEF
C
C          ENCON = EUCNOR (SGEF, N)
C          FGEF = (((ENCON - RCK)/ENCON).LE.EPSCON)
C          FMEP = .NOT.FGEF
C          WRITE (8,10200) FGEF
C          ELSE
C
C              ERRO = 2 -> KONT > MAXNEW
C
C              WRITE (8, 10240) MAXNEW
C              FGEF = .FALSE.
C              FMEP = .FALSE.
C              ENDIF
C          ENDIF
C      ENDIF
C
C      MINIMIZADOR LOCAL NAO GLOBAL (ESFERA DO PROBLEMA)
C
C
C      IF ((-RK(1).GT.0.0D0).AND.(-RK(2).LT.0.0D0)) THEN
C          CALL FIFILIN (C, U, RK, N, DIM, 0.0D0, FI, FILIN, 2,
$                          .FALSE., 0.0D0, .TRUE.)
C      ELSE
C          FI = 0.0D0
C      ENDIF
C      IF ((ORT02).OR.(DIM.GT.1).OR.(FI.GT.(RP**2))) THEN
C
C          NAO EXISTE MINIMIZADOR LOCAL NAO GLOBAL
C
C          FLEP = .FALSE.
C      ELSE
C          IF (SAMEX.AND.FLEP) THEN
C              ENCON = EUCNOR (SLEP,N)
C              FLEP = (((ENCON - RCK)/ENCON).LE.EPSCON)
C              WRITE (8,10250) FLEP
C          ELSE
C              IF (FMEP) THEN
C
C                  EXISTE SOLUCAO GLOBAL, MAS INFATIVEL
C

```

```

C      ERRO = 1
C
C      CALCULO DE SLEP FELO ALGORITMO DE MARTINEZ
C
C          CALL MINLOC (QK, C, XK, U, RK, SLEP, N, RF, MGEF,
C          $                      EPSPRB, 2, ERRO, DIM, MAXL1, MAXL2,
C          $                      KONT1, KONT2, EMACH)
C
C      INICIO DO CASE
C
C          GOTO (110, 120, 130, 140) ERRO
C          GOTO 150
C
110      CONTINUE
C
C      ERRO = 1 -> SUCESSO EM MINLOC
C
C          WRITE (8,10260) KONT1, KONT2
C
C      TESTE DA FACTIBILIDADE DE SLEP
C
C          ENCON = EUCNOR (SLEP, N)
C          FLEP = (((ENCON - RCK)/ENCON).LE.EPSCON)
C          WRITE (8,10250) FLEP
C          GOTO 150
C
120      CONTINUE
C
C      ERRO = 2 -> NAO EXISTE MINIMIZADOR LOCAL NAO GLOBAL
C                  NA ESFERA DO PROBLEMA
C          FLEP = .FALSE.
C          WRITE (8,10270)
C          GOTO 150
C
130      CONTINUE
C
C      ERRO = 3 -> KONT1 > MAXL1
C
C          WRITE (8,10280) MAXL1
C          FLEP = .FALSE.
C          GOTO 150
C
140      CONTINUE
C
C      ERRO = 4 -> KONT2 > MAXL2
C
C          WRITE (8,10290) MAXL2
C          FLEP = .FALSE.
C
150      CONTINUE
C
C      FIM DO CASE
C
C          ELSE
C              FLEP = .FALSE.
C              WRITE (8, 10250) FLEP
C          ENDIF
C          ENDIF
C          ENDIF

```

```

C MINIMIZADOR GLOBAL RESTRITO AS DUAS ESFERAS - (N-2)-ESFERA
C
C SO PODE HAVER SG2E SE NENHUM DOS MIN. GLOBAIS TIVER SIDO OBTIDO
C
IF ((.NOT.FGEC).AND.(.NOT.FGEF)) THEN
  IF (ENXK.EQ.0.D0) THEN
    FG2E = .FALSE.
    WRITE (8,10300) FG2E
  ELSE
    NORMA DO VETOR CENTRO DA (N-2)-ESFERA
    ALFA = ((RP+RCK)*(RP-RCK))/(2.D0 * ENXK) + 0.5D0 * ENXK
    ENCEN = DBABS(ALFA)
    IF (ENCEN.EQ.RP) THEN
      (N-2)-ESFERA E' UM UNICO PONTO
      WRITE (8,10310)
      AUX = RCK / ENXK
      DO I = 1,N
        IF (RP.GT.RCK) THEN
          SG2E(I) = AUX * XK(I)
        ELSE
          SG2E(I) = - AUX * XK(I)
        ENDIF
      END DO
      FG2E = .TRUE.
      WRITE (8,10300) FG2E
    ELSE IF (ENCEN.GT.RP) THEN
      NAO EXISTE (N-2) ESFERA
      FG2E = .FALSE.
      WRITE (8,10320)
      IF ((RP.LT.RCK).AND.(RP.LT.(RCK-ENXK))) WRITE (8,10330)
      IF ((RP.GT.RCK).AND.(RP.GT.(RCK+ENXK))) WRITE (8,10340)
    ELSE
      RAIO DA (N-2)-ESFERA
      RHO = DSQRT ((RP + ENCEN) * (RP - ENCEN))
      IF ((.NOT.SAMEX).OR.(.NOT.DE2E)) THEN
        MONTAGEM DA MATRIZ A, CUJAS COLUNAS FORMAM BASE PARA
        O COMPLEMENTO ORTOGONAL DE XK
        V: VETOR DA TRANSFORMACAO DE HOUSEHOLDER H TAL QUE
        H(XK) = ESCALAR * E1
        AUX CONTEM O SINAL DE XK(1)
        AUX = 1.D0
        IF (XK(1).LT.0.D0) AUX = - AUX
        V(1) = (XK(1)/ENXK) + AUX
        DO I = 2,N
          V(I) = XK(I)/ENXK

```

```

        END DO
        ENV = EUCNOR(V,N)
        ENV = ENV ** 2
C
C      COLUNAS DE A: (N-1) ULTIMAS COLUNAS DE H   (A: N x (N-1) )
C
        DO J = 2,N
            DO I = 1,N
                IF (I.EQ.J) THEN
                    A(I,(J-1)) = 1.D0 - 2.D0 * ( V(I) ** 2 ) / ENV
                ELSE
                    A(I,(J-1)) = - 2.D0 * V(I) * V(J) / ENV
                ENDIF
            END DO
        END DO
C
C      MONTAR MATRIZ (A)t BK A = B2
C      (USO DE Q2 COMO MATRIZ AUXILIAR)
C
        CALL MULTMAT (BK, A, Q2, N, N, M, .FALSE.)
        CALL MULTMAT (A, Q2, B2, N, N, M, .TRUE.)
C
C      DECOMPOSICAO ESPECTRAL DE B2 = (A)t BK A (USANDO F02ABF)
C
        IFAIL = 1
        CALL F02ABF (B2, IDEC, M, R2, Q2, IDEC, E, IFAIL)
        IF (IFAIL.NE.0) THEN
            WRITE (8,10060) IFAIL
            STOP
        ENDIF
C
C      DIMENSAO DE S2 ( AUTOESFACO ASSOCIADO A R2(1) )
C
        IF (M.EQ.1) THEN
            DIM2 = 1
        ELSE
            I = 1
            REPITA
                I = I + 1
                AUX = DABS(R2(I) - R2(1))
                IF ((I.LE.M).AND.(AUX.LT.EMACH)) GOTO 160
            FIM
            DIM2 = I - 1
        ENDIF
C
C      CALCULO DOS VETORES AUXILIARES
C
        CALL PREMULT (A, N, M, W, WC, .TRUE.)
        CALL PREMULT (A, N, M, GK, GC, .TRUE.)
        CALL PREMULT (Q2, M, M, WC, UC, .TRUE.)
        CALL PREMULT (Q2, M, M, GC, CC, .TRUE.)
C
C      ATUALIZA MARCADOR DA MONTAGEM E DECOMPOSICAO ESPECTRAL DE B2
C
        DEZEE = .TRUE.

```

```

        ENDIF
C
C      CALCULO DO ESCALAR BETA
C
C          BETA = (ALFA/ENXK) - 1.00
C
C      CARACTERIZACAO DO HARD-CASE NA (N-2)-ESFERA
C
C          IF (R2(1).GT.0.00) THEN
C
C      HESSIANA C(A)t BK AJ DEFINIDA POSITIVA
C
C          ORTO3 = .FALSE.
C          HARD2E = .FALSE.
C          ELSE
C
C      HESSIANA C(A)t BK AJ NAO DEFINIDA POSITIVA
C
C      CALCULO DO VETOR ADIMENSIONAL CO3, QUE CARACTERIZA A
C      ORTOGONALIDADE DE (A)t (GK + BETA * BK * XK) EM REL. A S2
C
C      E: VETOR AUXILIAR = (A)t (GK + BETA * W)
C
C          DO I = 1,M
C              E(I) = GC(I) + BETA * WC(I)
C          END DO
C          ENAUX = EUKNOR (E,M)
C          IF (ENAUX.NE.0.00) THEN
C              DO I = 1, DIME
C                  AUX = 0.00
C                  DO J = 1,M
C                      AUX = AUX + Q2(J,I) * E(J)
C                  END DO
C                  CO3(I) = AUX/ENAUX
C              END DO
C              ENC03 = EUKNOR (CO3, DIME)
C              ORTO3 = (ENC03.LE.EPSHRD)
C          ELSE
C              ORTO3 = .FALSE.
C          ENDIF
C          IF (ORTO3) THEN
C              WRITE (8,10350)
C              CALL FIFILIN (CC, UC, R2, M, DIME, -R2(1), FI,
$                FILIN, 3, .TRUE., BETA, .TRUE.)
C              HARD2E = ((FI - (RHO ** 2)).LT.EPSHRD)
C          ELSE
C              HARD2E = .FALSE.
C          ENDIF
C      ENDIF
C      IF (.NOT.HARD2E) THEN
C
C          NAO OCORRE HARD-CASE NA (N-2)-ESFERA
C
C          ERRO = 1
C          MI0 = -R2(1) + 0.500

```

```

C
C      CALCULA RAIZ DA EQUACAO 1/FIC(M) = 1/RHO
C
C      CALL NEWTON (Q2, CC, XK, UC, R2, Y, M, DIM2, RHO, K10,
$                  EPS2ES, MAXNEW, 3, ERRO, KONT, BETA)
C
C      IF (ERRO.EQ.1) THEN
C
C      ERRO = 1 -> SUCESSO EM NEWTON
C
C      WRITE (8, 10360) KONT
C      CALL PREMUL (A, N, M, Y, E, .FALSE.)
C      DO I = 1,N
C          SG2E(I) = BETA * XK(I) + E(I)
C      END DO
C      FG2E = .TRUE.
C      ELSE
C
C      ERRO = 2 -> KONT > MAXNEW
C
C      WRITE (8,10370) MAXNEW
C      FG2E = .FALSE.
C      ENDIF
C      ELSE
C
C      HARD-CASE NA (N-2)-ESFERA
C
C      WRITE (8, 10380)
C
C      CALCULO DE SNM: SOLUCAO DE NORMA MINIMA PARA O SISTEMA
C      ( (A)t B A - R2(1) Im ) Y = - (A)t ( GK + BETA (BK) XK )
C
C      E: VETOR AUXILIAR = - (B2 - R2(1) Im) + (CC + BETA UC)
C
C      DO I = 1,M
C          IF (I.LE.DIM2) THEN
C              E(I) = 0.0D0
C          ELSE
C              E(I) = -(CC(I) + BETA * UC(I))/(R2(I) - R2(1))
C          ENDIF
C      END DO
C      CALL PREMUL (Q2, N, M, E, SNM, .FALSE.)
C
C      RESOLUCAO DA EQUACAO DE SEGUNDO GRAU
C      T ** 2 + TC = 0, PARA OBTER A INTERSECAO DA RETA
C      QUE PASSA POR SNM E TEM A DIRECAO DO PRIMEIRO AUTOVETOR
C      DE B2, ASSOCIADO A R2(1), COM A (N-2)-ESFERA
C
C      CALCULO DO COEF. DO TERMO INDEPENDENTE
C
C      ENSNM = EUCNOR (SNM, M)
C      TC = (RHO + ENSNM) * (RHO - ENSNM)
C      IF (TC.LT.0.0D0) THEN
C          WRITE (8, 10390)
C          FG2E = .FALSE.

```

```

        WRITE (8,10300) FG2E
        ELSE IF (TC.EQ.0.D0) THEN
          T = 0.D0
        ELSE
          T = DSQRT (TC)
        ENDIF

C CALCULO DA SOLUCAO
C
        IF (TC.GE.0.D0) THEN
          DO I = 1,N
            Y(I) = SNM(I) + T * QZ(I,1)
          END DO
          CALL PREMULT (A, N, M, Y, E, .FALSE.)
          DO I = 1,N
            SG2E(I) = E(I) + BETA * XK(I)
          END DO
          FG2E = .TRUE.
        ENDIF
      ENDIF
    ENDIF
  ELSE
    FG2E = .FALSE.
  ENDIF

```

DECISAO DO MINIMIZADOR GLOBAL DO SUBPROBLEMA

CALCULO DO MENOR DOS VALORES DA QUADRATICA  
PARA AS DIRECOES FACTIVEIS OBTIDAS

```

ISOL = 0
QSOL = INFINITO
IF (FGEC) THEN
  QSGEC = QUAD (BK, GK, SGEC, N)
  IF (QSGEC.LT.QSOL) THEN
    QSOL = QSGEC
    ISOL = 1
  ENDIF
ENDIF
IF (FLEC) THEN
  QSLEC = QUAD(BK, GK, SLEC, N)
  IF (QSLEC.LT.QSOL) THEN
    QSOL = QSLEC
    ISOL = 2
  ENDIF
ENDIF
IF (FGEP) THEN
  QSGEP = QUAD(BK, GK, SGEP, N)
  IF (QSGEP.LT.QSOL) THEN
    QSOL = QSGEP
    ISOL = 3
  ENDIF
ENDIF
IF (FLEP) THEN

```

```

QSLEP = QUAD(BK, GK, SLEP, N)
IF (QSLEP.LT.QSOL) THEN
  QSOL = QSLEP
  ISOL = 4
ENDIF
ENDIF
IF (FG2E) THEN
  QSG2E = QUAD(BK, GK, SG2E, N)
  IF (QSG2E.LT.QSOL) THEN
    QSOL = QSG2E
    ISOL = 5
  ENDIF
ENDIF
ENDIF
ELSE
  ISOL = 6
  QSI = QUAD( BK, GK, SI, N)
ENDIF
C
C      SAIDA DA SOLUCAO
C
GOTO (210, 220, 230, 240, 250, 260) ISOL
GOTO 270
210 CONTINUE
  WRITE (8,10400)
  WRITE (*,10400)
  DO I = 1, N
    S(I) = SGEC(I)
    WRITE (8, 10410) I, SGEC(I)
  END DO
  WRITE (8,10420) QSGEC
  QS = QSGEC
  GOTO 270
220 CONTINUE
  WRITE (8,10430)
  WRITE (*,10430)
  DO I = 1, N
    S(I) = SLEC(I)
    WRITE (8,10410) I, SLEC(I)
  END DO
  WRITE (8,10420) QSLEC
  QS = QSLEC
  GOTO 270
230 CONTINUE
  WRITE (8,10440)
  WRITE (*,10440)
  DO I = 1, N
    S(I) = SGEP(I)
    WRITE (8,10410) I, SGEP(I)
  END DO
  WRITE (8,10420) QSGEP
  QS = QSGEP
  GOTO 270
240 CONTINUE
  WRITE (8,10450)
  WRITE (*,10450)

```

```

      DO I = 1, N
        S(I) = SLEP(I)
        WRITE (8,10410) I, SLEP(I)
      END DO
      WRITE (8,10420) QSLEP
      QS = QSLEP
      GOTO 270
250  CONTINUE
      WRITE (8,10460)
      WRITE (*,10460)
      DO I = 1, N
        S(I) = SG2E(I)
        WRITE (8,10410) I, SG2E(I)
      END DO
      WRITE (8,10420) QSG2E
      QS = QSG2E
      GOTO 270
260  CONTINUE
      WRITE (8,10470)
      WRITE (*,10470)
      DO I = 1,N
        S(I) = SI(I)
        WRITE (8,10410) I, SI(I)
      END DO
      WRITE (8,10420) QSI
      QS = QSI
270  CONTINUE
      RETURN

```

C

```

10010 FORMAT (1X,'*****')
10010 FORMAT (1X,'*****')
10020 FORMAT (1X,'RESOLUCAO DO SUBPROBLEMA - ITERACAO K -> ',13)
10030 FORMAT (/, '-- I ----- XK(I) ----- GK(I)-----')
10040 FORMAT (2X,I3,5X,1PE14.7,5X,1PE14.7)
10050 FORMAT (1X,'RAIO DE CONFIANCA -> ',1PE14.7)
10060 FORMAT (/,1X,'ERRO NA ROTINA F02ABF: IFAIL = ',I3)
10070 FORMAT(/,1X,'MENOR AUTOVALOR DA HESSIANA BK: ',1PE14.7,/)
10080 FORMAT (/,1X,'***** GK ORTOGONAL A S1 *****',/)
10090 FORMAT (/,1X,'***** (B * XK - GK) ORTOGONAL A S1 *****',/)
10100 FORMAT(/,1X,'***** HARD CASE - ESFERA DE CONFIANCA *****',/)
10110 FORMAT (/,1X,'NAO EXISTE INTERSECAO ENTRE A VARIEDADE E A '
           * ' ESFERA DE CONFIANCA ')
10120 FORMAT (1X,'FACTIBILIDADE DE SGEC : ',L7)
10130 FORMAT (1X,'NEWTON (ESFERA DE CONFIANCA) CONVERGIU COM ',I3,
           * ' ITERACOES ')
10140 FORMAT (1X,'NEWTON (ESFERA DE CONFIANCA) NAO CONVERGIU COM ',
           * I4, ' ITERACOES')
10150 FORMAT (1X,'ITERACOES PARA OBTER LOCAL NAO GLOBAL (ESFERA ',
           * 'DE CONFIANCA)',/,1X,'FASE 1: ',I3,/,1X,'FASE 2: ',I3,/)
10160 FORMAT(1X,'FACTIBILIDADE DE SLEC: ',L7)
10170 FORMAT (1X,'NAO EXISTE MINIMIZADOR LOCAL NAO GLOBAL',/,5X,
           * '(ESFERA DE CONFIANCA)')
10180 FORMAT (1X,'A FASE 1 DE MINLOC (ESFERA DE CONFIANCA) NAO ',
           * ' CONVERGIU COM ',I4, ' ITERACOES ')
10190 FORMAT (1X,'A FASE 2 DE MINLOC (ESFERA DE CONFIANCA) NAO ',
           * '

```

```

      $ ' CONVERGIU COM ', I4, ' ITERACOES ')
10200 FORMAT(1X,'FACTIBILIDADE DE SGEP : ',L7)
10210 FORMAT(/,1X,'***** HARD CASE - ESFERA DO PROBLEMA ***** ',/)
10220 FORMAT(/,1X,'NAO EXISTE INTERSECAO ENTRE A VARIEDADE E A '
      $ ' ESFERA DO PROBLEMA ')
10230 FORMAT(1X,'NEWTON (ESFERA DO PROBLEMA) CONVERGIU COM ', I3,
      $ ' ITERACOES ')
10240 FORMAT(1X,'NEWTON (ESFERA DO PROBLEMA) NAO CONVERGIU COM ',
      $ I4, ' ITERACOES ')
10250 FORMAT(1X,'FACTIBILIDADE DE SLEP: ',L7)
10260 FORMAT(1X,'ITERACOES PARA OBTER LOCAL NAO GLOBAL (ESFERA ',
      $ ' DO PROBLEMA) ',//,1X,'FASE 1: ',I4,//,1X,'FASE 2: ',I4)
10270 FORMAT(1X,'NAO EXISTE MINIMIZADOR LOCAL NAO GLOBAL ',/,5X,
      $ '(ESFERA DO PROBLEMA)')
10280 FORMAT(1X,'A FASE 1 DE MINLOC (ESFERA DO PROBLEMA) NAO ',
      $ ' CONVERGIU COM ', I4, ' ITERACOES ')
10290 FORMAT(1X,'A FASE 2 DE MINLOC (ESFERA DO PROBLEMA) NAO ',
      $ ' CONVERGIU COM ', I4, ' ITERACOES ')
10300 FORMAT(1X,'FACTIBILIDADE DE SGEE : ', L7)
10310 FORMAT(/,1X,'(N-2)-ESFERA = UM UNICO PONTO')
10320 FORMAT(/,1X,'NAO EXISTE (N-2)-ESFERA')
10330 FORMAT(/,1X,'ESF. DE CONF. EXTERNA A ESF. DO PROB.')
10340 FORMAT(/,1X,'ESF. DO PROB. EXTERNA A ESF. DE CONF.')
10350 FORMAT(/,1X,'***** (A)t (GK + BETA * B * XK) ',
      $ ' ORTOGONAL A G2 *****',/)
10360 FORMAT(1X,'NEWTON ((N-2) ESFERA) CONVERGIU COM ',I3,
      $ ' ITERACOES ')
10370 FORMAT(1X,'NEWTON ((N-2)-ESFERA) NAO CONVERGIU COM ', I3,
      $ ' ITERACOES ')
10380 FORMAT(/,1X,'***** HARD CASE - (N-2)-ESFERA ***** ')
10390 FORMAT(/,1X,'NAO EXISTE INTERSECAO ENTRE A VARIEDADE E A '
      $ '(N-2)-ESFERA ')
10400 FORMAT(1X,'SOLUCAO: MINIMIZADOR GLOBAL DA ESFERA DE '
      $ ' CONFIANCA',/)
10410 FORMAT(1X,'S ( ',I3,' ) = ',1PE14.7)
10420 FORMAT(1X,'VALOR MINIMO DA QUADRATICA: Q(S) = ',1PE14.7)
10430 FORMAT(1X,'SOLUCAO: MINIMIZADOR LOCAL DA ESFERA DE ',
      $ ' CONFIANCA',/)
10440 FORMAT(1X,'SOLUCAO: MINIMIZADOR GLOBAL DA ESFERA DO ',
      $ ' PROBLEMA',/)
10450 FORMAT(1X,'SOLUCAO: MINIMIZADOR LOCAL DA ESFERA DO ',
      $ ' PROBLEMA',/)
10460 FORMAT(1X,'SOLUCAO: MINIMIZADOR GLOBAL NA (N-2) - ESFERA ',/)
10470 FORMAT(1X,'SOLUCAO: MINIMIZADOR IRRESTRITO')
C
      END

```

C SUBROUTINE PREMULT (A, ILIN, ICOL, V, U, TRANSP)

C EFETUA A MULTIPLICACAO A \* V = U OU AT \* V = U

C PARAMETROS

C REAL\*8 A(50,1), V(1), U(1)

C INTEGER ILIN, ICOL

C LOGICAL TRANSP

C A = matriz premultiplicadora

C V = vetor a ser multiplicado por A ou At

C U = resultado da multiplicacao

C ILIN = indice das linhas de A

C ICOL = indice das colunas de A

C TRANSP = indica se a multiplicacao sera feita com A  
(TRANSP = .false.) ou com At (TRANSP = .true.)

C VARIAVEIS LOCAIS

C REAL\*8 AUX

C INTEGER I, J

C AUX = acumulador na multiplicacao

C I = variacao nas linhas de A

C J = variacao nas colunas de A

IF (.NOT.TRANSP)

\* THEN

DO 20 I = 1, ILIN

AUX = 0.D0

DO 10 J = 1, ICOL

AUX = AUX + A(I,J) \* V(J)

10 CONTINUE

U(I) = AUX

20 CONTINUE

ELSE

DO 40 J = 1, ICOL

AUX = 0.D0

DO 30 I = 1, ILIN

AUX = AUX + A(I,J) \* V(I)

30 CONTINUE

U(J) = AUX

40 CONTINUE

ENDIF

RETURN

END

C

C//////////

C

C SUBROUTINE MULTMAT (A, B, C, ILINA, ICOLA, ICOLB, ATR)

```

C EFETUA A MULTIPLICACAO A * B = C OU (A)T * B = C
C
C PARAMETROS
C
C REAL*8 A(50,1), B(50,1), C(50,1)
C INTEGER ILINA, ICOLA, ICOLB
C LOGICAL ATR
C
C A = matriz premultiplicadora
C B = matriz a ser multiplicada por A ou (A)t
C C = resultado da multiplicacao
C ILINA = indice das linhas de A
C ICOLA = indice das colunas de A
C ICOLB = indice das colunas de B
C ATR = indica se a multiplicacao sera feita com A (ATR = .false.)
C ou com (A)t (ATR = .true.)
C
C VARIAVEIS LOCAIS
C
C REAL*8 SOM
C INTEGER I, J, K
C
C SOM = acumulador na multiplicacao
C I,J,K = variacao nos elementos das matrizes
C
C IF (.NOT.ATR)
$ THEN
    DO 10 I = 1, ILINA
        DO 10 J = 1, ICOLB
            SOM = 0.D0
            DO 5 K = 1, ICOLOA
                SOM = SOM + A(I,K) * B(K,J)
5             CONTINUE
                C(I,J) = SOM
10            CONTINUE
        ELSE
            DO 20 I = 1, ICOLOA
                DO 20 J = 1, ICOLB
                    SOM = 0.D0
                    DO 15 K = 1, ILINA
                        SOM = SOM + A(K,I) * B(K,J)
15                 CONTINUE
                    C(I,J) = SOM
20            CONTINUE
        ENDIF
        RETURN
    END
C
C ///////////////////////////////////////////////////////////////////
C
C SUBROUTINE GKBK (XK, GK, BK, IPRB, N, NF, EPS, FALHA)
C CALCULO DO VETOR GRADIENTE GK, NO PONTO XK, E MONTAGEM

```

```

C DA APROXIMACAO BK PARA A MATRIZ HESSIANA, NO PONTO XK,
C VIA DIFERENCIAS FINITAS AVANÇADAS (DENNIS E SCHNABEL P.103)
C
C PARAMETROS
C
REAL*8 XK(1), GK(1), BK(50,1), EPS
INTEGER IPRB, N, NF
LOGICAL FALHA
C
C XK = K-ESIMO PONTO
C GK = VETOR GRADIENTE DA FUNCAO OBJETIVO NO PONTO XK
C BK = APROXIMACAO PARA A MATRIZ HESSIANA DA F.O. EM XK
C EPS = PRECISAO PARA DIFERENCIAS FINITAS
C IPRB = INDICE DO PROBLEMA TESTE
C N = DIMENSAO DO PROBLEMA TESTE
C NF = DIMENSAO DO VETOR DE FUNCIONES CUJO QUADRADO DA NORMA
C EUCLIDIANA CONSTITUI A F.O. DO PROBLEMA
C FALHA = CODIGO DE ERRO NA AVALIACAO DO GRADIENTE
C .TRUE. -> OK .FALSE. -> PONTO FORA DO DOMINIO
C
C VARIAVEIS LOCAIS
C
REAL*8 E(50), F(50), A(50,50), H, AUX
C
C E,F = VETORES AUXILIARES
C A = MATRIZ AUXILIAR
C H = INCREMENTO USADO PARA A APROXIMACAO
C AUX = VARIAVEL AUXILIAR
C
C SUBROTINA UTILIZADA: GRAD
C
C CALCULO DO GRADIENTE NO PONTO XK
C
FALHA = .FALSE.
CALL GRAD (XK, GK, IPRB, N, NF, FALHA)
J = 1
C
C MONTAGEM DA APROXIMACAO PARA A MATRIZ HESSIANA
C
DO WHILE ((J.LE.N).AND.(.NOT.FALHA))
  IF (XK(J).EQ.0.D0) THEN
    H = EPS
  ELSE
    H = EPS * XK(J)
  ENDIF
  DO I = 1,N
    IF (I.EQ.J) THEN
      E(I) = XK(I) + H
    ELSE
      E(I) = XK(I)
    ENDIF
  ENDDO
  CALL GRAD (E, F, IPRB, N, NF, FALHA)
  IF (.NOT.FALHA) THEN
    DO I = 1,N

```

```

      A(I,J) = (F(I) - GK(I)) / N
      ENDDO
      ENDIF
      J = J + 1
    ENDDO
    IF (.NOT.FALHA) THEN
      DO 200 I = 1,N
        DO 200 J = 1,N
          BK(I,J) = 0.5D0 * ( A(I,J) + A(J,I) )
200    CONTINUE
    ENDIF
    RETURN
  END

C
C//////////C
C
C DOUBLE PRECISION FUNCTION EUCNOR (V, IV)
C
C CALCULA A NORMA EUCLIDIANA DO VETOR V
C
C PARAMETROS
C
C REAL*8 V(50)
C INTEGER IV
C
C V = vetor cuja norma euclidiana sera calculada
C IV = dimensao de V
C
C VARIAVEIS LOCAIS
C
C REAL*8 AUX
C INTEGER I
C
C AUX = acumulador
C I = variacao dos termos de V
C
C AUX = 0.D0
C DO . I = 1, IV
C   AUX = AUX + V(I) ** 2
C ENDDO
C EUCNOR = DSQRT (AUX)
C RETURN
C END

C
C//////////C
C
C DOUBLE PRECISION FUNCTION QUAD( B, G, S, N)
C
C CALCULA O VALOR DA QUADRATICA NO PONTO S
C
C PARAMETROS

```

```

C
REAL*8 B(50,1), G(1), S(1)
INTEGER N
C
C   B = matriz hessiana da quadratica
C   G = gradiente da funcao
C   S = direcao para a qual a quadratica sera avaliada
C   N = dimensao do subproblema
C
C   VARIAVEIS LOCAIS
C
REAL*8 A, V(50)
INTEGER I
C
A = acumulador
V = vetor auxiliar : V = BS
I = indice da soma
C
CALL PREMULT (B, N, N, S, V, .FALSE.)
A = 0.D0
DO 10 I = 1, N
    A = A + S(I) * ( V(I)/2.D0 ) + G(I)
10 CONTINUE
QUAD = A
RETURN
END
C
C
C//////////////SUBROUTINE FIFILIN(C, U, R, N, DIM, MI, FI, FILIN, ESFERA,
C
SUBROUTINE FIFILIN (C, U, R, N, DIM, MI, FI, FILIN, ESFERA,
$ AUTO, BETA, QUADRADO)
C
C   CALCULA AS FUNCOES FI(MI) E FILIN(MI)
C
C   PARAMETROS
C
REAL*8 C(1), U(1), R(1), MI, FI, FILIN, BETA
INTEGER N, DIM, ESFERA
LOGICAL AUTO, QUADRADO
C
C   C = vetor (QK)t GK (esferas de confianca ou do problema) ou
C       vetor (Q2 A)t GK ( (n-2)-esfera )
C   U = vetor (QK)t XK (esferas de confianca ou do problema) ou
C       vetor (Q2 A)t (BK) XK
C   R = vetor dos autovalores da matriz hessiana
C   MI = multiplicador de Lagrange
C   FI = norma-2 ou norma-2 ao quadrado da direcao S, S+XK ou Y,
C       conforme a esfera
C   FILIN = derivada de FI = d(FI)/d(MI)
C   N = dimensao do subproblema
C   DIM = dimensao do autoespaço associado ao menor autovalor da
C       hessiana
C   ESFERA = código do tipo de esfera:

```

```

C           1: esfera de confianca
C           2: esfera do problema
C           3: (n-2) - esfera
C AUTO = indicador se MI = - R(1)
C BETA = escalar utilizado na (n-2)-esfera
C QUADRADO = indicador se FI = norma-2 ao quadrado ou nao
C
C VARIAVEIS LOCAIS
C
C REAL*8 S1, S2, A1, A2, A3
C INTEGER I, J
C
C S1, S2 = acumuladores das somas
C A1, A2, A3 = variaveis auxiliares
C I, J = indices das somas
C
C S1 = 0.D0
C S2 = 0.D0
C IF (AUTO)
C * THEN
C     J = DIM + 1
C ELSE
C     J = 1
C ENDIF
C DO I = J, N
C     A1 = R(I) + MI
C     GOTO (2, 4, 6) ESFERA
C     GOTO 8
C 2  CONTINUE
C     A2 = 0.D0
C     GOTO 8
C 4  CONTINUE
C     A2 = - R(I) * U(I)
C     GOTO 8
C 6  CONTINUE
C     A2 = BETA * U(I)
C 8  CONTINUE
C     A3 = ( ( C(I) + A2 ) / A1 ) ** 2
C     S1 = S1 + A3
C     S2 = S2 + A3 * ( 1.D0 / A1 )
C END DO
C IF (QUADRADO) THEN
C     FI = S1
C     FILIN = - 2.D0 * S2
C ELSE
C     FI = DSORT(S1)
C     IF (FI.NE.0.D0) THEN
C         FILIN = - S2 / FI
C     ELSE
C         FILIN = 0.D0
C     ENDIF
C ENDIF
C RETURN
C END

```

```

C
C//////////////SUBROUTINE NEWTON (Q, C, X, U, R, S, N, DIM, RATIO, MIO, EPS,
C $ ITMAX, ESFERA, ERRO, KONT, BETA)
C
C      CALCULA A RAIZ DA EQUACAO 1/FI (MIO) = 1/RATIO , MIO > -R(1),
C      ONDE FI (MIO) = NORMA-2 ( DIRECAO ) ,
C      USANDO O METODO DE NEWTON COM A MODIFICACAO DE REINSCH-HEBBEN
C
C      PARAMETROS
C
C      REAL*8 Q(50,1), C(1), X(1), U(1), R(1), S(1),
C      $ RATIO, MIO, EPS, BETA
C      INTEGER N, DIM, ITMAX, ESFERA, ERRO, KONT
C
C      Q = base ortonormal dos autovetores de BK ou B2
C      C = vetor Qt GK ou (Q2 A)t GK
C      X = vetor da mudanca de variaveis (Z = S + X) na esfera do
C          problema (X = 0 na esfera de confianca)
C      U = vetor Qt X ou (Q2 A)t (BK) X
C      R = vetor dos autovalores de BK ou B2 ( resp. RK ou R2 )
C      S = direcao associada ao multiplicador MIO, obtido como solucao
C      RATIO = raio da esfera (de confianca, do problema, da (n-2)-esfera)
C      MIO = multiplicador inicial/ retorna com mult. da solucao global
C      EPS = precisao com que se obtem a raiz
C      BETA = escalar utilizado na (n-2)-esfera
C      N = dimensao da direcao ( N ou N-1 )
C      DIM = dimensao do autoespaço associado ao menor autovalor do
C          hessiano BK ou B2
C      ITMAX = numero maximo de iteracoes
C      ESFERA = codigo do tipo de esfera:
C          1: esfera de confianca
C          2: esfera do problema
C          3: (n-2) - esfera
C      ERRO = codigo de saida da rotina NEWTON
C          1: sucesso
C          2: KONT > MAXNEW
C      KONT = contador de iteracoes / retorna com o numero de iteracoes
C          efetuado
C
C      VARIAVEIS LOCAIS
C
C      REAL*8 FIT, FI, FILIN, VC(50), AUX
C      INTEGER I
C
C      FIT = funcao de iteracao no metodo de Newton/modificacao
C          de Reinsch-Hebden
C      FI = norma-2 da direcao S, S + X ou Y, conforme a esfera
C      FILIN = derivada de FI
C      VC = vetor auxiliar no calculo da direcao S
C      AUX = variavel auxiliar
C      I = indices dos vetores

```

```

C
C      INICIALIZA CONTADOR
C
C      KONT = 0
C
C      OBTENCAO DO PONTO INICIAL MI0 TAL QUE F(FI(MI0)) <= 1/RAIO,
C      VIA BISSECAO
C
C      INTERVALO INICIAL
C
C      AUX = MI0 + R(1)
C
C      CALCULO INICIAL DA FUNCAO FI
C
C      CALL FIFILIN (C, U, R, N, DIM, MI0, FI, FILIN, ESFERA, .FALSE., ,
C      $                      BETA, .FALSE.)
C
C      LOOP DA BISSECAO
C
C      DO WHILE (FI.LT.RAIO)
C          AUX = AUX / 2.00
C          MI0 = -R(1) + AUX
C          CALL FIFILIN (C, U, R, N, DIM, MI0, FI, FILIN, ESFERA,
C      $                      .FALSE., BETA, .FALSE.)
C      END DO
C
C      FUNCAO DE ITERACAO INICIAL (REINSCH-HERBEN)
C
C      FIT = ((FI - RAIO) * FI) / (RAIO * FILIN)
C
C      LOOP DE NEWTON
C
100   IF((DABS(FI-RAIO).LT.EPS).OR.(KONT.GE.ITMAX)) GOTO 120
        AUX = DABS(FI - RAIO)
        MI0 = MI0 - FIT
        CALL FIFILIN (C, U, R, N, DIM, MI0, FI, FILIN, ESFERA,
        $                      .FALSE., BETA, .FALSE.)
        FIT = ((FI - RAIO) * FI) / (RAIO * FILIN)
        KONT = KONT + 1
        GOTO 100
120   CONTINUE
C
C      IF (KONT.LT.ITMAX) THEN
C
C          NEWTON CONVERGIU / CALCULO DA DIRECAO
C
C          DO I = 1, N
C              GOTO (10, 20, 30) ESFERA
C              GOTO 40
10      CONTINUE
C                  AUX = 0.00
C                  GOTO 40
20      CONTINUE
C                  AUX = R(I) * U(I)
C                  GOTO 40

```

```

30      CONTINUE
        AUX = - BETA * U(I)
40      CONTINUE
        VC(I) = (AUX - C(I)) / (R(I) + MI0 )
      END DO
C
C      CALL PREMULT (Q, N, N, VC, S, .FALSE.)
C
C      NESTE MOMENTO, QUANDO NEWTON E' CHAMADO NA ESFERA DO PROBLEMA,
C      S = S + X ;
C      RECUPERANDO A DIRECAO PURA S, QUE RETORNA PARA O FROG. PRINCIPAL.
C
C      IF (ESFERA.EQ.2) THEN
        DO I = 1, N
          S(I) = S(I) - X(I)
        END DO
      ENDIF
C
C      ELSE
C
C      NEWTON NAO CONVERGIU
C
C      ERRO = 2
      ENDIF
      RETURN
    END
C
C
C///////////////////////////////////////////////////////////////////
C
C      SUBROUTINE MINLOC (Q, C, X, U, R, S, N, RAIO, MI, EPS, ESFERA,
$      ERRO, DIM, ITM1, ITM2, KF1, KF2, EMACH)
C
C      CALCULA A RAIZ DA EQUACAO FI (MI) = RAIO ** 2 ,
C      PARA MI EM [-R(2), -R(1)] E TAL QUE FILIN (MI) >= EPS,
C      ONDE FI (MI) = (NORMA-2 ( DIRECAO )) ** 2,
C      USANDO O METODO DE MARTINEZ [1989]
C
C      PARAMETROS
C
      REAL*8 Q(50,1), C(1), X(1), U(1), R(1), S(1), RAIO, MI,
$      EPS, EMACH
      INTEGER N, ESFERA, ERRO, DIM, ITM1, ITM2, KF1, KF2
C
C      Q = base ortonormal dos autovetores de BK
C      C = vetor Qt GK
C      X = vetor da mudanca de variaveis (Z = S + X) na esfera do
C          problema (X = 0 na esfera de confianca)
C      U = vetor Qt X
C      R = vetor dos autovalores de BK (ordem crescente)
C      S = direcao associada ao multiplicador MI obtido como solucao
C      RAIO = raio da esfera (de confianca, do problema, da (n-2)-esf.)
C      MI = multiplicador inicial(correspondente a sol. global)
C          ( retorna com multiplicador da solucao S )

```

C EPS = precisao com que se obtém a raiz  
 C EMACH = precisão da máquina  
 C N = dimensão do subproblema  
 C ESFERA = código do tipo de esfera:  
 C      1: esfera de confiança  
 C      2: esfera do problema  
 C ERRO = código de saída da rotina MINLOC  
 C      1: sucesso em MINLOC  
 C      2: não existe minimizador local não global na esfera  
 C      3: KF1 > ITM1  
 C      4: KF2 > ITM2  
 C DIM = dimensão do autoespaço associado ao menor autovalor de BK  
 C ITM1 = número máximo de iterações para a fase 1  
 C ITM2 = idem para a fase 2  
 C KF1 = retorna com o número de iterações efetuado na fase 1  
 C KF2 = idem para a fase 2  
  
 C VARIAVEIS LOCAIS  
  
 REAL\*8 VC(50), MIANT, MIUPP, MILOW, MIAUX, MINEW, CCUPP, CCLOW,  
 \$ T, FI, FILIN, QR, INF, SUP, AUX, INTERV, FAUX, FLAUX  
 INTEGER I  
  
 C VC = vetor auxiliar no cálculo da direção S  
 C MIANT = multiplicador da etapa anterior (= MI (KF1 - 1))  
 C MIUPP = multiplicador que limita superiormente o intervalo  
 C MILOW = multiplicador que limita inferiormente o intervalo  
 C MIAUX = multiplicador auxiliar  
 C MINEW = multiplicador obtido pela função de Newton para  
 C      determinar a raiz de FI (MI) = QR  
 C CCUPP = combinação convexa para limite superior  
 C CCLOW = combinação convexa para limite inferior  
 C T = parâmetro da combinação convexa  
 C FI = quadrado da norma-2 da direção S ou S + X, conforme a esfera  
 C FILIN = derivada de FI em relação a MI  
 C QR = quadrado do raio  
 C INF = extremo inferior de intervalo  
 C SUP = extremo superior de intervalo  
 C AUX = variável auxiliar  
 C INTERV = comprimento do intervalo  
 C FAUX = valor da função FI(MIAUX)  
 C FLAUX = valor da função FILIN(MIAUX)  
 C I = índices dos vetores  
  
 C COMBINACOES CONVEXAS (FUNCOES DE COMANDO)  
  
 C CCLOW(T,MI,MILOW) = MILOW + T \* (MI - MILOW)  
 C CCUPP(T,MI,MIUPP) = MI + T \* (MIUPP - MI)  
  
 C INICIALIZA CONTADORES  
  
 C KF1 = 0  
 C KF2 = 0  
  
 C EXTREMO SUPERIOR DO INTERVALO INICIAL: MULTIPLICADOR

```

C CORRESPONDENTE A SOLUCAO GLOBAL.
C
C MIUPP = MI
C
C INICIALIZA MULTIPLICADOR ANTERIOR
C (CANDIDATO A EXTREMO INFERIOR DO INTERVALO NA FASE 2)
C
C MIAINT = - 0.75D0 * R(2) - 0.25 * R(1)
C
C MULTIPLICADOR INICIAL: PONTO MEDIO DO INTERVALO E~R(2),-R(1))
C
C MI = - ( R(1) + R(2) ) / 2.00
C
C QUADRADO DO RAI0
C
C QR = RAI0 ** 2
C
C COMPRIMENTO INICIAL DO INTERVALO
C
C INTERV = MIUPP - MI
C
C CALCULO INICIAL DAS FUNCOES FI E FILIN
C
C CALL FIFILIN (C, U, R, N, DIM, MI, FI, FILIN, ESFERA, .FALSE., ,
$ 0.00, .TRUE.)
C
C FASE 1
C OBTENCAO DE MI TAL QUE FI(MI) >= QR E FILIN(MI) >= 0
C
C DO WHILE (((FI.LT.QR).OR.(FILIN.LT.0.00)),AND,(INTERV.GT.EACH)
$ .AND.(KF1.LT.ITM1))
    MIAUX = CCUPP (5.0D-1, MI, MIUPP)
    IF ((R(1)+MIAUX).GE.0.00) THEN
        MIUPP = MIAUX
    ELSE
        MIAINT = MI
        MI = MIAUX
        CALL FIFILIN (C, U, R, N, DIM, MI, FI, FILIN, ESFERA,
$ .FALSE., 0.00, .TRUE.)
    ENDIF
    INTERV = MIUPP - MI
    KF1 = KF1 + 1
END DO
C
C IF (KF1.EQ.ITM1) THEN
    ERRO = 3
C ELSE
C
C     FASE 2
C     EXTREMO INFERIOR DO INTERVALO INICIAL
C
C     MILOW = MIAINT
C
C     COMPRIMENTO INICIAL DO INTERVALO

```

INTERVIEW WITH MR. JAMES WILSON

OBTENCAO DE MI TAL QUE  $F(MI) = QR$  E  $F(LIN(MI)) \geq 0$ ,  
VIA BISSECAO

```

      DO WHILE ((ERRO.EQ.1).AND.((DABS(FI-QR).GT.EPS).OR.
     ($ (FILIN.LT.0.D0)).AND.(INTERV.GT.EMACH).AND.(KF2.LT.ITH2))
        IF (FILIN.EQ.0.D0) THEN
          ERRO = 2
        ELSE
          MINEW = MI - (FI - QR)/FILIN
          IF (MINEW.LT.MILOW) THEN
            ERRO = 2
          ELSE
            INF = CCLOW (1.0D-1, MI, MILOW)
            SUP = CCLOW (9.0D-1, MI, MILOW)
            IF ((MINEW.GE.INF).AND.(MINEW.LE.SUP)) THEN
              MIAUX = MINEW
            ELSE
              MIAUX = CCLOW (5.0D-1, MI, MILOW)
            ENDIF
            CALL FIFILIN (C, U, R, N, DIN, MIAUX, FAUX, FLAUX,
     ($ ESFERA,.FALSE.,0.D0,.TRUE. )
            IF ((FAUX.GE.QR).AND.(FLAUX.GE.0.D0)) THEN
              MI = MIAUX
              FI = FAUX
              FILIN = FLAUX
            ELSE
              MILOW = MIAUX
            ENDIF
            INTERV = MI - MILOW
            KF2 = KF2 + 1
          ENDIF
        ENDIF
      END DO

```

```
IF (ERRO,NE.,2) THEN  
  IF (KF2,EQ.,ITM2) THEN  
    ERRO = 4  
  ELSE
```

CALCULO DA DIRECAO S

```

DO I = 1, N
    IF (ESFERA.EQ.1) AUX = 0.00
    IF (ESFERA.EQ.2) AUX = R(I) * U(I)
    VC(I) = (AUX - C(I)) / (R(I) + MI)
END DO
CALL PREMULT ( Q, N, N, VC, S, .FALSE., )

```

NESTE MOMENTO, QUANDO MINLOC E' CHAMADA NA ESFERA DO PROBLEMA, S = S + X; RECUPERANDO A DIRECAO PURA S, QUE RETORNA PARA O PROG. PRINCIPAL.

IF (ESEEEER0 EQ 2) THEN

```
DO I = 1, N
    S(I) = S(I) - X(I)
END DO
ENDIF
ENDIF
ENDIF
RETURN
END
```

C  
C  
C//////////

```

C SUBROUTINE GRAD (X , G, IPRB, N, NF, ERRO)
C
C CALCULO DO VETOR GRADIENTE (G) NO PONTO X
C PARA O PROBLEMA TESTE IPRB
C
C PARAMETROS
C
C REAL*8 X(1), G(1)
C INTEGER IPRB, N, NF
C LOGICAL ERRO
C
C X = PONTO NO QUAL O GRADIENTE SERA AVALIADO
C G = VETOR GRADIENTE
C IPRB = INDICE DO PROBLEMA TESTE
C N = DIMENSAO DO PROBLEMA TESTE
C NF = DIMENSAO DO VETOR DE FUNCOES CUJO QUADRADO DA NORMA
C EUCLIDIANA CONSTITUI A FUNCAO OBJETIVO DO PROBLEMA TESTE
C ERRO = INDICA FALHA NA EXECUCAO (PONTO FORA DO DOMINIO)
C
C VARIAVEIS LOCAIS
C
C REAL*8 F(100), Y(50), DF(100,50),
$ Y1, TI, A1, A2, A3, A4, A5, A6
C INTEGER I, J, K
C
C F = VETOR DAS FUNCOES
C Y = VETOR DE CONSTANTES
C DF = MATRIZ JACOBIANA
C Y1, TI = CONSTANTES DAS FUNCOES
C A1,...,A6 = CONSTANTES AUXILIARES
C I,J,K = INDICES DOS VETORES
C
C
C      GOTO (100, 200, 300, 400, 500, 600, 700, 800, 900, 1000, 1100,
$ 1200, 1300, 1400, 1500, 1600, 1700, 1800, 1900) IPRB
C      GOTO 9999
100  CONTINUE
C      FUNCAO DE ROSENBRACK
C      F(1) = 10.00 * (X(2) - X(1)**2)
C      DF(1,1) = -20.00 * X(1)
C      DF(1,2) = 10.00
C      F(2) = 1.00 - X(1)
C      DF(2,1) = -1.00
C      DF(2,2) = 0.00
C      GOTO 8000
C
C      200  CONTINUE
C      FUNCAO DE FREUDENSTEIN E ROTH
C      F(1) = -13.00 + X(1) + ((5.00 - X(2))*X(2) - 2.00)*X(2)
C      DF(1,1) = 1.00
C      DF(1,2) = X(2)*(10.00 - 3.00*X(2)) - 2.00
C      F(2) = -29.00 + X(1) + ((X(2) + 1.00)*X(2) - 14.00)*X(2)
C      DF(2,1) = 1.00
C      DF(2,2) = X(2)*(3.00*X(2) + 2.00) - 14.00
C      GOTO 8000

```

```

C-----300 CONTINUE
C      HELICAL VALLEY FUNCTION
      A1 = 50.D0/3.1415926D0
      IF (X(1).LT.0.D0) THEN
          F(1) = 10.D0 * X(3) - A1 * DATAN (X(2)/X(1)) - 50.D0
      ELSE IF (X(1).GT.0.D0) THEN
          F(1) = 10.D0 * X(3) - A1 * DATAN (X(2)/X(1))
      ELSE
          ERRO = .TRUE.
      ENDIF
      IF (.NOT.ERRO) THEN
          A2 = X(1) ** 2 + X(2) ** 2
          A3 = DSQRT(A2)
          F(2) = 10.D0 * A3 - 10.D0
          F(3) = X(3)
          IF (A2.NE.0.D0) THEN
              DF(1,1) = A1 * X(2) / A2
              DF(1,2) = - A1 * X(1) / A2
              DF(1,3) = 10.D0
              DF(2,1) = 10.D0 * X(1) / A3
              DF(2,2) = 10.D0 * X(2) / A3
              DF(2,3) = 0.D0
              DF(3,1) = 0.D0
              DF(3,2) = 0.D0
              DF(3,3) = 1.D0
          ELSE
              ERRO = .TRUE.
          ENDIF
      ENDIF
      GOTO 8000
C-----400 CONTINUE
C      FUNCAO EXP6 DE BIGGS
      DO 450 I = 1, NF
          TI = 1.D-1 * I
          YI = DEXP(-TI) - 5.D0*DEXP(-10.D0*TI) + 3.D0*DEXP(-4.D0*TI)
          A1 = DEXP (-TI*X(1))
          A2 = DEXP (-TI*X(2))
          A3 = DEXP (-TI*X(5))
          A4 = X(3) * A1
          A5 = X(4) * A2
          A6 = X(6) * A3
          F(I) = A4 - A5 + A6 - YI
          DF(I,1) = -TI * A4
          DF(I,2) = TI * A5
          DF(I,3) = A1
          DF(I,4) = - A2
          DF(I,5) = - TI * A6
          DF(I,6) = A3
450      CONTINUE
      GOTO 8000
C-----500 CONTINUE
C      FUNCAO GAUSSIANA

```

```

Y(1) = 0.0009D0
Y(2) = 0.0044D0
Y(3) = 0.0175D0
Y(4) = 0.0540D0
Y(5) = 0.1295D0
Y(6) = 0.2420D0
Y(7) = 0.3521D0
Y(8) = 0.3989D0
Y(9) = Y(7)
Y(10) = Y(6)
Y(11) = Y(5)
Y(12) = Y(4)
Y(13) = Y(3)
Y(14) = Y(2)
Y(15) = Y(1)
DO 550 I = 1,NF
    TI = (8.D0 - I)/2.D0
    A1 = - ((TI - X(3)) ** 2)/2.D0
    A2 = DEXP (X(2) * A1)
    A3 = X(1) * A2
    F(I) = A3 - Y(I)
    DF(I,1) = A2
    DF(I,2) = A3 * A1
    DF(I,3) = A3 * X(2) * (TI - X(3))
550    CONTINUE
      GOTO 8000

```

```

C-----600  CONTINUE
C-----FUNCAO MAL ESCALADA DE POWELL
A1 = DEXP(-X(1))
A2 = DEXP(-X(2))
A3 = 1.0D+4
F(1) = A3 * X(1) * X(2) - 1.D0
F(2) = A1 + A2 - 1.0001D0
DF(1,1) = A3 * X(2)
DF(1,2) = A3 * X(1)
DF(2,1) = - A1
DF(2,2) = - A2
GOTO 8000

```

```

C-----700  CONTINUE
C-----FUNCAO DA CAIXA TRIDIMENSIONAL
DO 750 I = 1,NF
    TI = I.D-1 * I
    A1 = DEXP (-TI * X(1))
    A2 = DEXP (-TI * X(2))
    A3 = DEXP (-TI) - DEXP (-10.D0 * TI)
    F(I) = A1 - A2 - X(3) * A3
    DF(I,1) = - TI * A1
    DF(I,2) = TI * A2
    DF(I,3) = - A3
750    CONTINUE
      GOTO 8000

```

```

C-----800  CONTINUE

```

```

C      FUNCAO VARIAVELMENTE DIMENSIONADA
      DO 820 I = 1,N
          F(I) = X(I) - 1.D0
          A1 = 0.D0
          DO 820 J = 1,N
              DF(I,J) = 1.D0
              A1 = A1 + J * (X(J) - 1.D0)
820    CONTINUE
          F(N+1) = A1
          F(N+2) = A1 ** 2
          DO 850 J = 1,N
              DF((N+1),J) = J * 1.D0
              DF((N+2),J) = 2.D0 * J * A1
850    CONTINUE
          GOTO 8000
C-
900    CONTINUE
C      FUNCAO DE WATSON
      DO 930 I = 1,29
          TI = I/29.D0
          A1 = 0.D0
          A2 = 0.D0
          DO 920 J = 1,N
              A3 = TI ** (J-2)
              A1 = A1 + (J-1) * X(J) * A3
              A2 = A2 + X(J) * A3 * TI
920    CONTINUE
          F(I) = A1 - A2 ** 2 - 1.D0
          DO 930 J = 1,N
              A3 = TI ** (J-2)
              DF(I,J) = (J-1) * A3 - 2.D0 * A3 * TI * A2
930    CONTINUE
          F(30) = X(1)
          F(31) = X(2) - X(1) ** 2 - 1.D0
          DF(30,1) = 1.D0
          DF(31,1) = -2.D0 * X(1)
          DF(31,2) = 1.D0
          DO 950 J = 2,N
              DF(30,J) = 0.D0
              IF ((J+1).LE.N) DF(31,(J+1)) = 0.D0
950    CONTINUE
          GOTO 8000
C-
1000   CONTINUE
C      FUNCAO PENALIDADE I
          A1 = DSQRT(1.0D-5)
          DO 1020 I = 1,N
              F(I) = A1 * (X(I) - 1.D0)
              DO 1020 J = 1,N
                  DF(I,J) = A1
1020   CONTINUE
          A2 = 0.D0
          DO 1050 J = 1,N
              A2 = A2 + X(J) ** 2
              DF((N+1),J) = 2.D0 * X(J)

```

```

1050    CONTINUE
      F(N+1) = A2 - 0.25D0
      GOTO 8000
C
1100    CONTINUE
C      FUNCAO PENALIDADE II
      A1 = DSQRT(1.0D-5)
      F(1) = X(1) - 0.2D0
      DF(1,1) = 1.D0
      DO 1120 J = 2,N
         DF(1,J) = 0.D0
1120    CONTINUE
      DO 1130 I = 2,N
         A2 = DEXP (1.0D-1 * X(I))
         A3 = DEXP (1.0D-1 * X(I-1))
         YI = DEXP (1.0D-1 * I) + DEXP (1.0D-1 * (I-1))
         F(I) = A1 * (A2 + A3 - YI)
         DO 1130 J = 1,N
            IF ((J.NE.(I-1)).AND.(J.NE.I))
$              THEN
                 DF(I,J) = 0.D0
              ELSE
                 IF (J.EQ.(I-1)) DF(I,J) = 1.0D-1 * A1 * A3
                 IF (J.EQ.I) DF(I,J) = 1.0D-1 * A1 * A2
              ENDIF
1130    CONTINUE
      A2 = DEXP (-1.0D-1)
      DO 1140 I = (N+1), (2*N-1)
         A3 = DEXP (1.D-1*X(I-N+1))
         F(I) = A1 * (A3 - A2)
         DO 1140 J = 1,N
            IF (J.EQ.(I-N+1))
$              THEN
                 DF(I,J) = 1.D-1 * A1 * A3
              ELSE
                 DF(I,J) = 0.D0
              ENDIF
1140    CONTINUE
      A2 = 0.D0
      DO 1150 J = 1,N
         DF(2*N,J) = 2.D0*(N-J+1)*X(J)
         A2 = A2 + (N-J+1) * (X(J) ** 2)
1150    CONTINUE
      F(2*N) = A2 - 1.D0
      GOTO 8000
C
1200    CONTINUE
C      FUNCAO MAL ESCALADA DE BROWN
      F(1) = X(1) - 1.0D+6
      F(2) = X(2) - 2.0D-6
      F(3) = X(1) * X(2) - 2.D0
      DF(1,1) = 1.D0
      DF(1,2) = 0.D0
      DF(2,1) = 0.D0
      DF(2,2) = 1.D0

```

```
DF(3,1) = X(2)
DF(3,2) = X(1)
GOTO 8000
```

C-----

1300 CONTINUE

C FUNCAO DE BROWN E DENNIS

```
DO 1350 I = 1,NF
    TI = I/5.D0
    A1 = DEXP(TI)
    A2 = DSIN(TI)
    A3 = DCOS(TI)
    A4 = X(1) + TI * X(2) - A1
    A5 = X(3) + X(4) * A2 - A3
    F(I) = A4 ** 2 + A5 ** 2
    DF(I,1) = 2.D0 * A4
    DF(I,2) = 2.D0 * TI * A4
    DF(I,3) = 2.D0 * A5
    DF(I,4) = 2.D0 * A2 * A5
```

1350 CONTINUE

```
GOTO 8000
```

C-----

1400 CONTINUE

C GULF RESEARCH AND DEVELOPMENT FUNCTION

```
IF ((X(1).NE.0.D0).AND.(X(2).NE.0.D0)) THEN
    DO I = 1,NF
        TI = I.D-2 * I
        YI = (-50.D0 * DLLOG(TI)) ** (2.D0/3.D0) + 25.D0
        A1 = DBABS(YI * NF * I * X(2))
        A2 = A1 ** X(3)
        A3 = -A2/X(1)
        A4 = DEXP(A3)
        F(I) = A4 - TI
        DF(I,1) = A4 * (-A3/X(1))
        DF(I,2) = A4 * A3 * X(3) / X(2)
        DF(I,3) = A4 * A3 * DLLOG(A1)
    END DO
    ELSE
        ERRO = .TRUE.
    ENDIF
    GOTO 8000
```

C-----

1500 CONTINUE

C FUNCAO TRIGONOMETRICA TRANSLADADA DE (1,1,...,1)

```
A1 = 0.D0
DO 1520 J = 1,N
    Y(J) = DSIN(X(J) - 1.0D0)
    A1 = A1 + DCOS(X(J) - 1.0D0)
```

1520 CONTINUE

```
DO 1550 I = 1,NF
    A2 = DCOS(X(I)- 1.0D0)
    F(I) = N - A1 + I * (1.D0 - A2) - Y(I)
    DO 1550 J = 1,N
        IF (J.EQ.I)
$            THEN
                DF(I,J) = (1.D0 + I) * Y(I) - A2
```

```

        ELSE
          DF(I,J) = Y(J)
        ENDIF
1550    CONTINUE
        GOTO 8000
C
1600    CONTINUE
C      FUNCAO DE ROSENROCK ESTENDIDA
      DO 1650 I = 1, (NF/2)
        K = 2 * I - 1
        F(K) = 10.D0 * (X(K+1) - X(K) ** 2)
        F(K+1) = 1 - X(K)
        DO 1650 J = 1,N
          IF ((J.NE.K).AND.(J.NE.(K+1)))
$            THEN
              DF(K,J) = 0.D0
              DF((K+1),J) = 0.D0
            ELSE
              IF (J.EQ.K)
$                THEN
                  DF(K,J) = -20.D0 * X(J)
                  DF((K+1),J) = -1.D0
                ENDIF
              IF (J.EQ.(K+1))
$                THEN
                  DF(K,J) = 10.D0
                  DF((K+1),J) = 0.D0
                ENDIF
            ENDIF
1650    CONTINUE
        GOTO 8000
C
1700    CONTINUE
C      FUNCAO SINGULAR DE POWELL ESTENDIDA TRANSLADADA DE (1,1,...,1)
      A1 = DSQRT(5.0D+0)
      A2 = DSQRT(1.0D+1)
      DO 1750 I = 1, (N/4)
        K = 4 * I - 3
        F(K) = X(K) + 10.D0 * X(K+1) + 11.D0
        F(K+1) = A1 * (X(K+2) - X(K+3))
        F(K+2) = (X(K+1) - 2.D0 * X(K+2) - 1.D0) ** 2
        F(K+3) = A2 * (X(K) - X(K+3)) ** 2
        DO 1750 J = 1,N
          IF (J.EQ.K) THEN
            DF(K,J) = 1.D0
            DF((K+1),J) = 0.D0
            DF((K+2),J) = 0.D0
            DF((K+3),J) = 2.D0 * A2 * (X(K) - X(K+3))
          ELSE IF (J.EQ.(K+1)) THEN
            DF(K,J) = 10.D0
            DF((K+1),J) = 0.D0
            DF((K+2),J) = 2.D0 * (X(K+1) - 2.D0 * X(K+2) - 1.D0)
            DF((K+3),J) = 0.D0
          ELSE IF (J.EQ.(K+2)) THEN
            DF(K,J) = 0.D0

```

```

        DF((K+1),J) = A1
        DF((K+2),J) = -A1.D0*(X(K+1)-Z).D0*X(K+2)-1.D0
        DF((K+3),J) = 0.D0
    ELSE IF (J.EQ.(K+3)) THEN
        DF(K,J) = 0.D0
        DF((K+1),J) = -A1
        DF((K+2),J) = 0.D0
        DF((K+3),J) = -2.D0*A2*(X(K) - X(K+3))
    ELSE
        DF(K,J) = 0.D0
        DF((K+1),J) = 0.D0
        DF((K+2),J) = 0.D0
        DF((K+3),J) = 0.D0

```

ENDIF

1750 CONTINUE  
GOTO 8000

C

1800 CONTINUE  
C FUNCAO DE BEALE

```

IF (X(2).NE.0.D0) THEN
    Y(1) = 1.5D0
    Y(2) = 2.25D0
    Y(3) = 2.625D0
    DO I = 1,NF
        A1 = X(2)**(I-1)
        A2 = A1 * X(2)
        F(I) = Y(I) - X(1) * (1.D0 - A2)
        DF(I,1) = A2 - 1.D0
        DF(I,2) = I * X(1) * A1
    END DO
ELSE
    ERRO = .TRUE.
ENDIF
GOTO 8000

```

C

1900 CONTINUE

C FUNCAO DE WOOD

```

A1 = DSQRT(9.0D+1)
A2 = DSQRT(4.0D+1)
A3 = 1.D0/A2
F(1) = 10.D0 * (X(2) + X(1)**2)
F(2) = 1.D0 - X(1)
F(3) = A1 * (X(4) - X(3)**2)
F(4) = 1.D0 - X(3)
F(5) = A2 * (X(2) + X(4) - 2.D0)
F(6) = A3 * (X(2) - X(4))
DF(1,1) = -20.D0 * X(1)
DF(1,2) = 10.D0
DF(1,3) = 0.D0
DF(1,4) = 0.D0
DF(2,1) = -1.D0
DF(2,2) = 0.D0
DF(2,3) = 0.D0
DF(2,4) = 0.D0
DF(3,1) = 0.D0

```

```

DF(3,2) = 0.D0
DF(3,3) = -2.D0 * A1 * X(3)
DF(3,4) = A1
DF(4,1) = 0.D0
DF(4,2) = 0.D0
DF(4,3) = -1.D0
DF(4,4) = 0.D0
DF(5,1) = 0.D0
DF(5,2) = A2
DF(5,3) = 0.D0
DF(5,4) = A2
DF(6,1) = 0.D0
DF(6,2) = A3
DF(6,3) = 0.D0
DF(6,4) = -A3
GOTO 8000

```

```

C
8000 CONTINUE
DO 8200 J = 1,N
    A1 = 0.D0
    DO 8100 I = 1, NF
        A1 = A1 + F(I) * DF(I,J)
8100 CONTINUE
G(J) = 2.D0 * A1
8200 CONTINUE
9999 RETURN
END

```

```

C
C//////////////////////////////////////////////////////////////////
C
C      DOUBLE PRECISION FUNCTION FUNC (X, IPRB, N, NF, ERRO)
C
C      CALCULO DO VALOR DA FUNCAO OBJETIVO DO PROBLEMA TESTE IPRB
C      NO PONTO X
C
C      PARAMETROS
C
C      REAL*8 X(1)
C      INTEGER IPRB, N, NF
C      LOGICAL ERRO
C
C      X = PONTO NO QUAL A FUNCAO SERA AVALIADA
C      IPRB = INDICE DO PROBLEMA TESTE
C      N = DIMENSAO DO PROBLEMA TESTE
C      NF = DIMENSAO DO VETOR DE FUNCOES CUJO QUADRADO DA NORMA
C           EUCLIDIANA CONSTITUI A FUNCAO OBJETIVO DO PROBLEMA TESTE
C      ERRO = INDICA FALHA NA EXECUCAO (PONTO FORA DO DOMINIO)
C
C      VARIAVEIS LOCAIS
C
C      REAL*8 F(100), Y(50), Y1, TI, A1, A2, A3, A4, A5, A6
C      INTEGER I, J, K
C
C      F = VETOR DAS FUNCOES
C      Y = VETOR DE CONSTANTES

```

```

C      YI, TI = CONSTANTES DAS FUNCOES
C      A1, . . . ,A6 = CONSTANTES AUXILIARES
C      I,J,K = INDICES DOS VETORES
C
C
      GOTO (100, 200, 300, 400, 500, 600, 700, 800, 900, 1000, 1100,
$ 1200, 1300, 1400, 1500, 1600, 1700, 1800, 1900) IFRR
      GOTO 9000
100  CONTINUE
C      FUNCAO DE ROSENROCK
      F(1) = 10.D0 * (X(2) - X(1)**2)
      F(2) = 1.D0 - X(1)
      GOTO 8000
C
200  CONTINUE
C      FUNCAO DE FREUDENSTEIN E ROTH
      F(1) = -13.D0 + X(1) + ((5.D0 - X(2))*X(2) - 2.D0)*X(2)
      F(2) = -29.D0 + X(1) + ((X(2) + 1.D0)*X(2) - 14.D0)*X(2)
      GOTO 8000
C
300  CONTINUE
C      HELICAL VALLEY FUNCTION
      A1 = 50.D0/3.1415926D0
      IF (X(1).LT.0.D0) THEN
          F(1) = 10.D0 * X(3) - A1 * DATAN (X(2)/X(1)) - 50.D0
      ELSE IF (X(1).GT.0.D0) THEN
          F(1) = 10.D0 * X(3) - A1 * DATAN (X(2)/X(1))
      ELSE
          ERRO = .TRUE.
      ENDIF
      IF (.NOT.ERRO) THEN
          A2 = X(1)**2 + X(2)**2
          A3 = DSQRT(A2)
          F(2) = 10.D0 * A3 - 10.D0
          F(3) = X(3)
      ENDIF
      GOTO 8000
C
400  CONTINUE
C      FUNCAO EXP6 DE BIGGS
      DO 450 I = 1, NF
          TI = 1.D-1 * I
          YI = DEXP(-TI) - 5.D0*DEXP(-10.D0*TI) + 3.D0*DEXP(-4.D0*TI)
          A1 = DEXP (-TI*X(1))
          A2 = DEXP (-TI*X(2))
          A3 = DEXP (-TI*X(5))
          A4 = X(3) * A1
          A5 = X(4) * A2
          A6 = X(6) * A3
          F(I) = A4 - A5 + A6 - YI
450  CONTINUE
      GOTO 8000
C
500  CONTINUE
C      FUNCAO GAUSSIANA

```

```

Y(1) = 0.0002D0
Y(2) = 0.0044D0
Y(3) = 0.0175D0
Y(4) = 0.0540D0
Y(5) = 0.1295D0
Y(6) = 0.2420D0
Y(7) = 0.3521D0
Y(8) = 0.3989D0
Y(9) = Y(7)
Y(10) = Y(6)
Y(11) = Y(5)
Y(12) = Y(4)
Y(13) = Y(3)
Y(14) = Y(2)
Y(15) = Y(1)
DO 550 I = 1,NF
    TI = (B,D0 - I)/2.D0
    A1 = ((TI - X(3)) ** 2)/2.D0
    A2 = - X(2) * A1
    A3 = DEXP (A2)
    A4 = X(1) * A3
    F(I) = A4 - Y(I)
550    CONTINUE
      GOTO 8000
C-----600  CONTINUE
C-----600  FUNCAO MAL ESCALADA DE POWELL
C-----600  A1 = DEXP(-X(1))
C-----600  A2 = DEXP(-X(2))
C-----600  A3 = 1.0D+4
C-----600  F(1) = A3 * X(1) * X(2) - 1.D0
C-----600  F(2) = A1 + A2 - 1.0001D0
      GOTO 8000
C-----700  CONTINUE
C-----700  FUNCAO DA CATXA TRIDIMENSIONAL
C-----700  DO 750 I = 1,NF
C-----700  TI = 1.D-1 * I
C-----700  A1 = DEXP (-TI * X(1))
C-----700  A2 = DEXP (-TI * X(2))
C-----700  A3 = DEXP (-TI) - DEXP (-10.D0 * TI)
C-----700  F(I) = A1 - A2 - X(3) * A3
750    CONTINUE
      GOTO 8000
C-----800  CONTINUE
C-----800  FUNCAO VARIABELMENTE DIMENSIONADA
C-----800  DO 820 I = 1,N
C-----800  F(I) = X(I) - 1.D0
C-----800  A1 = 0.D0
C-----820  DO 820 J = 1,N
C-----820  A1 = A1 + J * (X(J) - 1.D0)
820    CONTINUE
      F(N+1) = A1
      F(N+2) = A1 ** 2

```

```

      GOTO 8000
C
 900  CONTINUE
C      FUNCAO DE WATSON
      DO 930 I = 1,N
          TI = I/29.D0
          A1 = 0.D0
          A2 = 0.D0
          DO 920 J = 1,N
              A3 = TI ** (J-2)
              A1 = A1 + (J-1) * X(J) * A3
              A2 = A2 + X(J) * A3 * TI
 920  CONTINUE
      F(I) = A1 - A2 ** 2 - 1.D0
 930  CONTINUE
      F(30) = X(1)
      F(31) = X(2) - X(1) ** 2 - 1.D0
      GOTO 8000
C
 1000 CONTINUE
C      FUNCAO PENALIDADE I
      A1 = DSQRT(1.0D-5)
      DO 1020 I = 1,N
          F(I) = A1 * (X(I) - 1.D0)
 1020 CONTINUE
      A2 = 0.D0
      DO 1050 J = 1,N
          A2 = A2 + X(J) ** 2
 1050 CONTINUE
      F(N+1) = A2 - 0.25D0
      GOTO 8000
C
 1100 CONTINUE
C      FUNCAO PENALIDADE II
      A1 = DSQRT(1.0D-5)
      F(1) = X(1) - 0.200
      DO 1130 I = 2,N
          A2 = DEXP (1.D-1 * X(I))
          A3 = DEXP (1.D-1 * X(I-1))
          YI = DEXP (1.D-1 * I) + DEXP (1.D-1 * (I-1))
          F(I) = A1 * (A2 + A3 - YI)
 1130 CONTINUE
      A2 = DEXP (-1.D-1)
      DO 1140 I = (N+1), (2*N-1)
          A3 = DEXP (1.D-1 * X(I-N+1))
          F(I) = A1 * (A3 - A2)
 1140 CONTINUE
      A2 = 0.D0
      DO 1150 J = 1,N
          A2 = A2 + (N-J+1) * (X(J) ** 2)
 1150 CONTINUE
      F(2*N) = A2 - 1.D0
      GOTO 8000
C
 1200 CONTINUE

```

```

C      FUNCAO HAL ESCALADA DE BROWN
      F(1) = X(1) - 1.0D+6
      F(2) = X(2) - 2.0D-6
      F(3) = X(1) * X(2) - 2.00
      GOTO 8000
C
1300  CONTINUE
C      FUNCAO DE BROWN E DENNIS
      DO 1350 I = 1,NF
          TI = I/5.D0
          A1 = DEXP(TI)
          A2 = DSIN(TI)
          A3 = DCOS(TI)
          A4 = X(1) + TI * X(2) - A1
          A5 = X(3) + X(4) * A2 - A3
          F(I) = A4 ** 2 + A5 ** 2
1350  CONTINUE
      GOTO 8000
C
1400  CONTINUE
C      GULF RESEARCH AND DEVELOPMENT FUNCTION
      IF ((X(1).NE.0.D0).AND.(X(2).NE.0.D0)) THEN
          DO I = 1,NF
              TI = 1.D-2 * I
              YI = (-50.D0 * DLG(TI)) ** (2.D0/3.D0) + 25.D0
              A1 = DABS(YI * NF * I * X(2))
              A2 = A1 ** X(3)
              A3 = -A2/X(1)
              A4 = DEXP(A3)
              F(I) = A4 - TI
          END DO
      ELSE
          ERRO = .TRUE.
      ENDIF
      GOTO 8000
C
1500  CONTINUE
C      FUNCAO TRIGONOMETRICA TRANSLADADA DE (1,1,...,1)
      A1 = 0.D0
      DO 1520 J = 1,N
          Y(J) = DSIN(X(J) - 1.0D0)
          A1 = A1 + DCOS(X(J) - 1.0D0)
1520  CONTINUE
      DO 1550 I = 1,NF
          A2 = DCOS(X(I) - 1.0D0)
          F(I) = N - A1 + I * (1.D0 - A2) - Y(I)
1550  CONTINUE
      GOTO 8000
C
1600  CONTINUE
C      FUNCAO DE ROSENROCK ESTENDIDA
      DO 1650 I = 1, (NF/2)
          K = 2 * I - 1
          F(K) = 10.D0 * (X(K+1) - X(K) ** 2)
          F(K+1) = 1.D0 - X(K)

```

```

1650      CONTINUE
          GOTO 8000
C-----
1700      CONTINUE
C      FUNCAO SINGULAR DE POWELL ESTENDIDA TRANSLADADA DE (1,1,...,1)
          A1 = DSQRT(5.0D+0)
          A2 = DSQRT(1.0D+1)
          DO 1750 I = 1, (N/4)
              K = 4 * I - 3
              F(K) = X(K) + 10.00 * X(K+1) + 11.00
              F(K+1) = A1 * (X(K+2) - X(K+3))
              F(K+2) = (X(K+1) - 2.00 * X(K+2) - 1.00) ** 2
              F(K+3) = A2 * (X(K) - X(K+3)) ** 2
1750      CONTINUE
          GOTO 8000
C-----
1800      CONTINUE
C      FUNCAO DE BEALE
          IF (X(2).EQ.0.00) THEN
              ERRO = .TRUE.
          ELSE
              Y(1) = 1.5D0
              Y(2) = 2.25D0
              Y(3) = 2.625D0
              DO I = 1,NF
                  A1 = X(2) ** I
                  F(I) = Y(I) - X(I) * (1.00 - A1)
              END DO
          ENDIF
          GOTO 8000
C-----
1900      CONTINUE
C      FUNCAO DE WOOD
          A1 = DSQRT(9.0D+1)
          A2 = DSQRT(1.0D+1)
          A3 = 1.00/A2
          F(1) = 10.00 * (X(2) - X(1) ** 2)
          F(2) = 1.00 - X(1)
          F(3) = A1 * (X(4) - X(3) ** 2)
          F(4) = 1.00 - X(3)
          F(5) = A2 * (X(2) + X(4) - 2.00)
          F(6) = A3 * (X(2) - X(4))
          GOTO 8000
C-----
8000      CONTINUE
          IF (ERRO) THEN
              FUNC = 0.D0
          ELSE
              A1 = 0.D0
              DO I = 1, NF
                  A1 = A1 + F(I) ** 2
              END DO
              FUNC = A1
          ENDIF
9000      RETURN
          END

```

REFERENCIAS

- [1] DENNIS, J.E. and SCHNABEL, R.B., "Numerical Methods for Unconstrained Optimization and Nonlinear Equations", New Jersey, Prentice-Hall, Englewood Cliffs, 1983.
- [2] FLETCHER, R., "Practical Methods of Optimization", 2 ed., New York, John Wiley & Sons, 1987.
- [3] GAY, D.M., "Computing Optimal Locally Constrained Steps", SIAM J. Sci. Stat. Comput., v.2, no.2, 186-197, 1981.
- [4] GILL, P.E., MURRAY, W. and WRIGHT, M.H., "Practical Optimization", London, Academic Press, 1981.
- [5] GOLDFELD, S.M., QUANDT, R.E. and TROTTER, R.F., "Maximization by Quadratic Hill-Climbing", Econometrica, 34, 541-551, 1966.
- [6] GOLUB, G.H. and VAN LOAN, C., "Matrix Computations", Baltimore, The Johns Hopkins University Press, 1983.
- [7] HEBDEN, M.D. , "An Algorithm for Minimization Using Exact Second Derivatives", Atomic Energy Research Establishment, Report T.P.515, Harwell, England, 1973.
- [8] LEVENBERG, K. "A Method for the Solution of Certain Nonlinear Problems in Least Squares", Quart. Appl. Math., 2, 164-168, 1944.
- [9] LUENBERGER, D.G., "Linear and Nonlinear Programming", 2 ed., California, Addison-Wesley Publishing Co., 1984.

- [10] MARQUARDT, D.W., "An Algorithm for Least Squares Estimation of Nonlinear Parameters", SIAM J. Appl. Math., 11, 431-441, 1963.
- [11] MARTINEZ, J.M., "Local Minimizers of a Quadratic Function with a Spherical Constraint", RT 16/89, IMECC-UNICAMP, Campinas, 1989.
- [12] MORE, J.J., "The Levenberg-Marquardt Algorithm: Implementation and Theory", Lecture Notes in Mathematics 630, G.A.Watson, ed., Springer-Verlag, Berlin - Heidelberg - New York, 105-116, 1978.
- [13] MORE, J.J., "Recent Developments in Algorithms and Software for Trust Region Methods", Argonne National Laboratory, Mathematics and Computer Science Division, Report ANL/MCS-TM-2, Argonne, Illinois, 1982.
- [14] MORE, J.J., "Trust Regions and Projected Gradients", Argonne National Laboratory, Mathematics and Computer Science Division, Report ANL/MCS-TM-107, Argonne, Illinois, 1988.
- [15] MORE, J.J., GARBOW, B.S. and HILLSTROM, K.E., "Testing Unconstrained Optimization Software", ACM Trans. Math. Soft., v.7, no.1, 17-41, 1981.
- [16] MORE, J.J. and SORENSEN, D.C., "Newton's Method", Argonne National Laboratory, Applied Mathematics Division, Report ANL-82-2, Argonne, Illinois, 1982.
- [17] MORE, J.J. and SORENSEN, D.C., "Computing a Trust Region Step", SIAM J. Numer. Anal., v.4, no.3, 553-572, 1983.

- [18] POWELL, M.J.D., "A Hybrid Method for Nonlinear Equations", in Numerical Methods for Nonlinear Algebraic Equations, P.Rabinowitz, ed., Gordon and Breach, London, 87-114, 1970.
- [19] POWELL, M.J.D., "Convergence Properties of a Class of Minimization Algorithms". In: MANGASARIAN, O.L. et alii , "Nonlinear Programming 2", New York, Academic Press, 1-27, 1975.
- [20] REINSCH, C.H., "Smoothing by spline functions II", Numer. Math. 16, 451-454, 1971.
- [21] SHULTZ, G.A., SCHNABEL, R.B. and BYRD, R.H., "A Family of Trust-Region-Based Algorithms for Unconstrained Minimization with Strong Global Convergence Properties", SIAM J. Numer. Anal., v.22, no.1, 47-67, 1985.
- [22] SORENSEN, D.C., "Newton's Method with a Model Trust Region Modification", SIAM J. Numer. Anal., v.19, no.2, 409-426, 1982.
- [23] THOMAS, S.W., "Sequential Estimation Techniques for Quasi Newton Algorithms", Ph. D. dissertation, Cornell University, Ithaca, New York, 1976.
- [24] TOINT, Ph.L., "Global Convergence of a Class of Trust Region Methods for Nonconvex Minimization in Hilbert Space", IMA J. Numer. Anal., 8, 231-252, 1988.